

# 材料力学 (乙)

## Mechanics of Materials

主讲教师：高扬/**赵沛** (工程力学系)

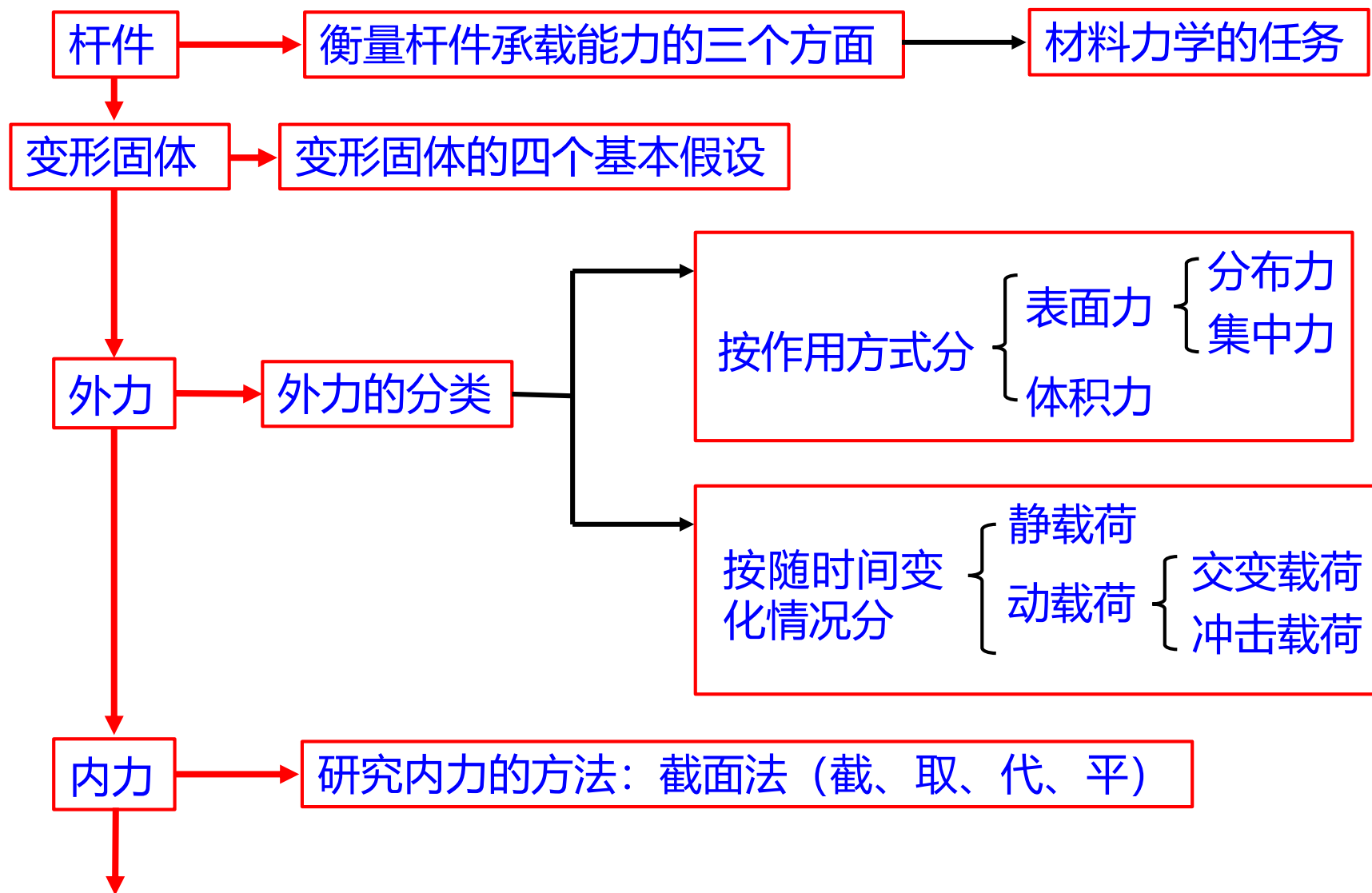
手机：13588299682, Email: peizhao@zju.edu.cn

助教：郑浩然, Email: hrzheng\_zju@zju.edu.cn

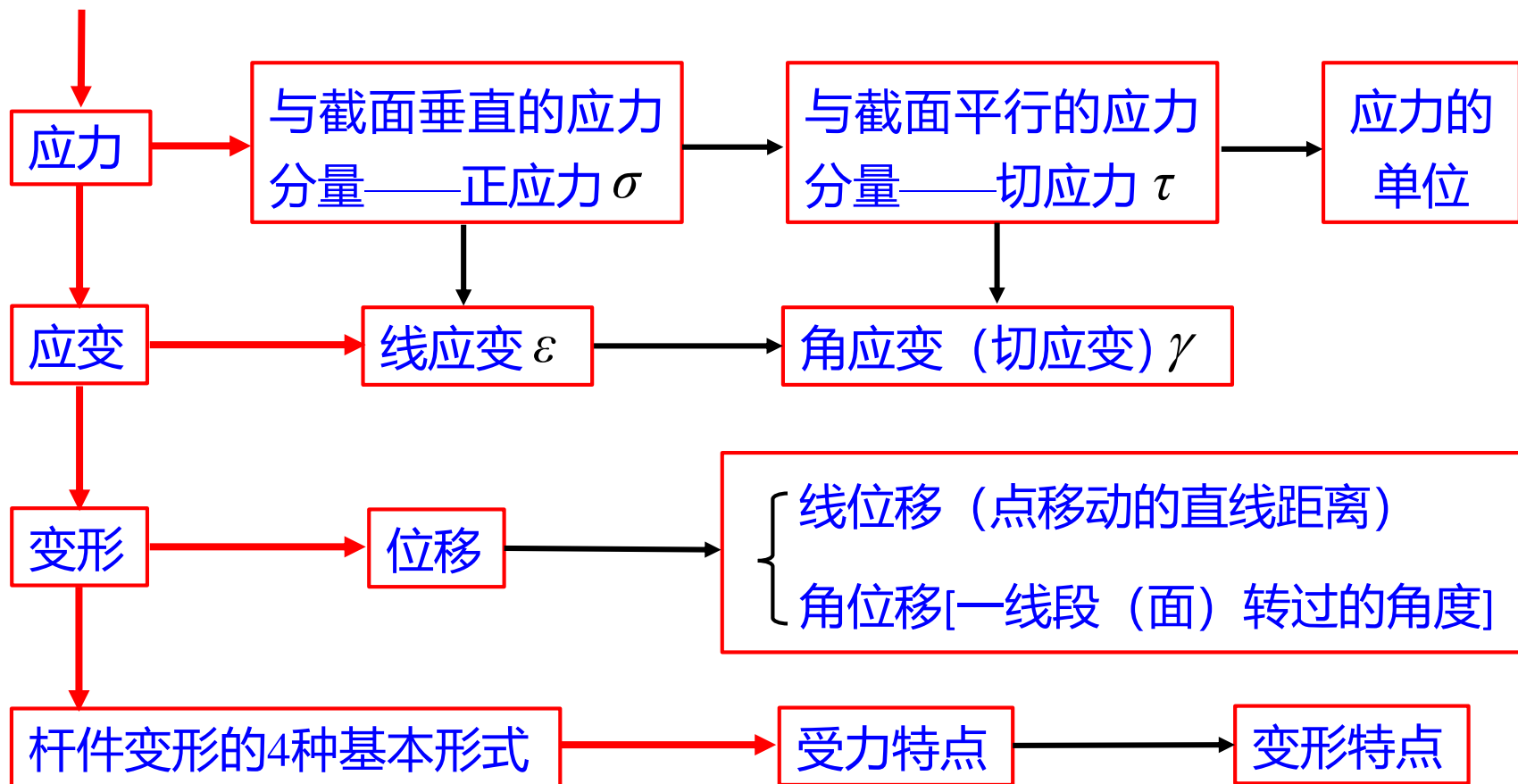


# 期末复习

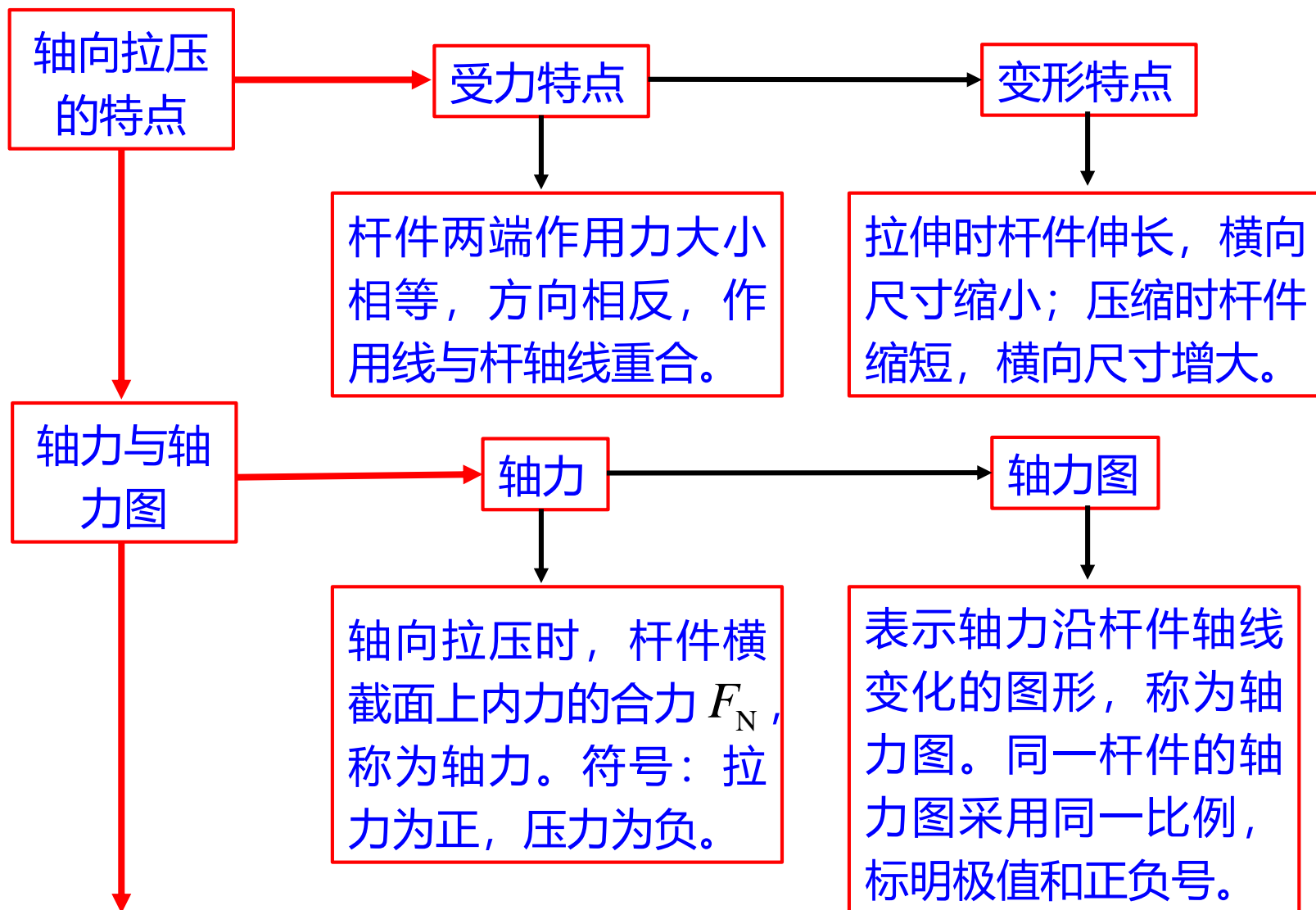
# 一、绪论



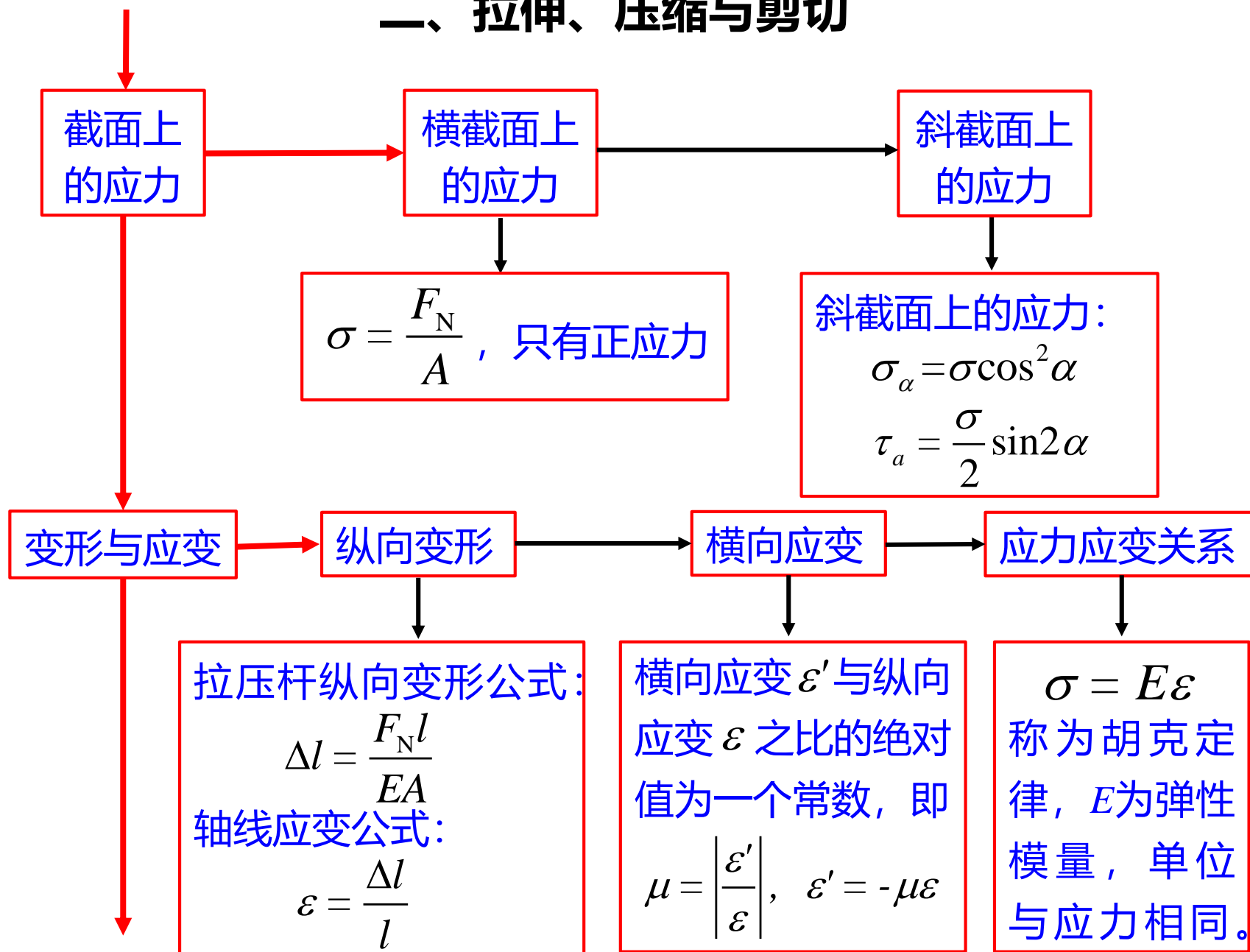
# 一、绪论



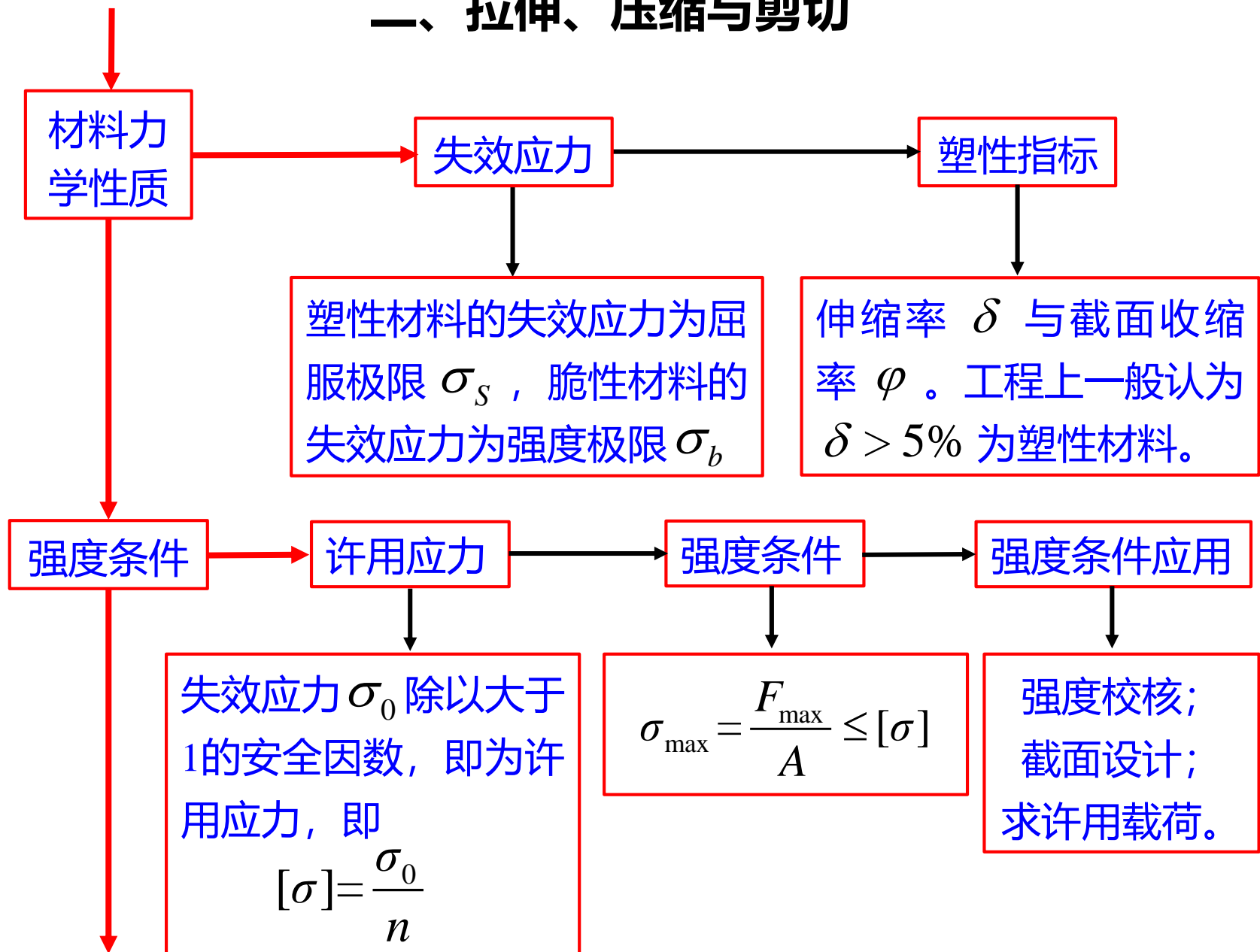
## 二、拉伸、压缩与剪切



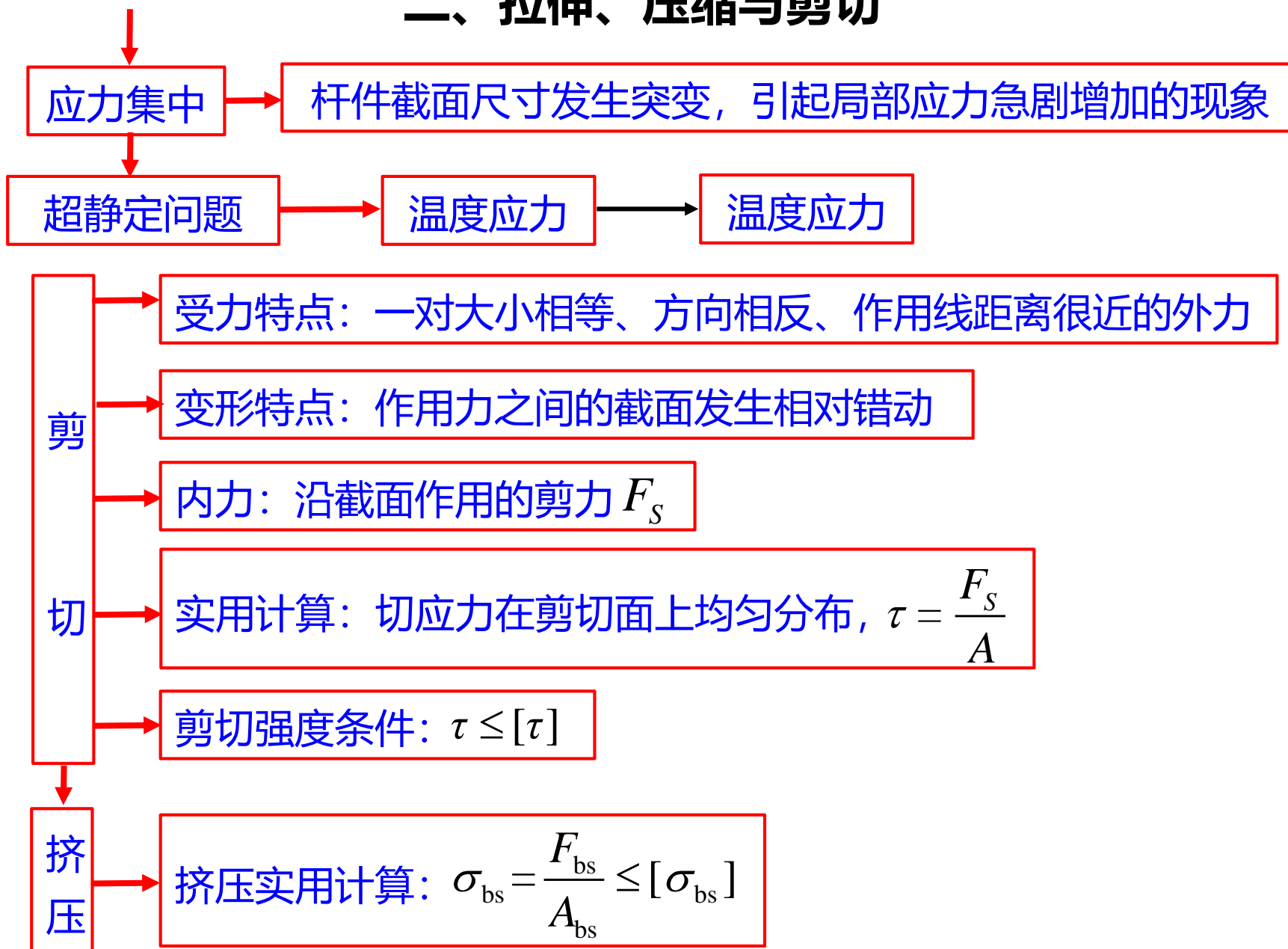
## 二、拉伸、压缩与剪切



## 二、拉伸、压缩与剪切



## 二、拉伸、压缩与剪切





# 本章复习

## 3、横截面上的正应力 $\sigma$ 计算公式：

$$\sigma = \frac{F_N}{A}$$

正应力 $\sigma$ 和轴力 $F_N$ 同号，拉应力为正，压应力为负。

6、低碳钢的拉伸性能。拉伸分为弹性阶段（线弹性阶段、非线性弹性阶段）、屈服阶段、强化阶段、局部变形阶段。各阶段对应极限： $\sigma_P$ （比例极限）， $\sigma_e$ （弹性极限）， $\sigma_s$ （屈服极限）， $\sigma_b$ （强度极限）

# 本章复习

11、强度条件。强度校核、设计界面、确定许可载荷。

杆内的最大工作应力不超过材料的许用应力

$$\sigma_{max} = \frac{F_N}{A} \leq [\sigma]$$

12、胡克定律

$$\Delta l = \frac{F_N l}{EA}$$

$EA$ 称为杆的抗拉（抗压）刚度。

比例常数 $E$ 称为弹性模量，是描述固体材料抵抗变形能力的物理量，也称为杨氏模量。

# 本章复习

## 12、胡克定律

$$\Delta l = \frac{F_N l}{EA}$$

$EA$ 称为杆的抗拉（抗压）刚度。

比例常数 $E$ 称为弹性模量，是描述固体材料抵抗变形能力的物理量，也称为杨氏模量。

单位(国际单位制):  $\text{N/m}^2$  (Pa);

常用单位: MPa或GPa

## 13、泊松比: 横向应变与轴向应变之比的绝对值。

$$\mu = \left| \frac{\varepsilon'}{\varepsilon} \right|$$

## 本章复习

13、泊松比：横向应变与轴向应变之比的绝对值。

$$\mu = \left| \frac{\varepsilon'}{\varepsilon} \right|$$

17、温度应力：温度变化将引起物体的膨胀或收缩。静定结构可以自由变形，不会引起构件的内力，但在超静定结构中变形将受到部分或全部约束，温度变化时往往就要引起内力，与之相对应的应力称为热应力或温度应力。

$$\sigma_T = \frac{F_{RB}}{A} = \alpha_l E \Delta T$$

# 本章复习

## 21、切应力的计算

$$\tau = \frac{F_s}{A}$$

式中， $F_s$ 为剪力， $A$ 为剪切面的面积。

## 22、切应力强度条件：

$$\tau = \frac{F_s}{A} \leq [\tau] = \frac{\tau_u}{n}$$

## 23、实用挤压应力公式

$$\sigma_{bs} = \frac{F_{bs}}{A_{bs}}$$

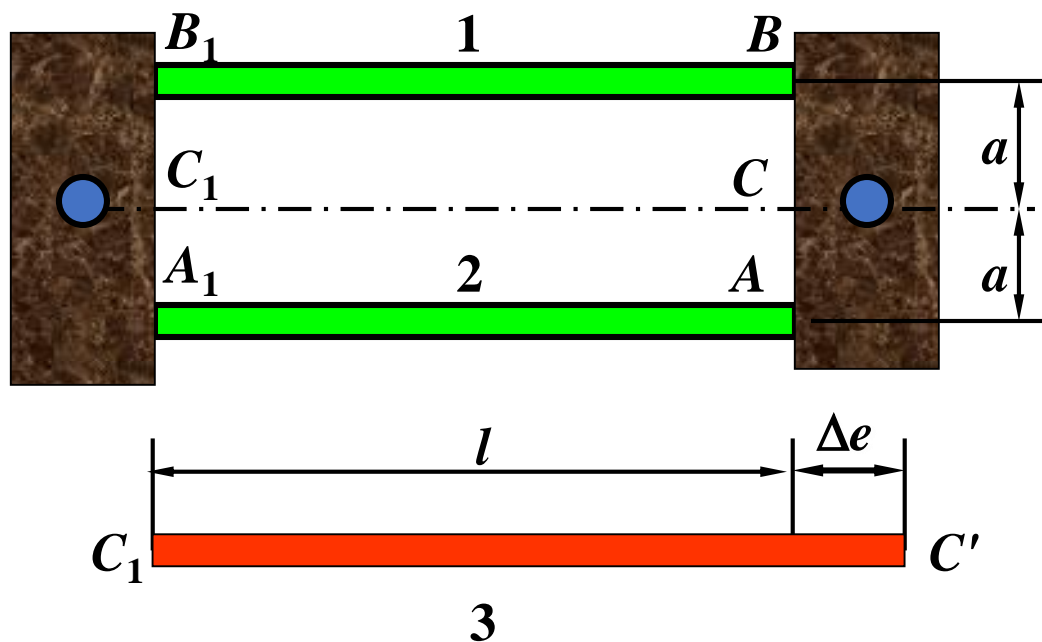
## 24、挤压强度条件

$$\sigma_{bs} = \frac{F_{bs}}{A_{bs}} \leq [\sigma_{bs}]$$

## §2.11 温度应力和装配应力

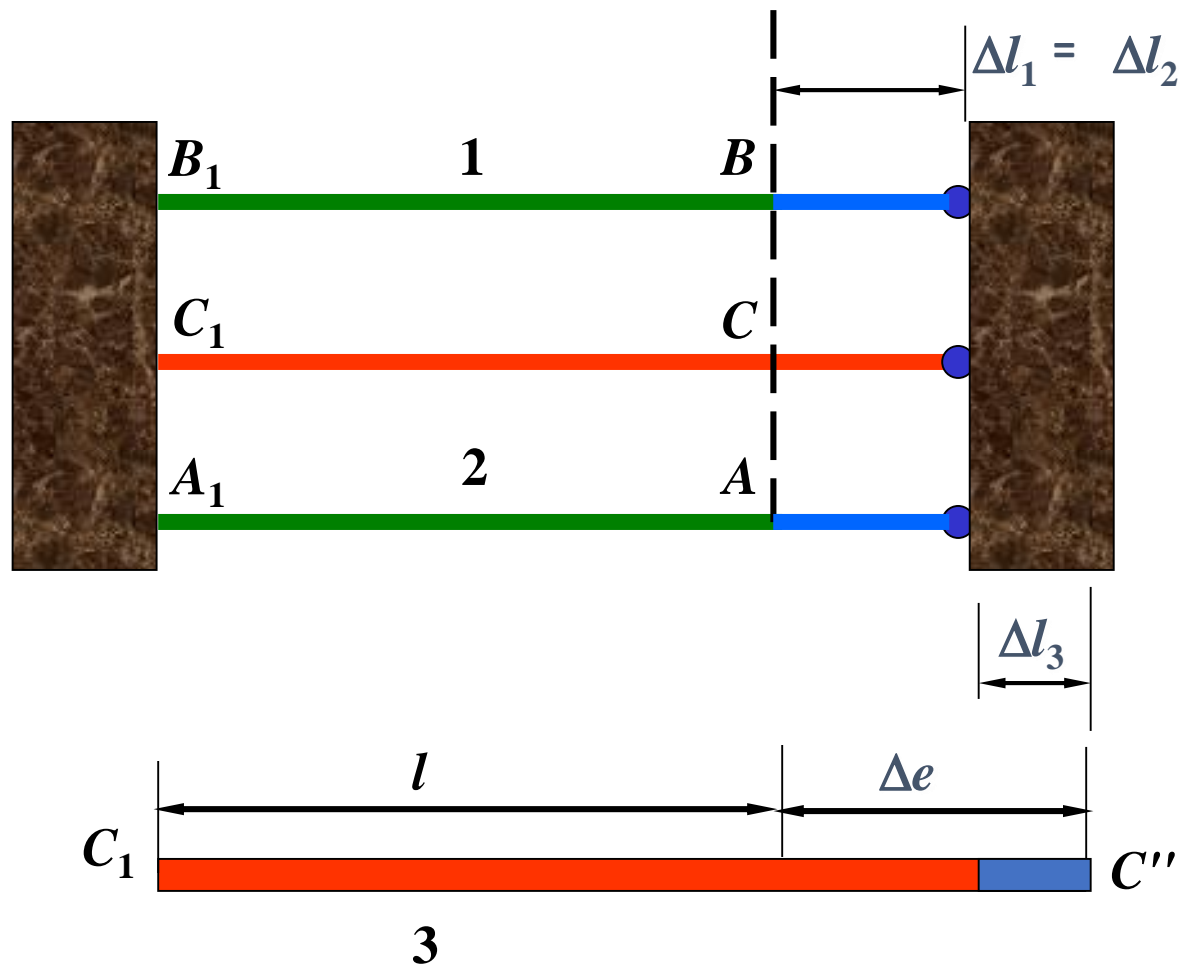
### 例题2.19

两铸件用两根钢杆1,2连接, 其间距为 $l=200$  mm。现要将制造得过长了 $\Delta e=0.11$  mm的铜杆3装入铸件之间, 并保持三根杆的轴线平行且等间距 $a$ 。试计算各杆内的装配应力。已知: 钢杆直径 $d=10$  mm, 铜杆横截面积为 $20\times 30$  mm的矩形, 钢的弹性模量 $E=210$  GPa, 铜的弹性模量 $E_3=100$  GPa。铸件很厚, 其变形可略去不计, 故可看作刚体。



## §2.11 温度应力和装配应力

### 例题2.19



解：1、变形协调方程：

$$\Delta l_1 + \Delta l_3 = \Delta e$$

## §2.11 温度应力和装配应力

### 例题2.19

解：2、物理方程：

$$\Delta l_1 = \frac{F_{N1} l_1}{EA} \quad \Delta l_3 = \frac{F_{N3} l}{E_3 A_3}$$

3、补充方程

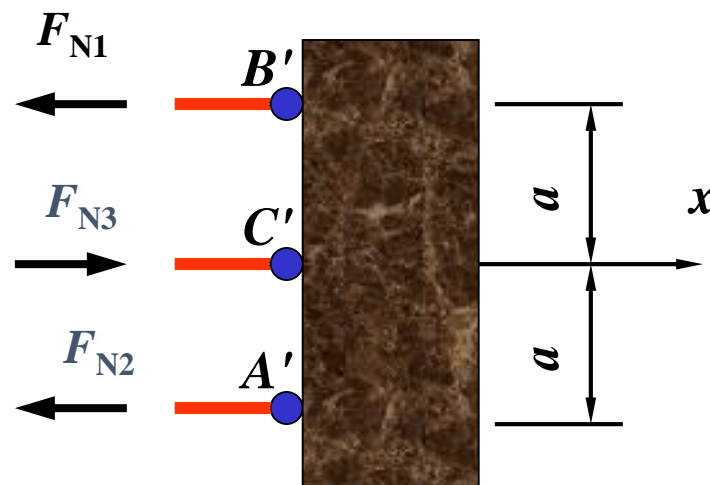
$$\frac{F_{N3} l}{E_3 A_3} = \Delta e - \frac{F_{N1} l}{EA}$$

4、平衡方程

$$F_{N1} = F_{N2}$$

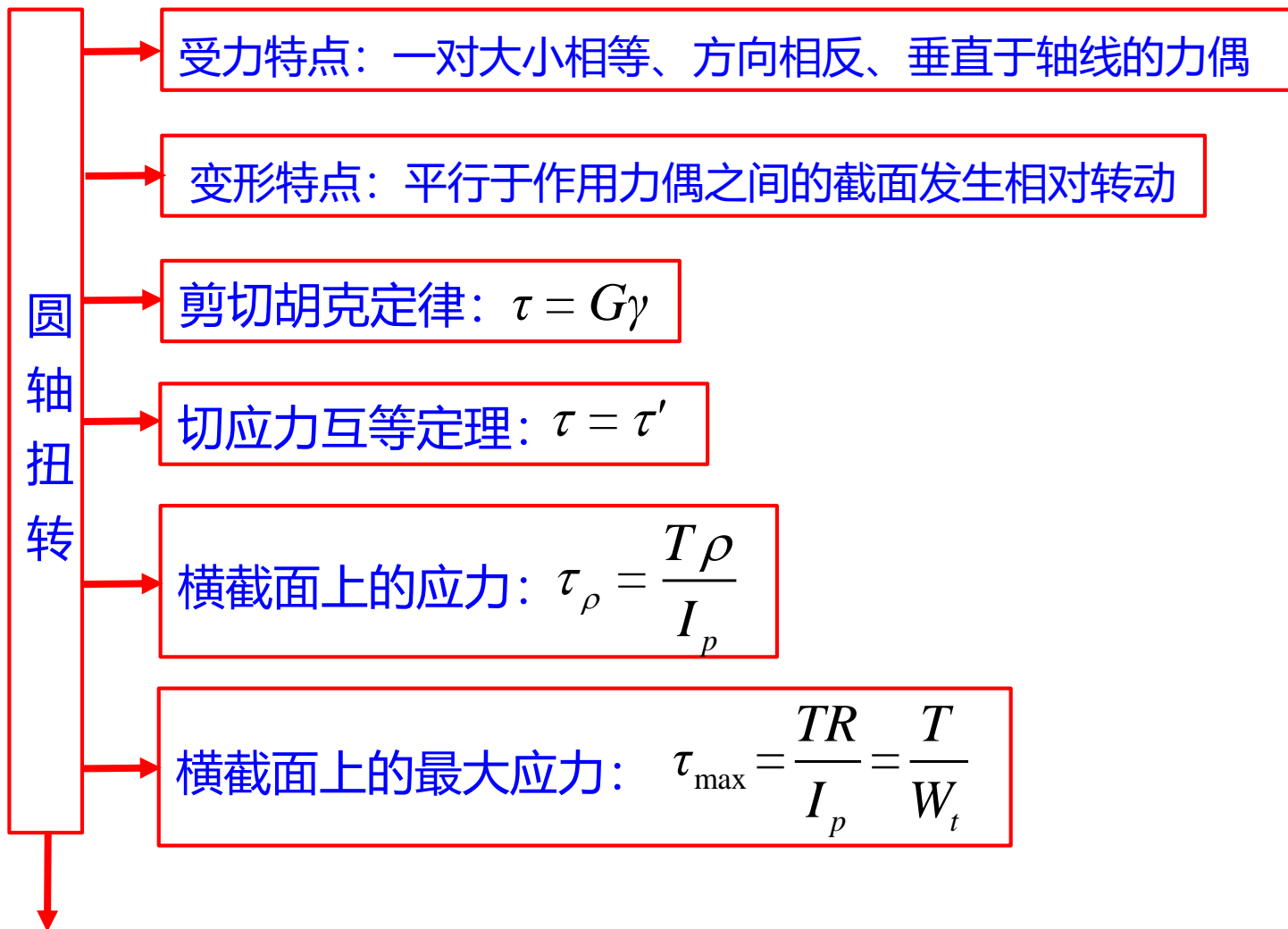
$$F_{N3} - F_{N1} - F_{N2} = 0$$

联立平衡方程与补充方程求解，即可得装配内力，进而求出装配应力。

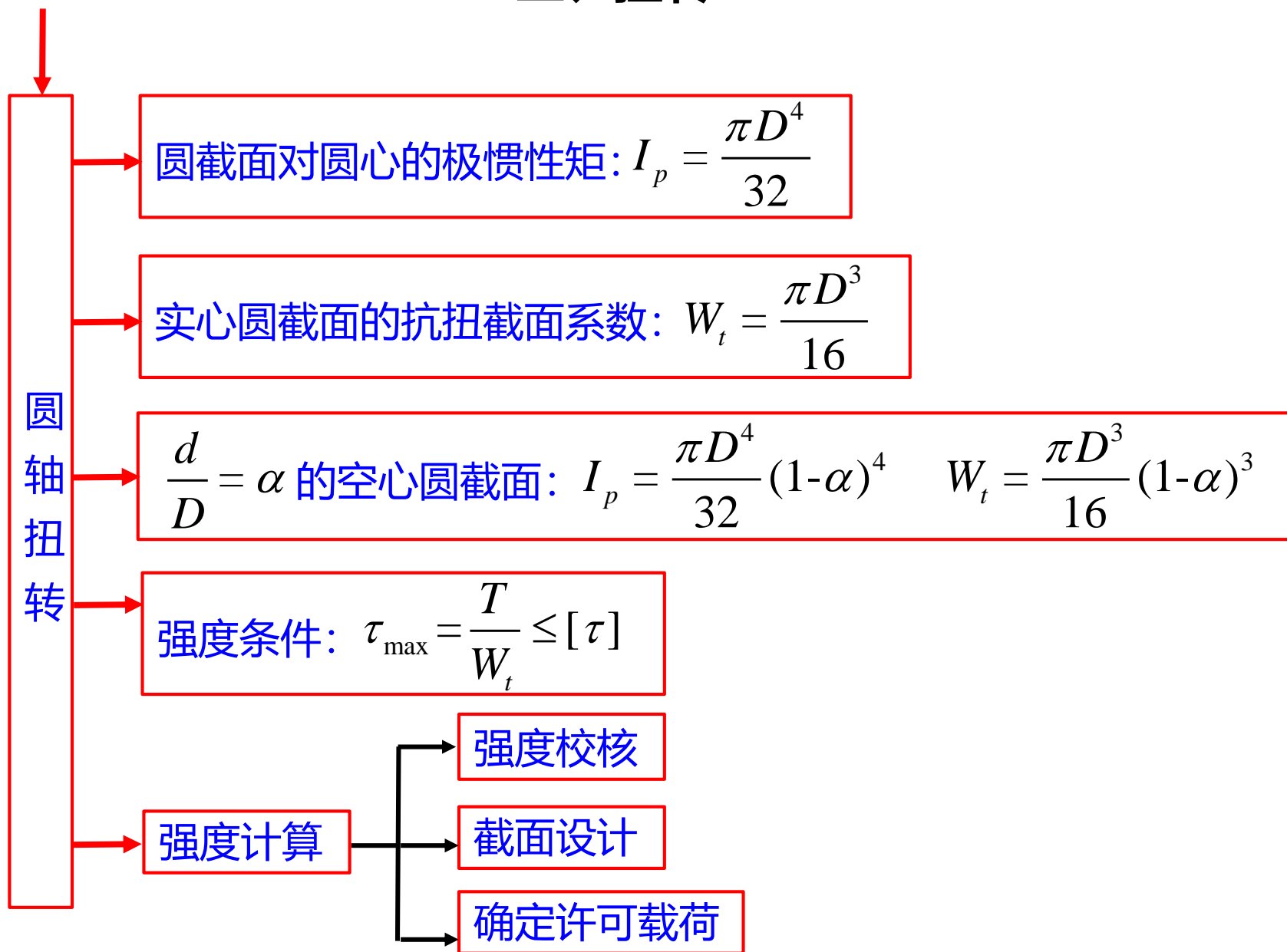




### 三、扭转



### 三、扭转



# 本章复习

## 3、薄壁圆筒切应力计算公式

$$\tau = \frac{T}{2\pi r_0^2 \delta} = \frac{M_e}{2\pi r_0^2 \delta}$$

## 4、切应力互等定理。

## 5、剪切胡克定律： $\tau = G\gamma$

## 6、距圆心为 $\rho$ 处的切应变： $\gamma_\rho = \rho \frac{d\varphi}{dx}$

## 7、横截面上同一圆周上任意点的切应力 $\tau_\rho$ 均相同，且与该点到圆心的距离 $\rho$ 成正比。

$$\tau_\rho = G\gamma_\rho = G\rho \frac{d\varphi}{dx}$$

## 本章复习

8、极惯性矩:  $\int_A \rho^2 dA = I_p$

9、抗扭截面系数:  $W_t = \frac{I_p}{\rho_{\max}}$

10、 $\tau_{\max} = \frac{T\rho_{\max}}{I_p} = \frac{T}{W_t}$

11、实心圆截面:  $I_p = \frac{\pi d^4}{32}$      $W_t = \frac{\pi d^3}{16}$

空心圆截面:  $I_p = \frac{\pi D^4(1-\alpha^4)}{32}$      $W_t = \frac{\pi D^3}{16}(1-\alpha^4)$

12、扭转强度条件:  $\tau_{\max} = \frac{T}{W_t} \leq [\tau]$

## 本章复习

13、  $\varphi = \frac{Tl}{GI_p}$

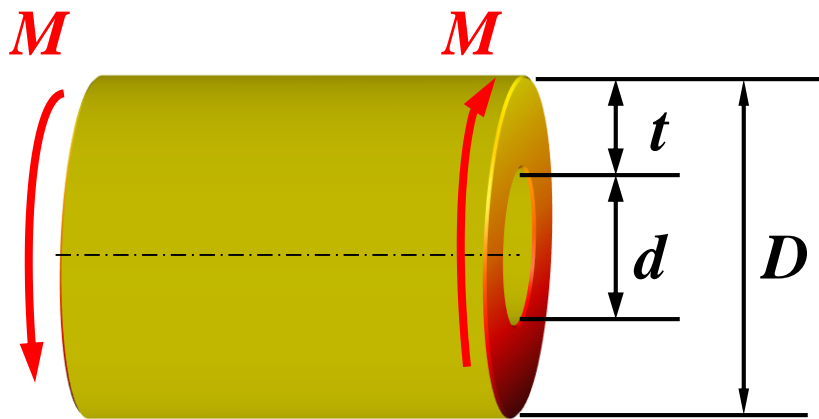
14、 单位长度扭转角：  $\varphi' = \frac{\varphi}{l} = \frac{T}{GI_p} \quad (\text{rad/m})$

15、 扭转刚度条件：  $\varphi'_{\max} = \frac{T}{GI_p} \leq [\varphi']$

## §3.5 圆轴扭转时的变形

### 例题3.8

某汽车的主传动轴是用40号钢的电焊钢管制成，钢管外径 $D=76\text{ mm}$ ，壁厚 $t=2.5\text{ mm}$ ，轴传递的转矩 $M=1.98\text{ kN}\cdot\text{m}$ ，材料的许用剪应力 $[\tau]=100\text{ MPa}$ ，剪切弹性模量为 $G=80\text{ GPa}$ ，轴的许用单位扭转角 $[\varphi']=2^\circ/\text{m}$ 。试校核轴的强度和刚度。



## §3.5 圆轴扭转时的变形

### 例题3.8

解：轴的扭矩等于轴传递的转矩

$$T = M = 1.98 \text{ kN} \cdot \text{m}$$

轴的内、外径之比

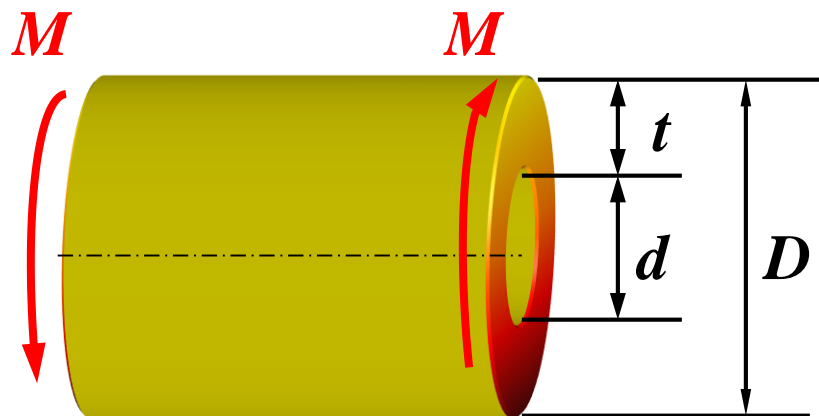
$$\alpha = \frac{d}{D} = \frac{D - 2t}{D} = 0.934$$

$$I_p = \frac{\pi D^4 (1 - \alpha^4)}{32} = 7.83 \times 10^5 \text{ mm}^4$$

$$W_t = \frac{I_p}{D/2} = 2.06 \times 10^4 \text{ mm}$$

由强度条件  $\tau_{\max} = \frac{T_{\max}}{W_t} = 96.1 \text{ MPa} < [\tau]$

由刚度条件  $\varphi_{\max} = \frac{T_{\max}}{GI_p} \times \frac{180^\circ}{\pi} = 1.81^\circ/\text{m} < [\varphi']$



## §3.5 圆轴扭转时的变形

### 例题3.8

讨论：将空心轴改为同一材料的实心轴，仍使  $\tau_{\max} = 96.1 \text{ MPa}$

$$\tau_{\max} = \frac{T_{\max}}{\pi d^3 / 16} = 96.1 \text{ MPa}$$

实心轴的直径为  $d = 47.2 \text{ mm}$

其截面面积为  $A_{\text{实}} = \frac{\pi d^2}{4} = 1749 \text{ mm}^2$

空心轴的截面面积为  $A_{\text{空}} = \frac{\pi(76^2 - 71^2)}{4} = 577 \text{ mm}^2$

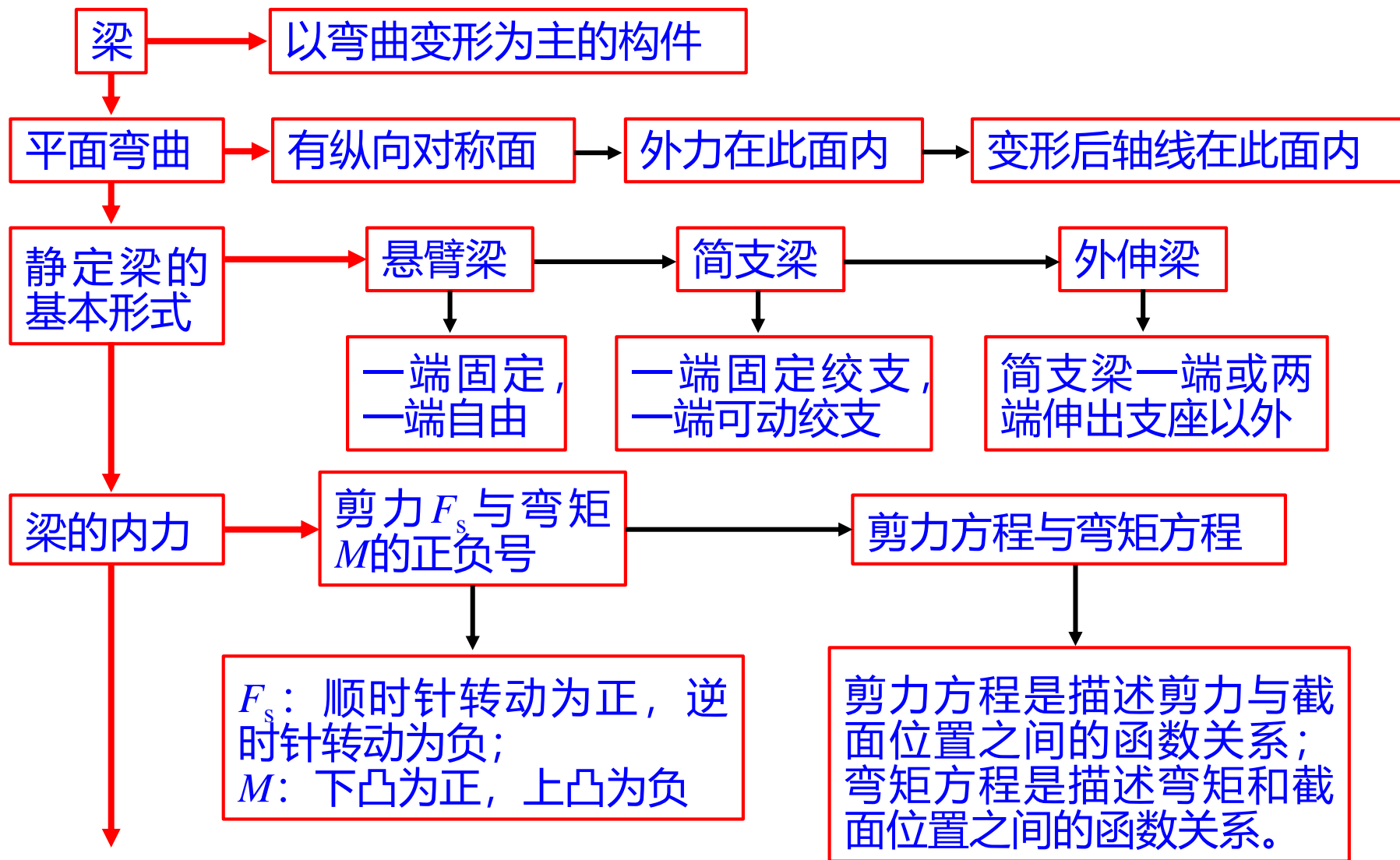
长度材料相等时，两轴重量比等于两轴的横截面积比

$$\frac{A_{\text{空}}}{A_{\text{实}}} = \frac{577}{1749} = 0.33$$

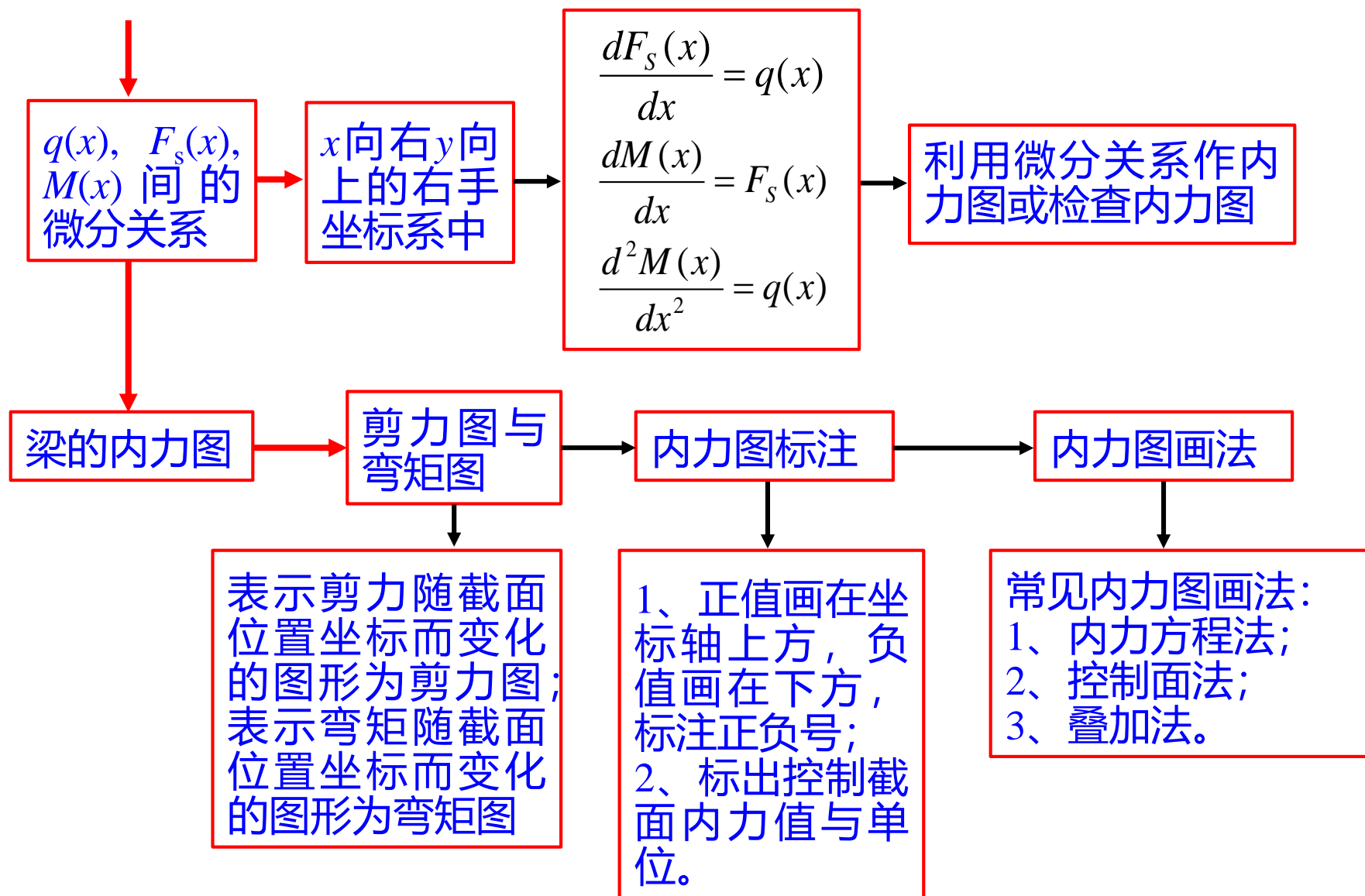
在最大切应力相等时空心圆轴比实心圆轴轻，即节省材料。



## 四、弯曲内力

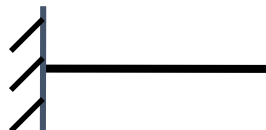


## 四、弯曲内力

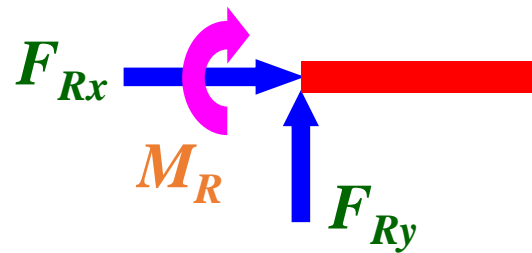


# 本章复习

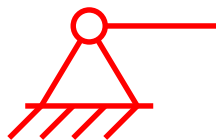
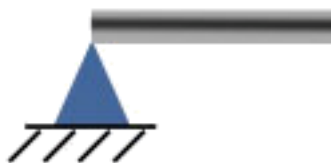
## 1、固定端支座



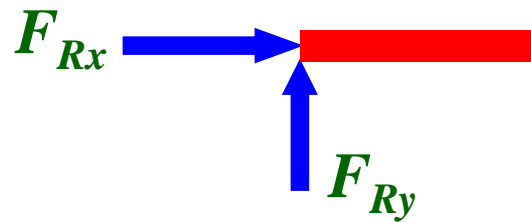
$$u_x = 0, \quad u_y = 0, \quad \theta = 0$$



## 2、固定铰支座

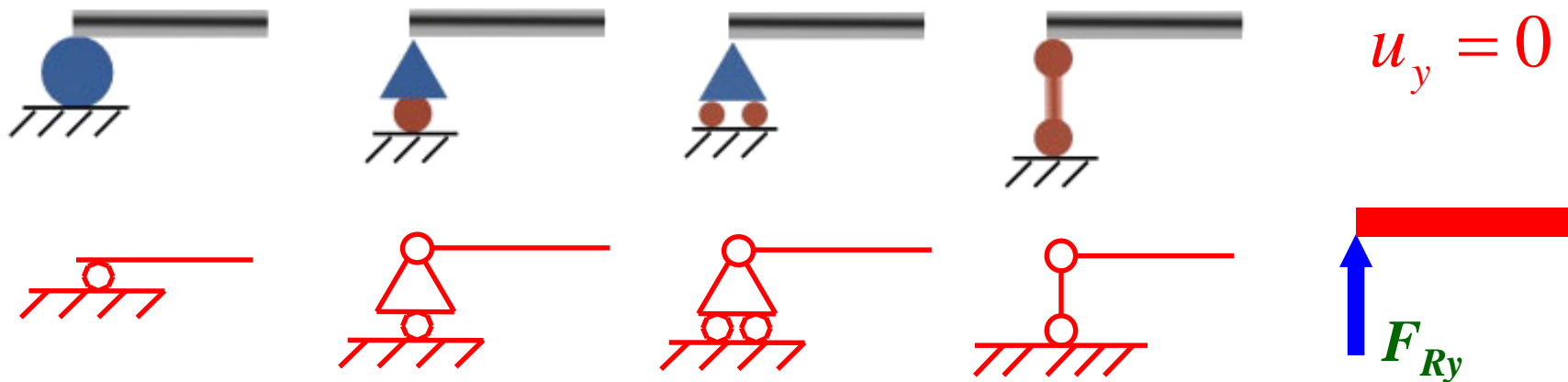


$$u_x = 0, \quad u_y = 0$$



# 本章复习

## 3、可动铰支座。



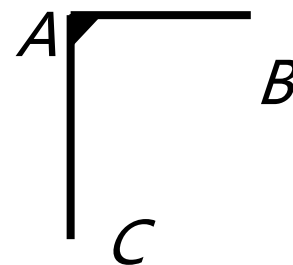
4、剪力 $F_S$ ：构件受弯时，横截面上其作用线平行于横截面的内力合力。左上右下为正。

5、弯矩 $M$ ：构件受弯时，横截面上其作用面垂直于横截面的内力系的合力偶矩。上压下拉为正。

# 本章复习

## 6、平面刚架的内力

平面刚架是由在同一平面内，不同取向的杆件，通过杆端相互刚性连结而组成的结构。



内力包括：剪力；弯矩；轴力。

弯矩图：画在各杆的受压（凹入）侧，不注明正、负号。

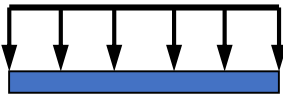

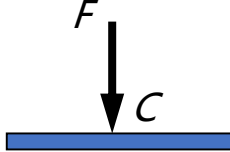
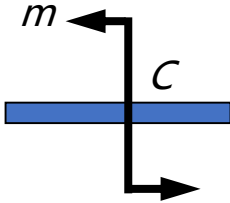



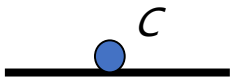


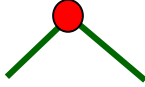
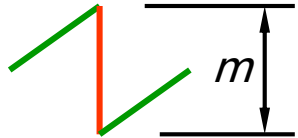
剪力图及轴力图：可画在刚架轴线的任一侧（通常正值画在刚架的外侧），注明正、负号。

## 7、 $q(x)$ 、 $F_S(x)$ 图、 $M(x)$ 图三者间的关系。

$$\frac{dF_S(x)}{dx} = q(x) \quad \frac{dM(x)}{dx} = F_S(x) \quad \frac{d^2M(x)}{dx^2} = q(x)$$

# 本章复习

## 9、几种载荷下剪力图与弯矩图的特征

梁上外力情况	均布载荷 $q < 0$ 	无载荷 	集中力 	集中力偶 
剪力图的特征	向下倾斜的直线 	水平直线 	在C处有突变 	在C处无变化 
弯矩图的特征	上凸的二次抛物线 	一般直线 	在C处有转折 	在C处有突变 
$M_{\max}$ 所在的可能面	在 $F_S=0$ 的截面或起始点	全梁或梁的边界截面	在剪力突变的截面	在紧靠C的某一侧截面

## §4.4 剪力方程和弯矩方程 剪力图和弯矩图

### 例题4.11

已知平面刚架上的均布载荷集度 $q$ ，长度 $l$ 。

试画出刚架的内力图。

解：(1) 确定约束力，写出各段的内力方程

竖杆AB：A点向上为 $y$

$$\sum F_x = 0 \quad F_S(y) + qy - ql = 0$$

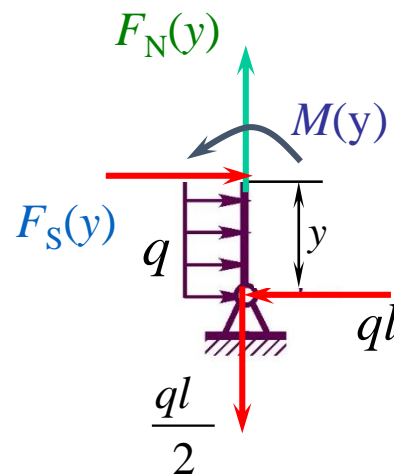
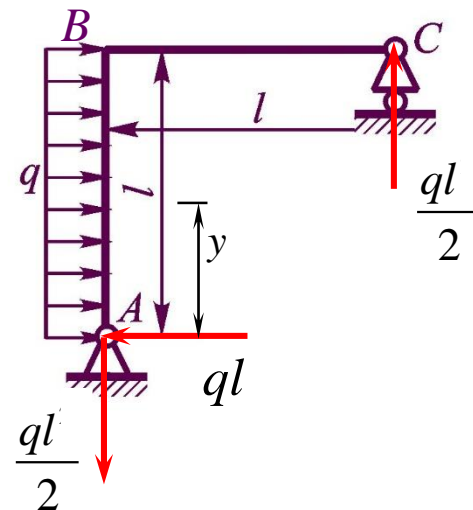
$$F_S(y) = ql - qy \quad (0 < y \leq l)$$

$$\sum F_y = 0 \quad F_N(y) - ql/2 = 0$$

$$F_N(y) = ql/2 \quad (0 < y < l)$$

$$\sum M(y) = 0 \quad M(y) + qy \cdot y/2 - qly = 0$$

$$M(y) = qly - qy^2/2 \quad (0 \leq y \leq l)$$



## §4.4 剪力方程和弯矩方程 剪力图和弯矩图

### 例题4.11

已知平面刚架上的均布载荷集度 $q$ ，长度 $l$ 。

试画出刚架的内力图。

解：(1) 确定约束力，写出各段的内力方程

横杆CB：C点向左为 $x$

$$\sum F_x = 0$$

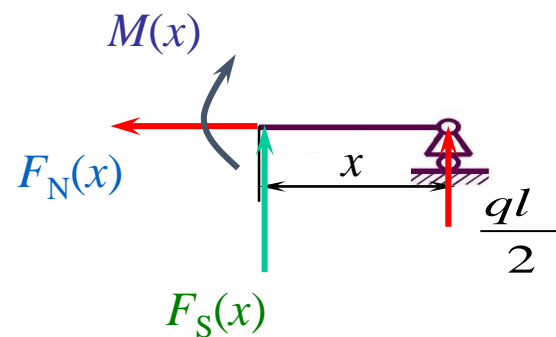
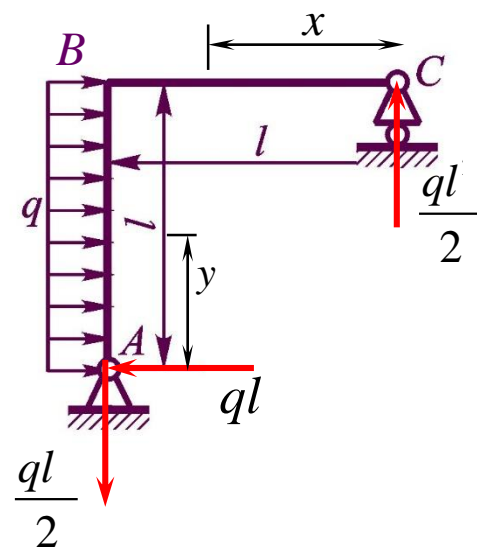
$$F_N(x) = 0 \quad (0 \leq x \leq l)$$

$$\sum F_y = 0 \quad F_S(x) + ql/2 = 0$$

$$F_S(x) = -ql/2 \quad (0 < x < l)$$

$$\sum M(x) = 0 \quad M(x) - qlx/2 = 0$$

$$M(x) = qlx/2 \quad (0 \leq x \leq l)$$





## §4.4 剪力方程和弯矩方程 剪力图和弯矩图

### 例题4.11

已知平面刚架上的均布载荷集度 $q$ ，长度 $l$ 。

试画出刚架的内力图。

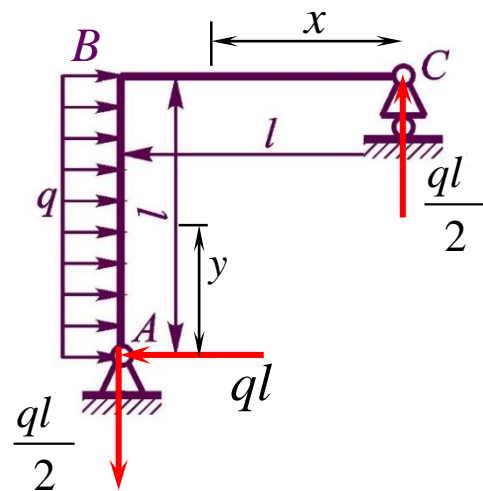
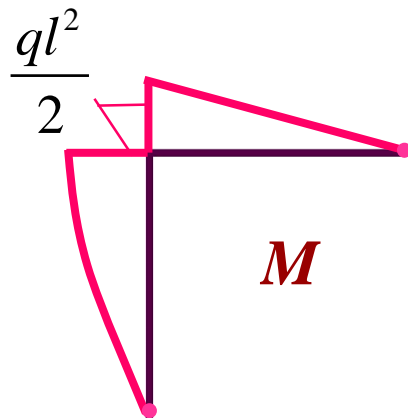
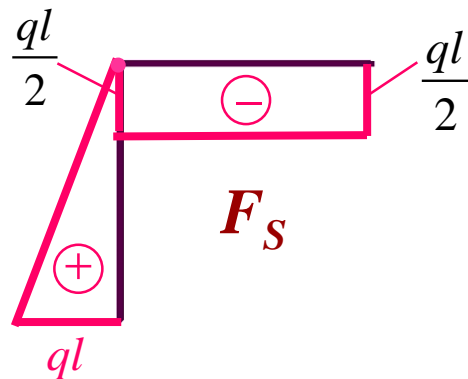
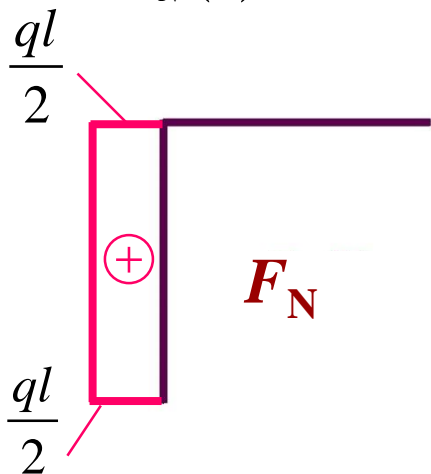
解：(2) 根据各段内力方程画内力图

竖杆AB：

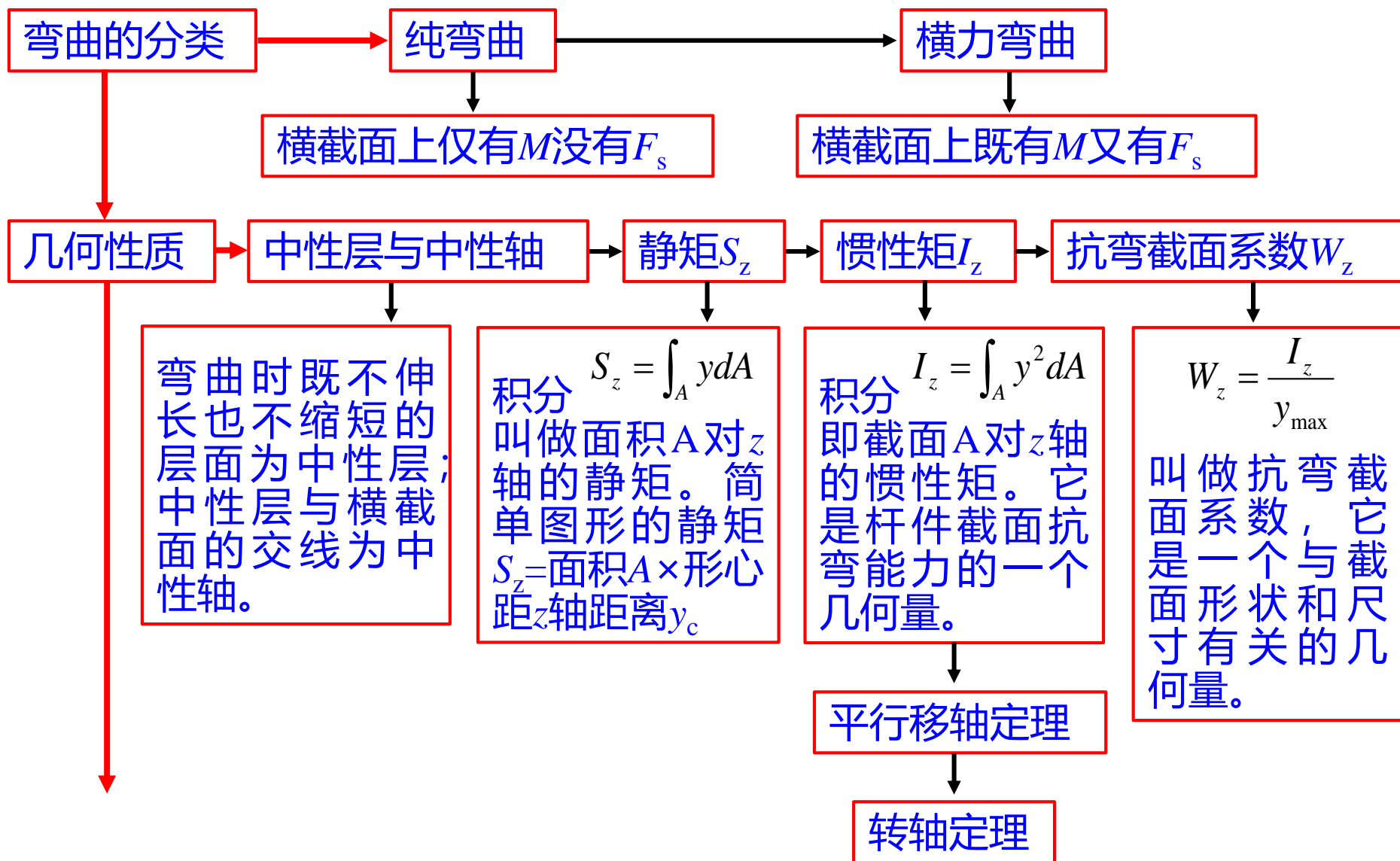
$$F_N(y) = ql/2 \quad F_S(y) = ql - qy \quad M(y) = qly - qy^2/2$$

横杆CB：

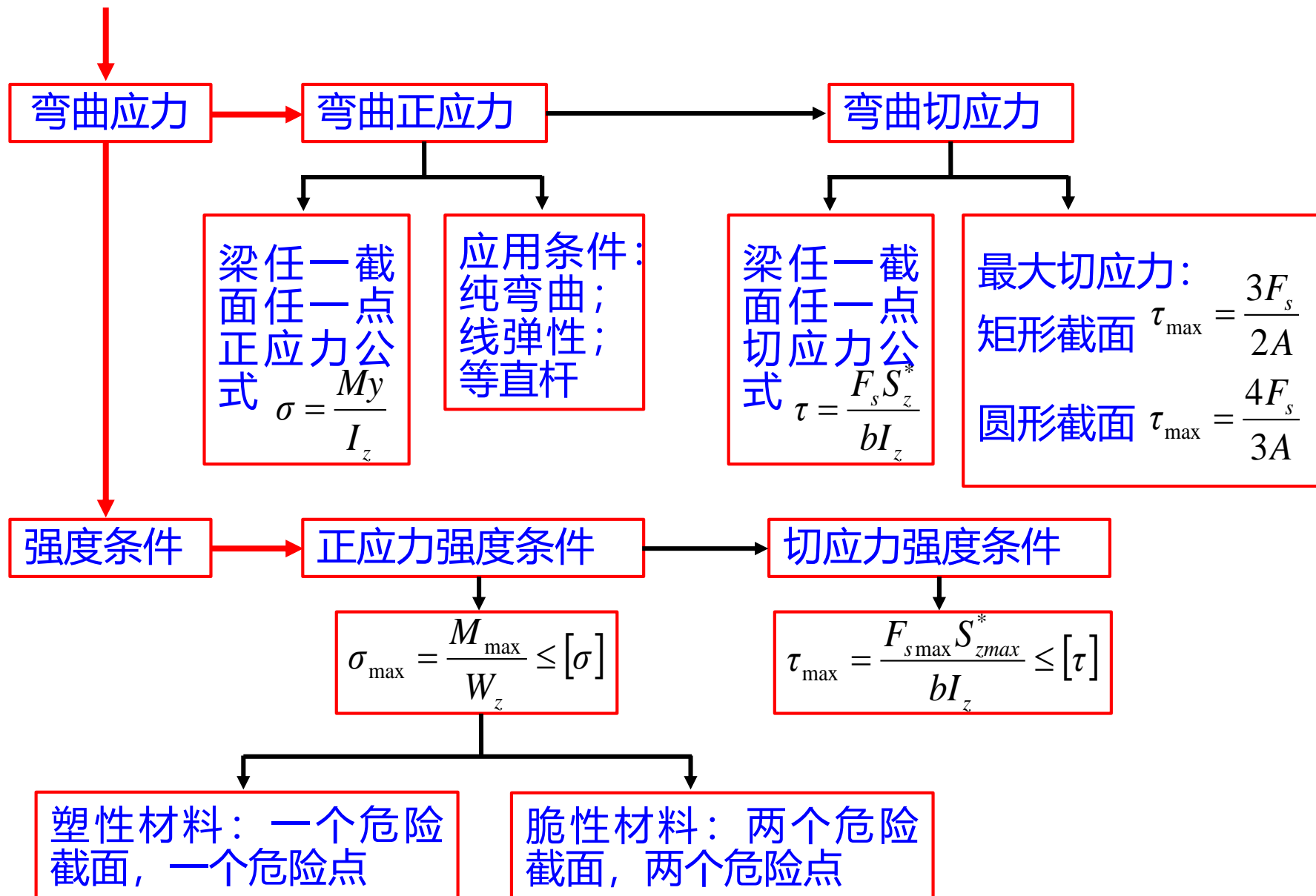
$$F_N(x) = 0 \quad F_S(x) = -ql/2 \quad M(x) = qlx/2$$



## 五、弯曲应力



## 五、弯曲应力



# 本章复习

1、纯弯曲与横力弯曲。

2、中性层和中性轴。中性轴过截面的形心。

3、纯弯曲的应变与应力  $\varepsilon = \frac{y}{\rho}$   $\sigma = E \frac{y}{\rho}$

4、  $\frac{1}{\rho} = \frac{M}{EI_z}$   $\sigma = \frac{My}{I_z}$

5、纯弯曲最大正应力

$$\sigma_{\max} = \frac{My_{\max}}{I_z} = \frac{M}{W_z}$$

6、横力弯曲最大正应力

$$\sigma_{\max} = \frac{M_{\max} y_{\max}}{I_z} = \frac{M_{\max}}{W_z}$$

# 本章复习

7、弯曲正应力强度条件：梁内的最大工作正应力不超过材料的许用正应力。

$$\sigma_{\max} = \frac{M_{\max} y_{\max}}{I_z} = \frac{M_{\max}}{W_z} \leq [\sigma]$$

强度校核、设计截面、确定许可载荷

8、矩形截面梁的切应力

$$\tau = \frac{F_s S_z^*}{I_z b} \quad \tau_{\max} = \frac{F_s h^2}{8 I_z} = \frac{F_s h^2}{8 \times \frac{bh^3}{12}} = \frac{3}{2} \times \frac{F_s}{bh} = \frac{3F_s}{2A}$$

9、圆截面梁的切应力

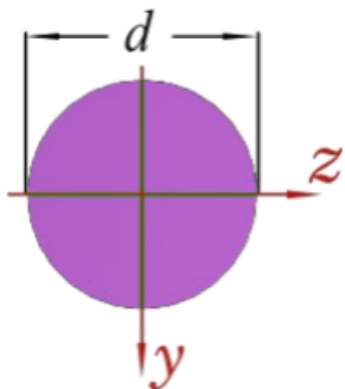
$$\tau_{\max} = \frac{F_s S_{Z,\max}^*}{I_z d} = \frac{4}{3} \frac{F_s}{\pi R^2} = \frac{4}{3} \frac{F_s}{A}$$

## §5.2 纯弯曲时的正应力

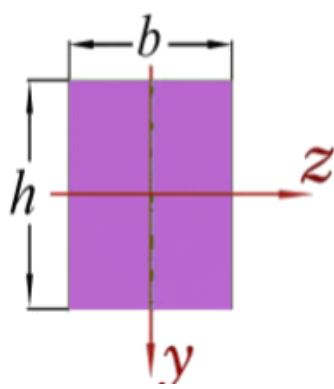
### 5、常见截面的 $I_Z$ 和 $W_Z$

$$I_Z = \int_A y^2 dA$$

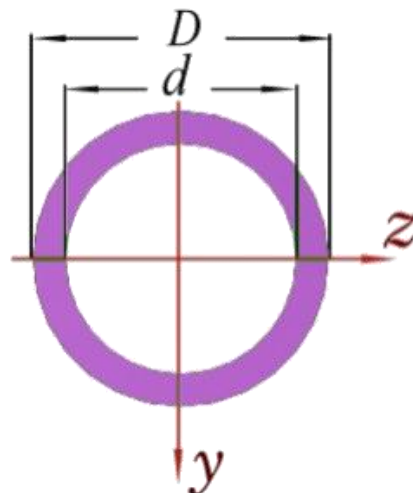
$$W_z = \frac{I_Z}{y_{\max}}$$



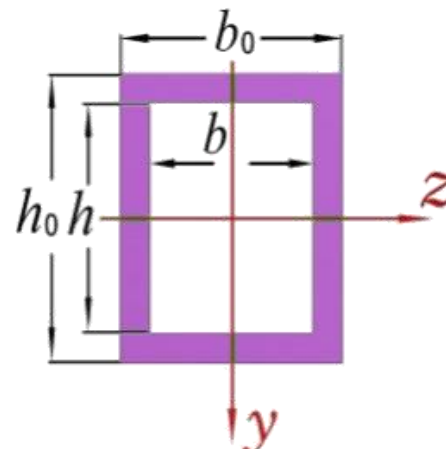
圆截面



矩形截面



空心圆截面



空心矩形截面

$$I_Z = \frac{\pi d^4}{64}$$

$$I_Z = \frac{bh^3}{12}$$

$$I_Z = \frac{\pi D^4}{64} (1 - \alpha^4)$$

$$I_Z = \frac{b_0 h_0^3}{12} - \frac{bh^3}{12}$$

$$W_z = \frac{\pi d^3}{32}$$

$$W_z = \frac{bh^2}{6}$$

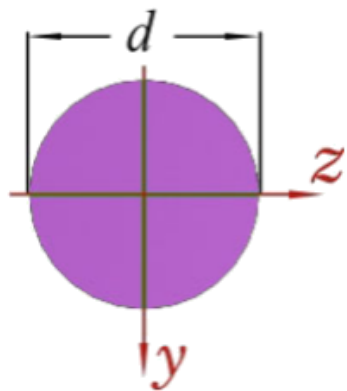
$$W_z = \frac{\pi D^3}{32} (1 - \alpha^4)$$

$$W_z = \left( \frac{b_0 h_0^3}{12} - \frac{bh^3}{12} \right) / (h_0 / 2)$$

## §5.2 纯弯曲时的正应力

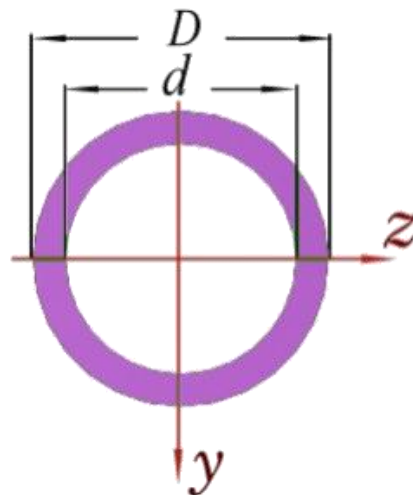
### 5、常见截面的 $I_Z$ 和 $W_Z$

$$I_Z = \int_A y^2 dA \quad W_z = \frac{I_Z}{y_{\max}}$$



$$I_p = \int_A \rho^2 dA$$

圆截面



空心圆截面

$$W_t = \frac{I_p}{\rho_{\max}}$$

$$I_Z = \frac{\pi d^4}{64}$$

$$I_p = \frac{\pi d^4}{32}$$

$$I_Z = \frac{\pi D^4}{64} (1 - \alpha^4)$$

$$I_p = \frac{\pi D^4}{32} (1 - \alpha^4)$$

$$W_z = \frac{\pi d^3}{32}$$

$$W_t = \frac{\pi d^3}{16}$$

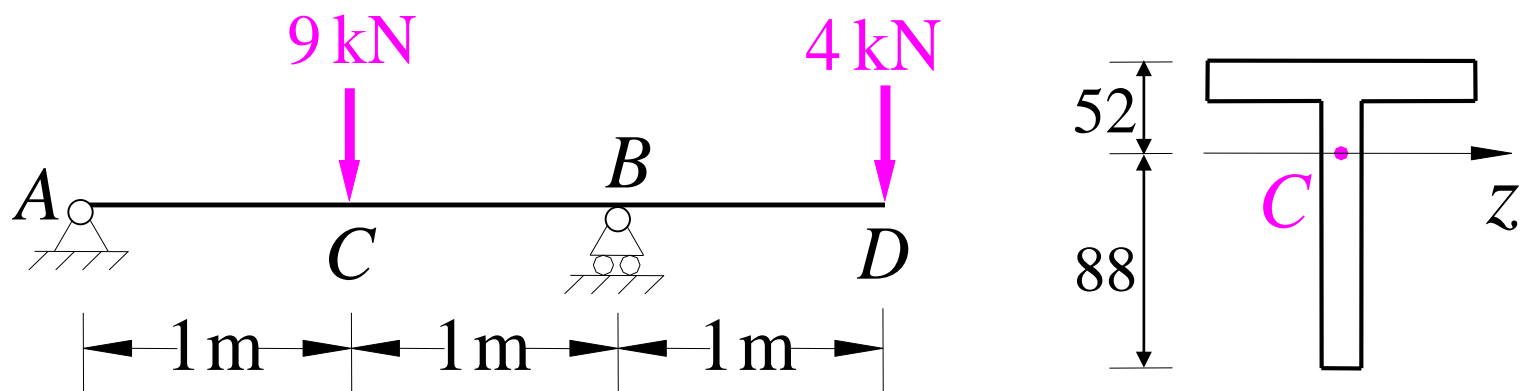
$$W_z = \frac{\pi D^3}{32} (1 - \alpha^4)$$

$$W_t = \frac{\pi D^3}{16} (1 - \alpha^4)$$

## §5.3 横力弯曲时的正应力

### 例题5.3

图示铸铁梁，许用拉应力 $[\sigma_t]=30\text{ MPa}$ ，许用压应力 $[\sigma_c]=60\text{ MPa}$ ， $I_z=7.63\times 10^{-6}\text{ m}^4$ ，试校核此梁的强度。



**分析：**对于铸铁梁，拉伸和压缩力学性能不同，在危险截面处，拉伸强度和压缩强度都应校核。



## §5.3 横力弯曲时的正应力

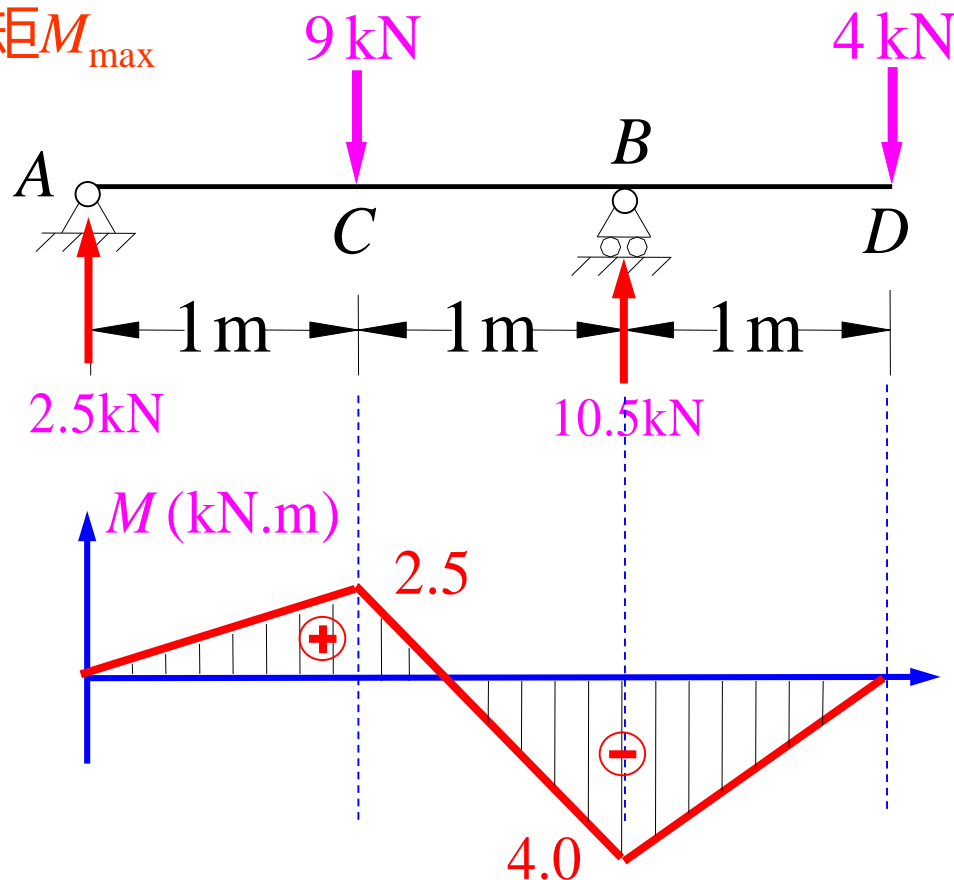
### 例题5.3

图示铸铁梁，许用拉应力 $[\sigma_t]=30\text{ MPa}$ ，许用压应力 $[\sigma_c]=60\text{ MPa}$ ， $I_z=7.63\times 10^{-6}\text{ m}^4$ ，试校核此梁的强度。

解：先确定危险截面及最大弯矩 $M_{\max}$

对于只有集中力作用情形，弯矩图各段均为直线，且在各集中力作用处，弯矩图有尖角。

因此，对于只有集中力作用情形，危险截面（弯矩最大的截面）肯定出现在集中力作用处或支座处。



## §5.3 横力弯曲时的正应力

### 例题5.3

图示铸铁梁，许用拉应力 $[\sigma_t]=30\text{ MPa}$ ，许用压应力 $[\sigma_c]=60\text{ MPa}$ ， $I_z=7.63\times 10^{-6}\text{ m}^4$ ，试校核此梁的强度。

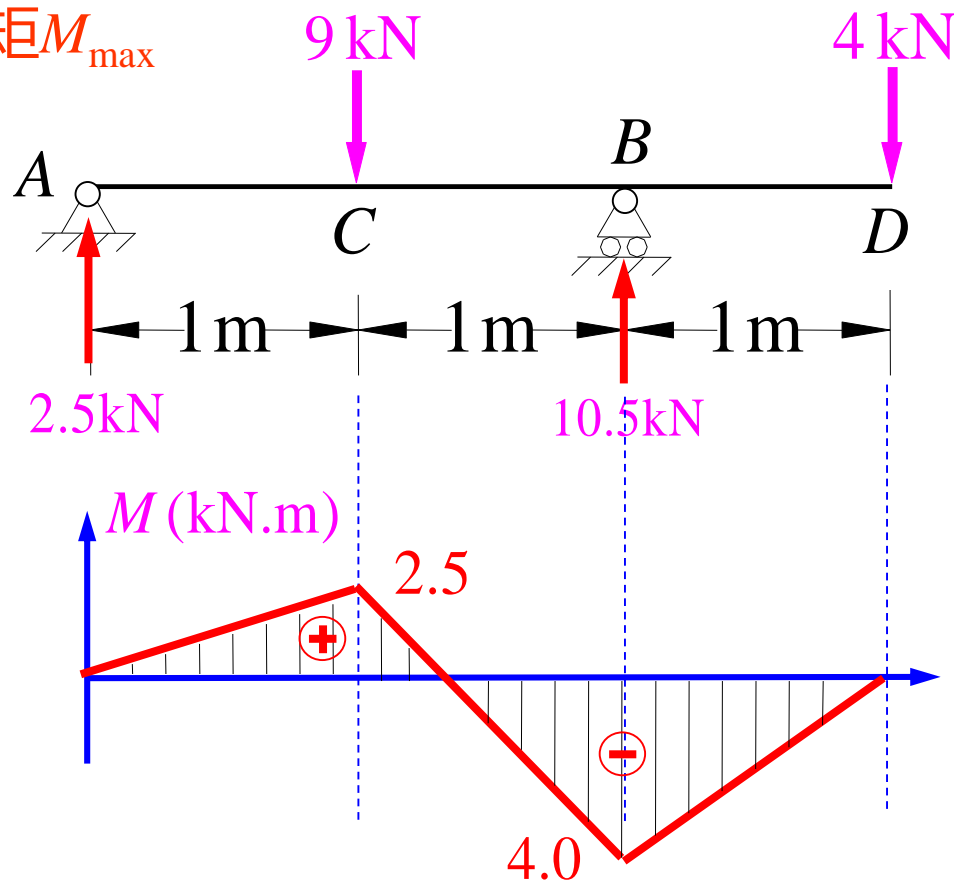
解：先确定危险截面及最大弯矩 $M_{\max}$

(1) 截面B (上部受拉)

$$M_B = 4.0\text{ kN.m}$$

(2) 截面C (下部受拉)

$$M_C = 2.5\text{ kN.m}$$



## §5.3 横力弯曲时的正应力

### 例题5.3

图示铸铁梁，许用拉应力 $[\sigma_t]=30\text{ MPa}$ ，许用压应力 $[\sigma_c]=60\text{ MPa}$ ， $I_z=7.63\times 10^{-6}\text{ m}^4$ ，试校核此梁的强度。

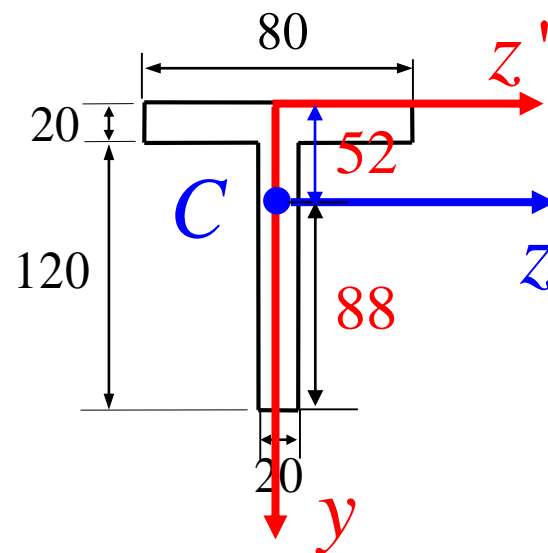
解：求截面形心

$$y_c = \frac{80 \times 20 \times 10 + 120 \times 20 \times (20 + 60)}{80 \times 20 + 120 \times 20}$$

$$y_c = 52\text{ mm}$$

求截面对中性轴 $z$ 的惯性矩

$$\begin{aligned} I_z &= \frac{80 \times 20^3}{12} + 80 \times 20 \times 42^2 + \frac{20 \times 120^3}{12} + 20 \times 120 \times 28^2 \\ &= 7.63 \times 10^{-6} \text{ m}^4 \end{aligned}$$



## §5.3 横力弯曲时的正应力

### 例题5.3

图示铸铁梁，许用拉应力 $[\sigma_t]=30\text{ MPa}$ ，许用压应力 $[\sigma_c]=60\text{ MPa}$ ， $I_z=7.63\times 10^{-6}\text{ m}^4$ ，试校核此梁的强度。

解：强度校核  $I_z=7.63\times 10^{-6}\text{ m}^4$

此梁安全

B截面(上拉下压):  $M_B = 4.0\text{ kN.m}$

$$\sigma_{tB} = \frac{M_B \cdot y_{t\max}}{I_z} = \frac{4.0 \times 10^3 \times 52 \times 10^{-3}}{7.63 \times 10^{-6}} = 27.3\text{ MPa} < [\sigma_t] = 30\text{ MPa}$$

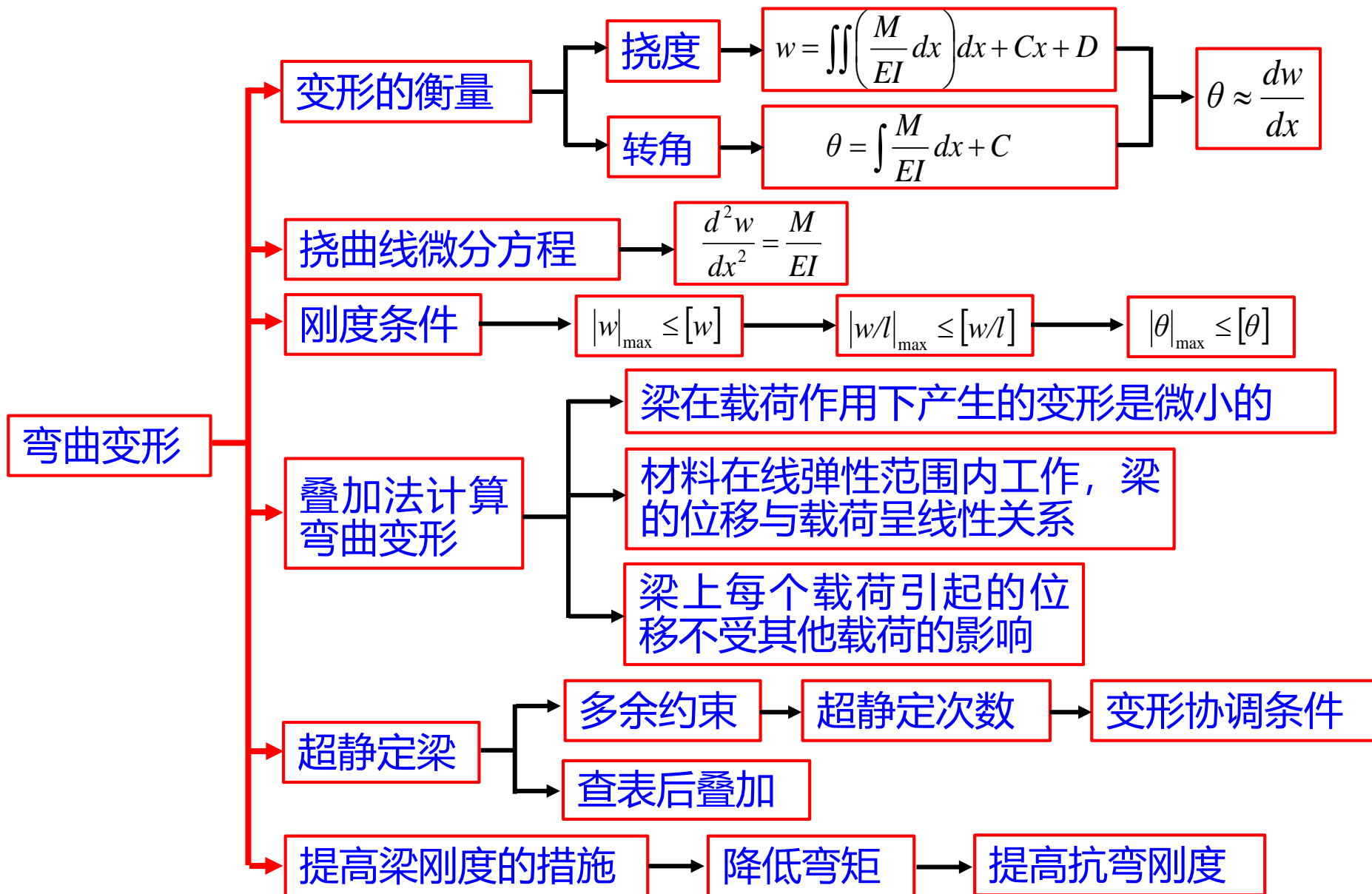
$$\sigma_{cB} = \frac{M_B \cdot y_{c\max}}{I_z} = \frac{4.0 \times 10^3 \times 88 \times 10^{-3}}{7.63 \times 10^{-6}} = 46.1\text{ MPa} < [\sigma_c] = 60\text{ MPa}$$

C截面(上压下拉):  $M_C = 2.5\text{ kN.m}$

$$\sigma_{tC} = \frac{M_C \cdot y_{t\max}}{I_z} = \frac{2.5 \times 10^3 \times 88 \times 10^{-3}}{7.63 \times 10^{-6}} = 28.8\text{ MPa} < [\sigma_t] = 30\text{ MPa}$$

$$\sigma_{cC} = \frac{M_C \cdot y_{c\max}}{I_z} = \frac{2.5 \times 10^3 \times 52 \times 10^{-3}}{7.63 \times 10^{-6}} = 17.0\text{ MPa} < [\sigma_c] = 60\text{ MPa}$$

## 六、弯曲变形



# 本章复习

## 1、挠度与转角的关系

$$\theta \approx \tan\theta = \frac{dw}{dx} = w'$$

## 2、积分法

$$\theta = w' = \frac{1}{EI_z} \int M(x) dx + C \quad (1) \text{ 位移边界条件}$$

$$w = \frac{1}{EI_z} \int M(x) dx dx + Cx + D \quad (2) \text{ 光滑连续条件}$$

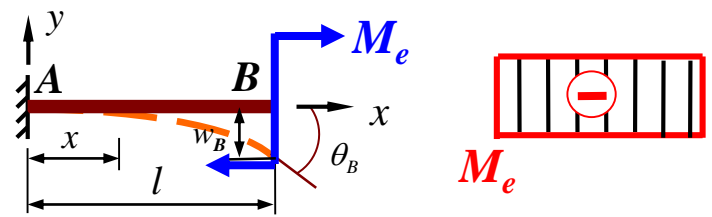
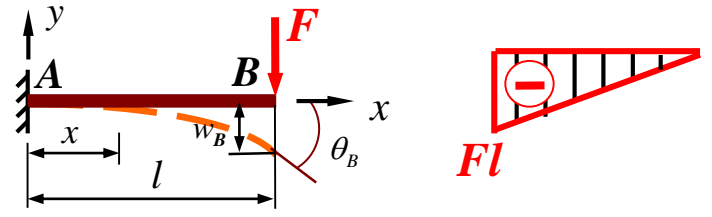
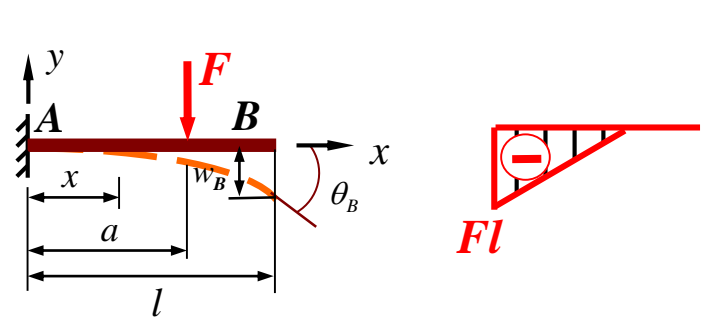
## 3、叠加原理与叠加法

$$w = \sum_{i=1}^n w_i \quad \theta = \sum_{i=1}^n \theta_i$$

当梁上同时作用几个载荷时，各个载荷所引起的变形是各自独立的，互不影响。

## §6.3 用积分法求弯曲变形

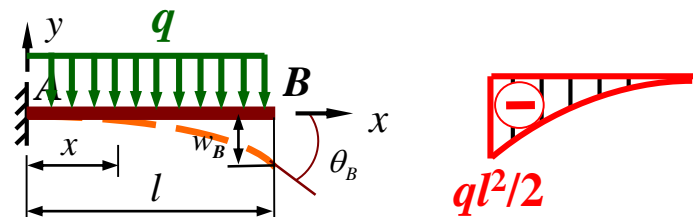
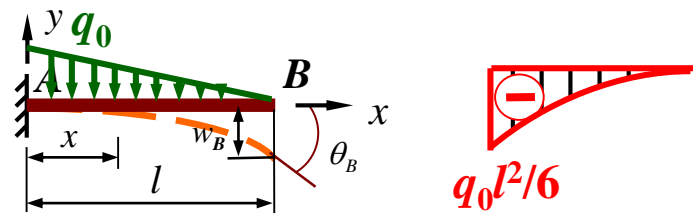
### 5、简单载荷下梁的挠度与转角 (P195表6.1)

序号	梁上载荷及弯矩图	挠曲线方程	最大转角与挠度
1		$w = \frac{M_e x^2}{2EI}$	$\theta_B = \frac{M_e l}{EI}$ $w_B = \frac{M_e l^2}{2EI}$
2		$w = \frac{Fx^2}{6EI}(3l - x)$	$\theta_B = \frac{Fl^2}{2EI}$ $w_B = \frac{Fl^3}{3EI}$
3		$w = \frac{Fx^2}{6EI}(3a - x) \quad (0 \leq x \leq a)$ $w = \frac{Fx^2}{6EI}(3x - a) \quad (a \leq x \leq l)$	$\theta_B = \frac{Fa^2}{2EI}$ $w_B = \frac{Fa^2}{6EI}(3l - a)$

悬臂梁

## §6.3 用积分法求弯曲变形

### 5、简单载荷下梁的挠度与转角 (P195表6.1)

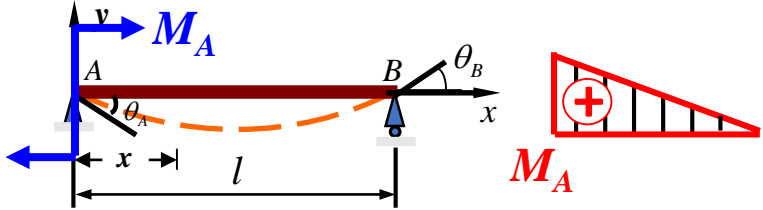
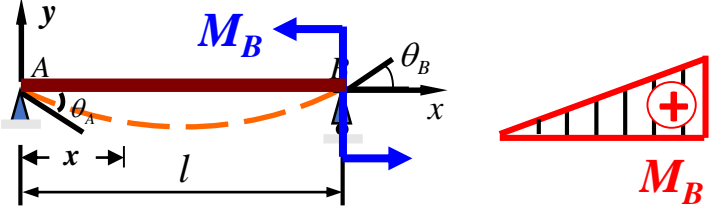
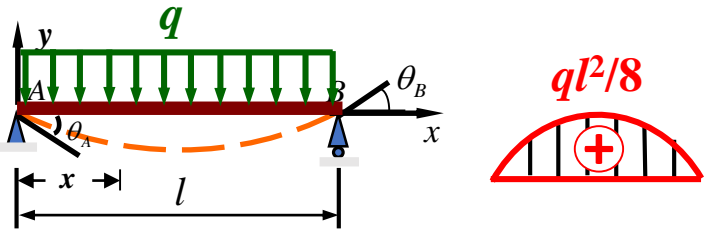
序号	梁上载荷及弯矩图	挠曲线方程	最大转角与挠度
4		$w = \frac{qx^2}{24EI} (x^2 + 6l^2 - 4lx)$	$\theta_B = \frac{ql^3}{6EI}$ $w_B = \frac{ql^4}{8EI}$
5		$w = \frac{q_0 x^2}{120EI} (10l^3 - 10l^2 x + 5lx^2 - x^3)$	$\theta_B = \frac{q_0 l^3}{24EI}$ $w_B = \frac{q_0 l^4}{30EI}$

悬臂梁



## §6.3 用积分法求弯曲变形

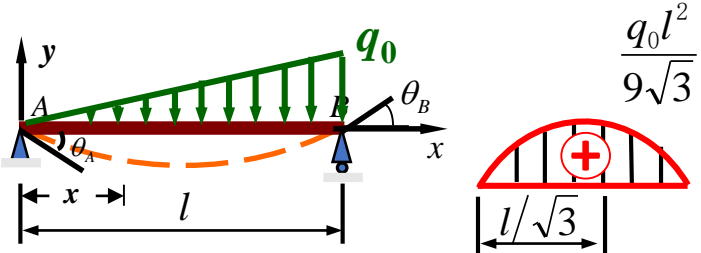
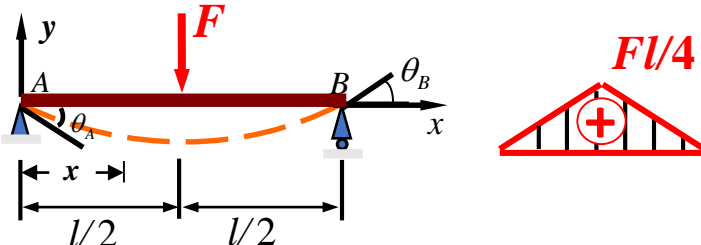
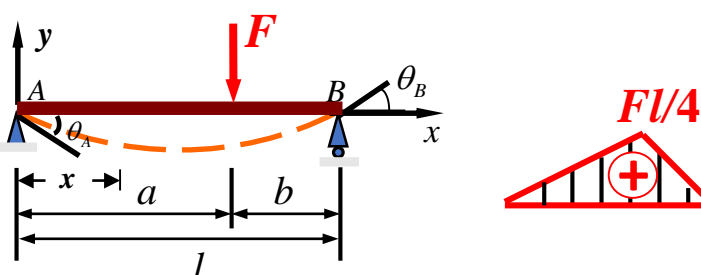
### 5、简单载荷下梁的挠度与转角 (P195表6.1)

序号	梁上载荷及弯矩图	挠曲线方程	最大转角与挠度
1		$w = \frac{M_A x}{2EI} (l - x)(2l - x)$	$\theta_A = \frac{M_A l}{3EI}$ $\theta_B = -\frac{M_A l}{6EI}$ $w_C = \frac{M_A l^2}{16EI}$
2		$w = \frac{M_B x}{6EI} (l^2 - x^2)$	$\theta_A = \frac{M_B l}{6EI}$ $\theta_B = -\frac{M_B l}{3EI}$ $w_C = \frac{M_B l^2}{16EI}$
3		$w = \frac{qx}{24EI} (l^3 - 2lx^2 + x^3)$	$\theta_A = \frac{ql^3}{24EI}$ $\theta_B = -\frac{ql^3}{24EI}$ $w_C = \frac{5ql^4}{384EI}$

简支梁

## §6.3 用积分法求弯曲变形

### 5、简单载荷下梁的挠度与转角 (P195表6.1)

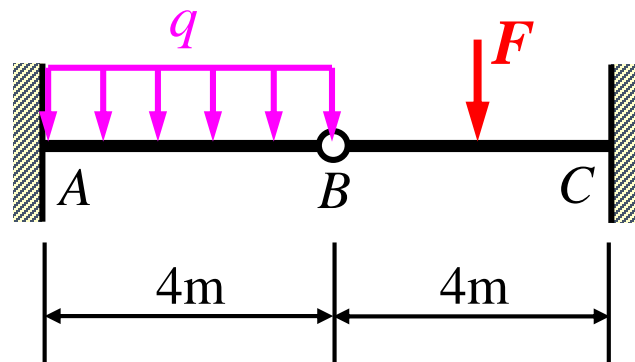
序号	梁上载荷及弯矩图	挠曲线方程	最大转角与挠度
4		$w = \frac{q_0 x}{360EI} (7l^4 - 10l^2 x^2 + 3x^4)$	$\theta_A = \frac{7q_0 l^3}{360EI}$ $\theta_B = -\frac{q_0 l^3}{45EI}$ $w_C = \frac{5q_0 l^4}{768EI}$
5		$w = \frac{Fx}{48EI} (3l^2 - 4x^2)$ $\left( 0 \leq x \leq \frac{l}{2} \right)$	$\theta_A = \frac{Fl^2}{16EI}$ $\theta_B = -\frac{Fl^2}{16EI}$ $w_C = \frac{Fl^3}{48EI}$
6		$w = \frac{Fbx}{6EI} (l^2 - x^2 - b^2)$ $(0 \leq x \leq a)$ $w = \frac{Fbx}{6EI} \left[ \frac{l}{b} (x-a)^2 + (l^2 - b^2)x - x^3 \right]$ $(a \leq x \leq l)$	$\theta_A = \frac{Fab(l+b)}{6EI}$ $\theta_B = -\frac{Fab(l+a)}{6EI}$ $w_C = \frac{Fb(3l^2 - 4b^2)}{48EI}$ <p>(当 <math>a \geq b</math> 时)</p>

简支梁

## §6.5 简单超静定梁

### 例题7

梁AB和BC在B处铰接，A、C两端固定，梁的抗弯刚度均为 $EI$ ， $F=40\text{ kN}$ ， $q=20\text{ kN/m}$ 。画梁的剪力图和弯矩图。



解：(1) 从B处拆开，使超静定结构变成两个悬臂梁

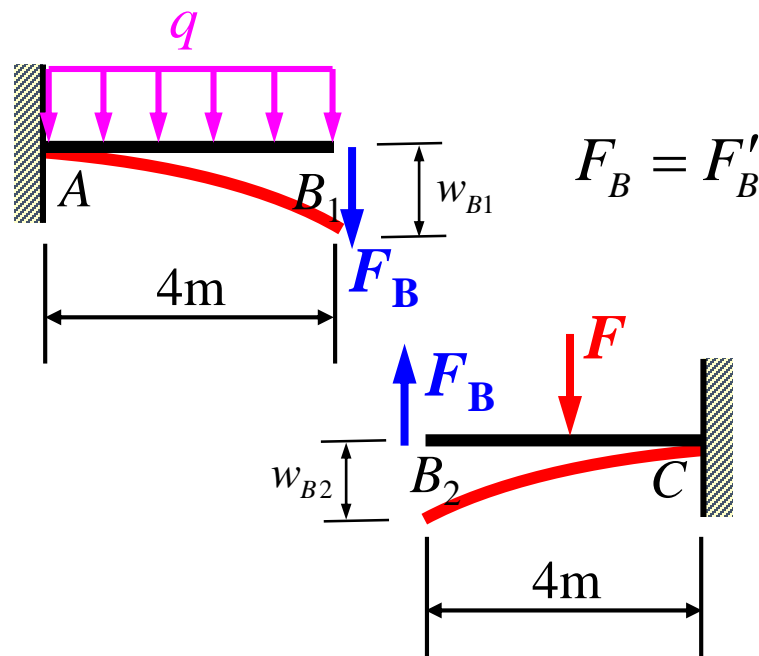
变形协调方程为：

$$w_{B1} = w_{B2}$$

(2) 物理关系为：

$$w_{B1} = \frac{q \times 4^4}{8EI} + \frac{F_B \times 4^3}{3EI}$$

$$w_{B2} = \frac{F \times 2^2}{6EI} (3 \times 4 - 2) - \frac{F_B \times 4^3}{3EI}$$



## §6.5 简单超静定梁

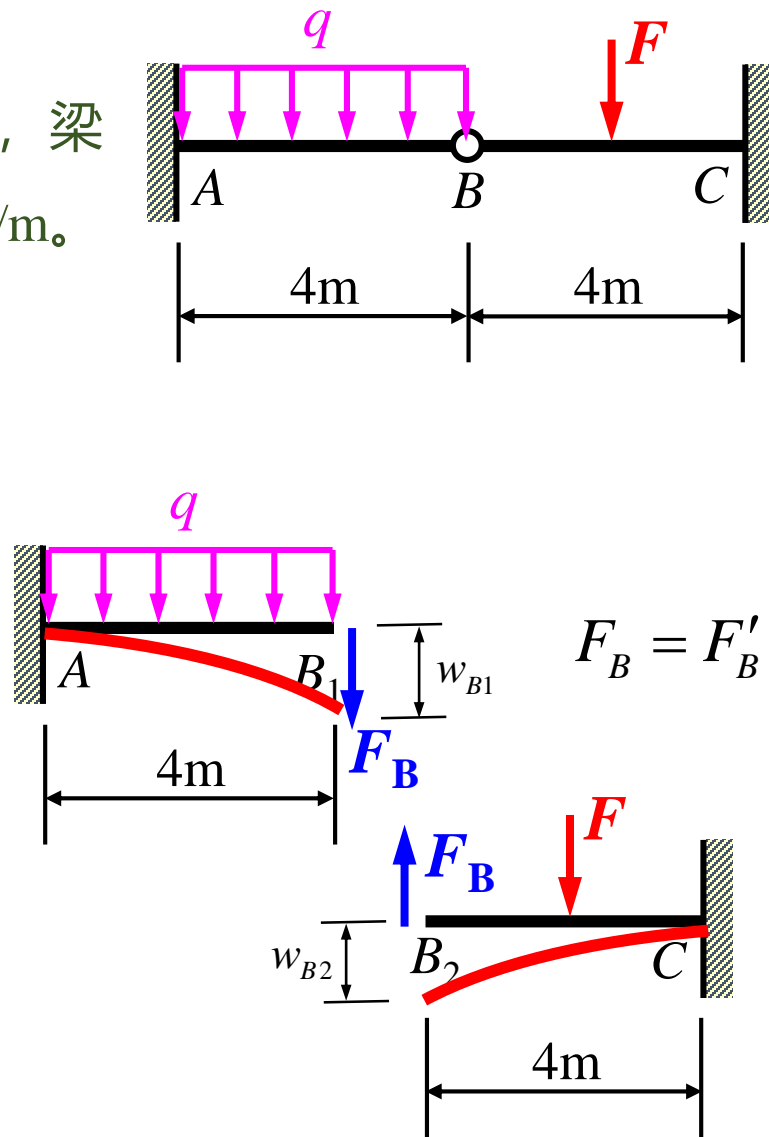
### 例题7

梁AB和BC在B处铰接，A、C两端固定，梁的抗弯刚度均为 $EI$ ， $F=40\text{ kN}$ ， $q=20\text{ kN/m}$ 。画梁的剪力图和弯矩图。

解：(3) 得补充方程

$$\frac{q \times 4^4}{8EI} + \frac{F_B \times 4^3}{3EI} = \frac{F \times 2^2}{6EI} (3 \times 4 - 2) - \frac{F_B \times 4^3}{3EI}$$

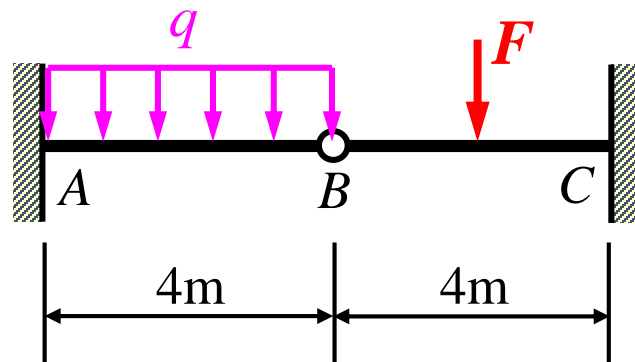
$$F_B = \frac{3}{2} \left( \frac{40 \times 10}{6 \times 4^2} - \frac{20 \times 4^4}{8 \times 4^3} \right) = -8.75\text{ kN}$$



## §6.5 简单超静定梁

### 例题7

梁AB和BC在B处铰接，A、C两端固定，梁的抗弯刚度均为 $EI$ ， $F=40$  kN， $q=20$  kN/m。画梁的剪力图和弯矩图。



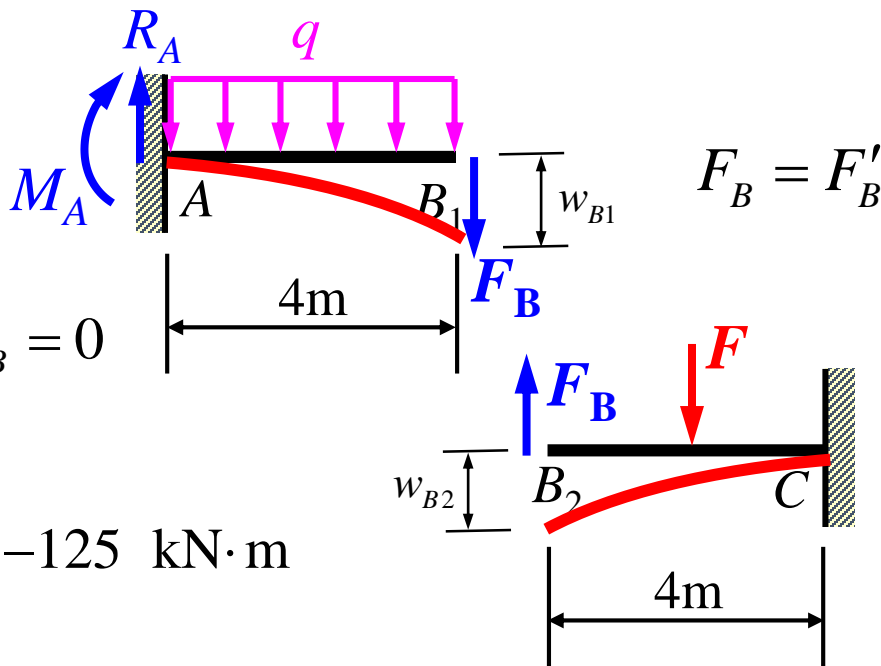
解：(4) 确定A端约束力

$$\sum F_y = 0, \quad R_A - F_B - 4q = 0$$

$$R_A = 4q + F_B = 4 \times 20 - 8.75 \\ = 71.25 \text{ kN}$$

$$\sum M_A = 0, \quad M_A + 4q \times 2 + 4F_B = 0$$

$$M_A = -4q \times 2 - 4F_B \\ = -4 \times 20 \times 2 - 4 \times (-8.75) = -125 \text{ kN} \cdot \text{m}$$



## §6.5 简单超静定梁

### 例题7

梁AB和BC在B处铰接，A、C两端固定，梁的抗弯刚度均为 $EI$ ， $F=40\text{ kN}$ ， $q=20\text{ kN/m}$ 。画梁的剪力图和弯矩图。

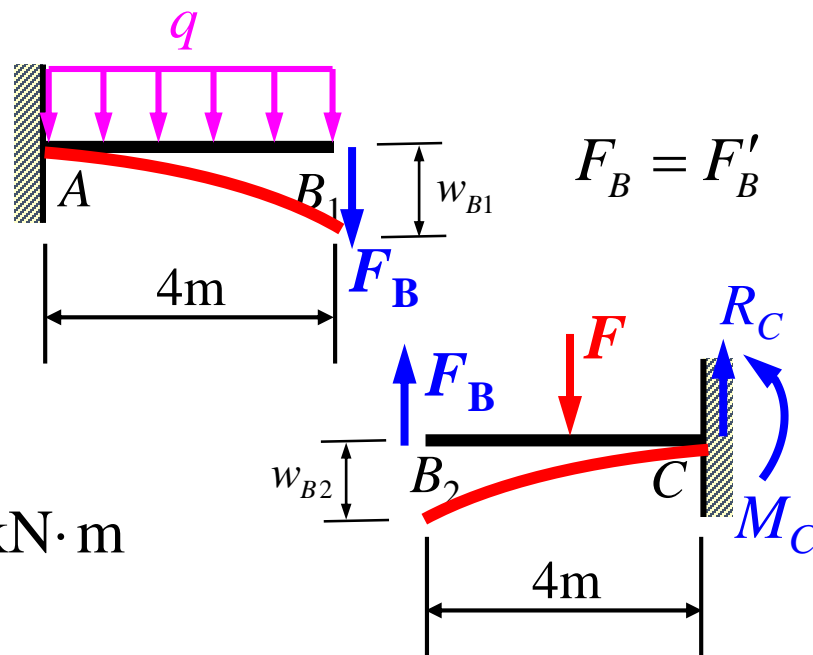
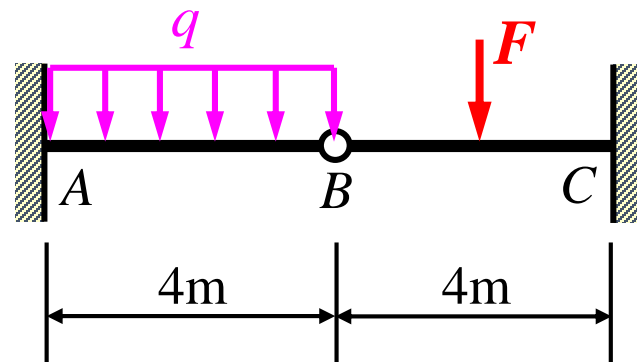
解：(5) 确定C端约束力

$$\sum F_y = 0, \quad F_B + R_C - F = 0$$

$$R_C = F - F_B = 40 - (-8.75) \\ = 48.75\text{ kN}$$

$$\sum M_C = 0, \quad M_C + 2F - 4F_B = 0$$

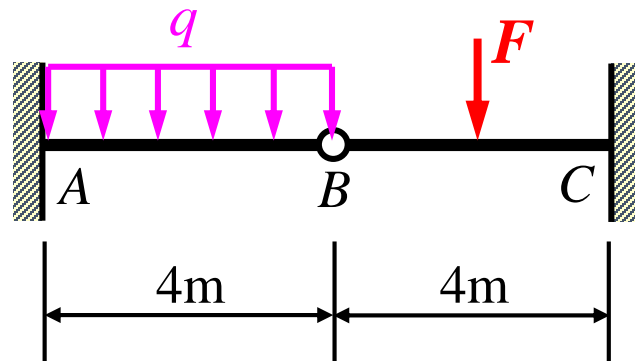
$$M_C = 4F_B - 2F \\ = 4 \times (-8.75) - 2 \times 40 = -115\text{ kN}\cdot\text{m}$$



## §6.5 简单超静定梁

### 例题7

梁AB和BC在B处铰接，A、C两端固定，梁的抗弯刚度均为 $EI$ ， $F=40\text{ kN}$ ， $q=20\text{ kN/m}$ 。画梁的剪力图和弯矩图。



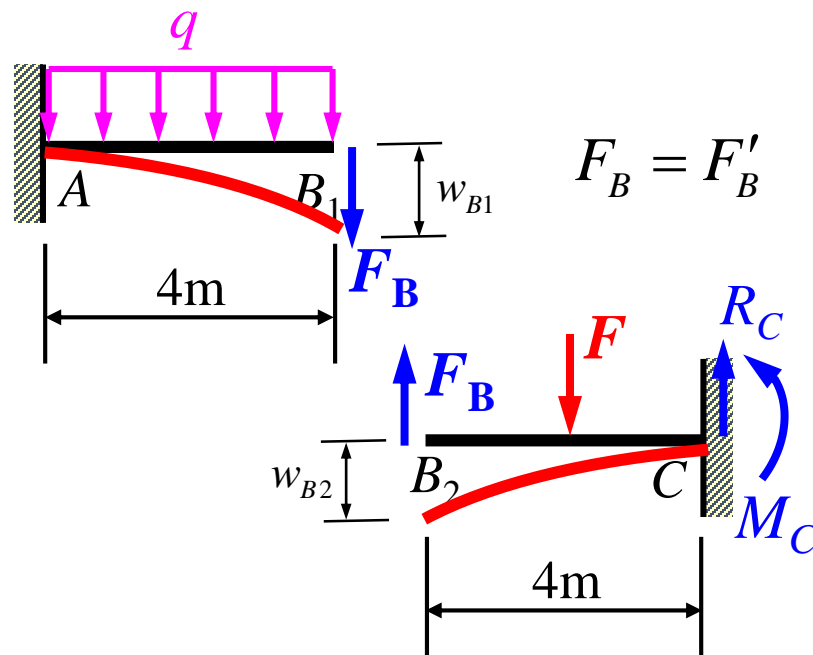
解：(6) A、C端的约束力已求出

$$R_A = 71.25\text{ kN}(\uparrow)$$

$$M_A = 125\text{ kN}\cdot\text{m}(\curvearrowright)$$

$$R_C = 48.75\text{ kN}(\uparrow)$$

$$M_C = 115\text{ kN}\cdot\text{m}(\curvearrowright)$$

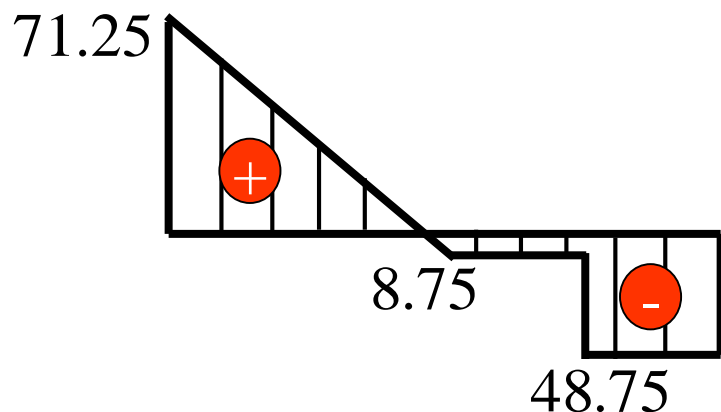
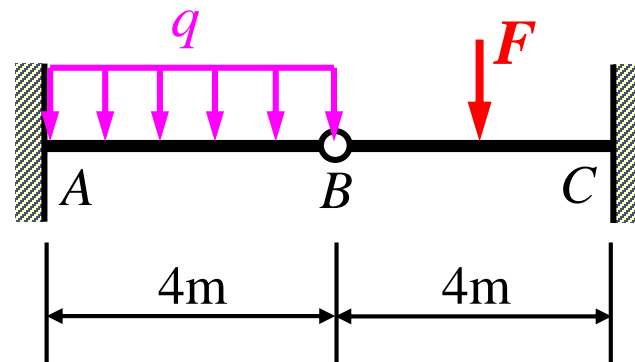


## §6.5 简单超静定梁

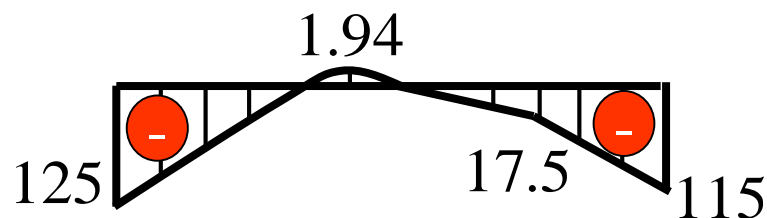
### 例题7

梁AB和BC在B处铰接，A、C两端固定，梁的抗弯刚度均为 $EI$ ， $F=40\text{ kN}$ ， $q=20\text{ kN/m}$ 。画梁的剪力图和弯矩图。

解：(7) 作出梁的剪力图和弯矩图



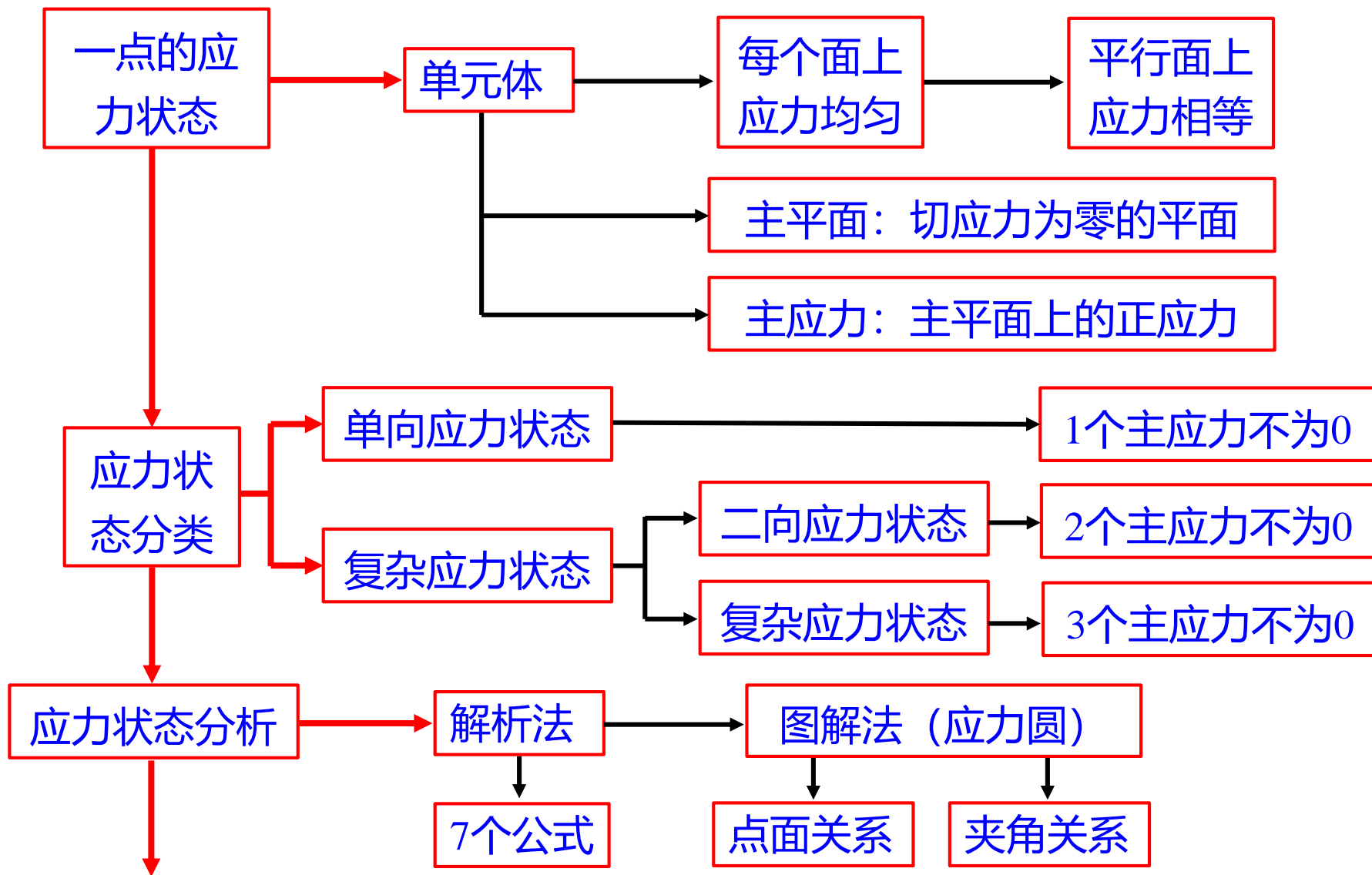
剪力图



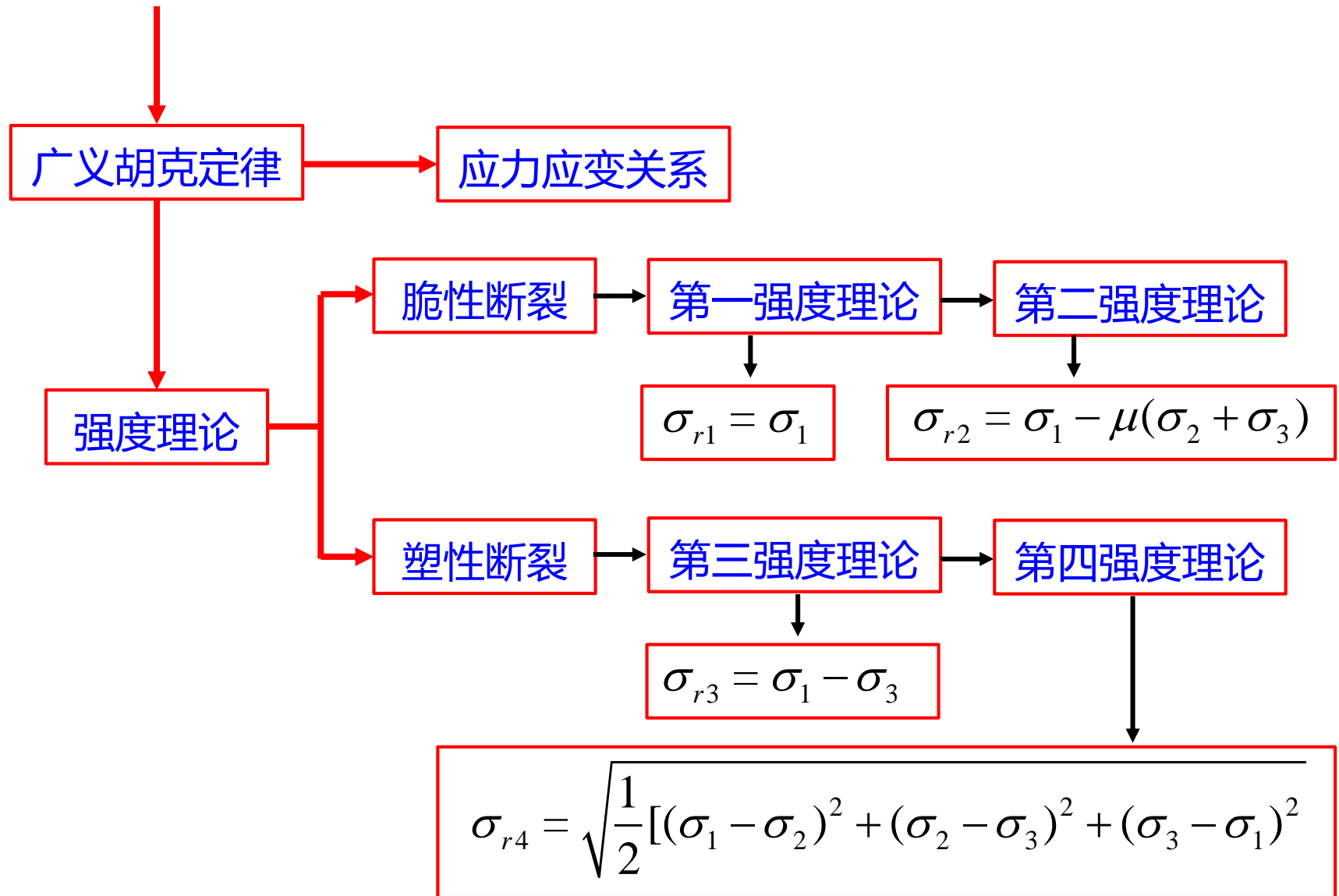
弯矩图



## 七、应力和应变分析、强度理论



## 七、应力和应变分析、强度理论

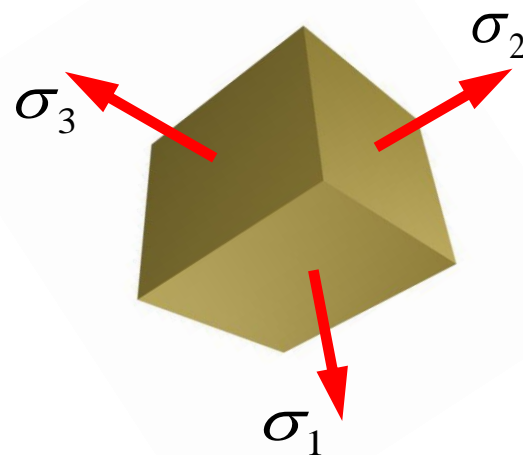
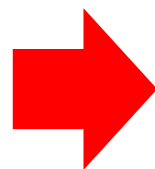
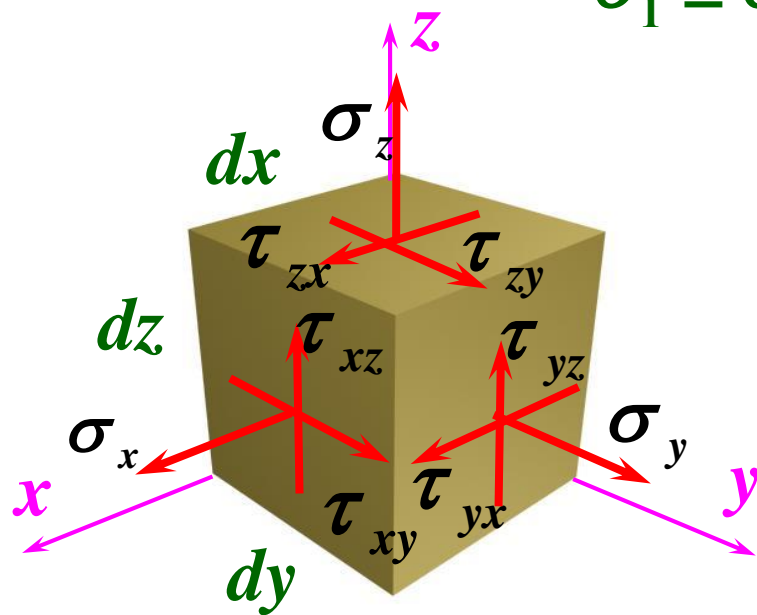


# 本章复习

## 3、单元体、主单元体、主平面、主应力。

一点处必定存在这样的一个主应力单元体，其中三个相互垂直的面均为主平面，三个互相垂直的主应力分别记为 $\sigma_1$ 、 $\sigma_2$ 、 $\sigma_3$ 且规定按代数值大小的顺序来排列，即

$$\sigma_1 \geq \sigma_2 \geq \sigma_3$$



主应力单元体

# 本章复习

## 5、任意斜截面的应力

$$\sigma_{\alpha} = \frac{\sigma_x + \sigma_y}{2} + \frac{\sigma_x - \sigma_y}{2} \cos 2\alpha - \tau_{xy} \sin 2\alpha \quad \tau_{\alpha} = \frac{\sigma_x - \sigma_y}{2} \sin 2\alpha + \tau_{xy} \cos 2\alpha$$

## 6、最大正应力的方位

$$\tan 2\alpha_0 = -\frac{2\tau_{xy}}{\sigma_x - \sigma_y} \quad \rightarrow \quad \begin{cases} \alpha_0 \\ \alpha_0 + 90^\circ \end{cases}$$

## 7、最大正应力

$$\begin{cases} \sigma_{\max} \\ \sigma_{\min} \end{cases} = \frac{\sigma_x + \sigma_y}{2} \pm \sqrt{\left(\frac{\sigma_x - \sigma_y}{2}\right)^2 + \tau_{xy}^2}$$

## 8、最大切应力的方位

$$\tan 2\alpha_1 = \frac{\sigma_x - \sigma_y}{2\tau_{xy}} \quad \rightarrow \quad \begin{cases} \alpha_1 \\ \alpha_1 + 90^\circ \end{cases}$$

# 本章复习

## 9、最大切应力

$$\begin{cases} \tau_{\max} \\ \tau_{\min} \end{cases} = \pm \sqrt{\left(\frac{\sigma_x - \sigma_y}{2}\right)^2 + \tau_{xy}^2}$$

## 10、应力圆（莫尔圆）

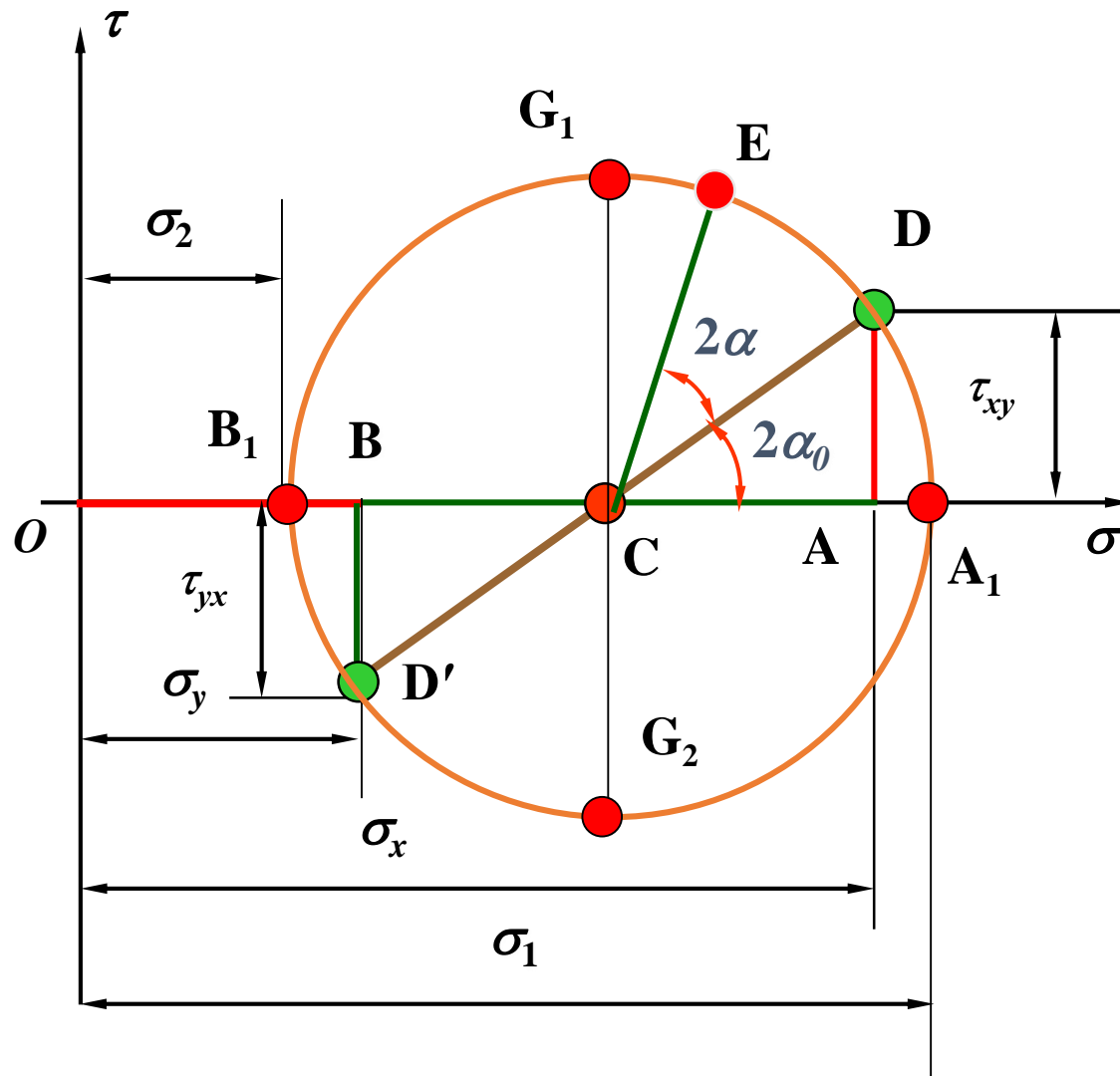
$$\left(\sigma_\alpha - \frac{\sigma_x + \sigma_y}{2}\right)^2 + \tau_\alpha^2 = \left(\frac{\sigma_x - \sigma_y}{2}\right)^2 + \tau_{xy}^2$$

圆心的坐标  $C\left(\frac{\sigma_x + \sigma_y}{2}, 0\right)$

圆的半径  $R = \sqrt{\left(\frac{\sigma_x - \sigma_y}{2}\right)^2 + \tau_{xy}^2}$

# 本章复习

## 11、应力圆的画法及应用



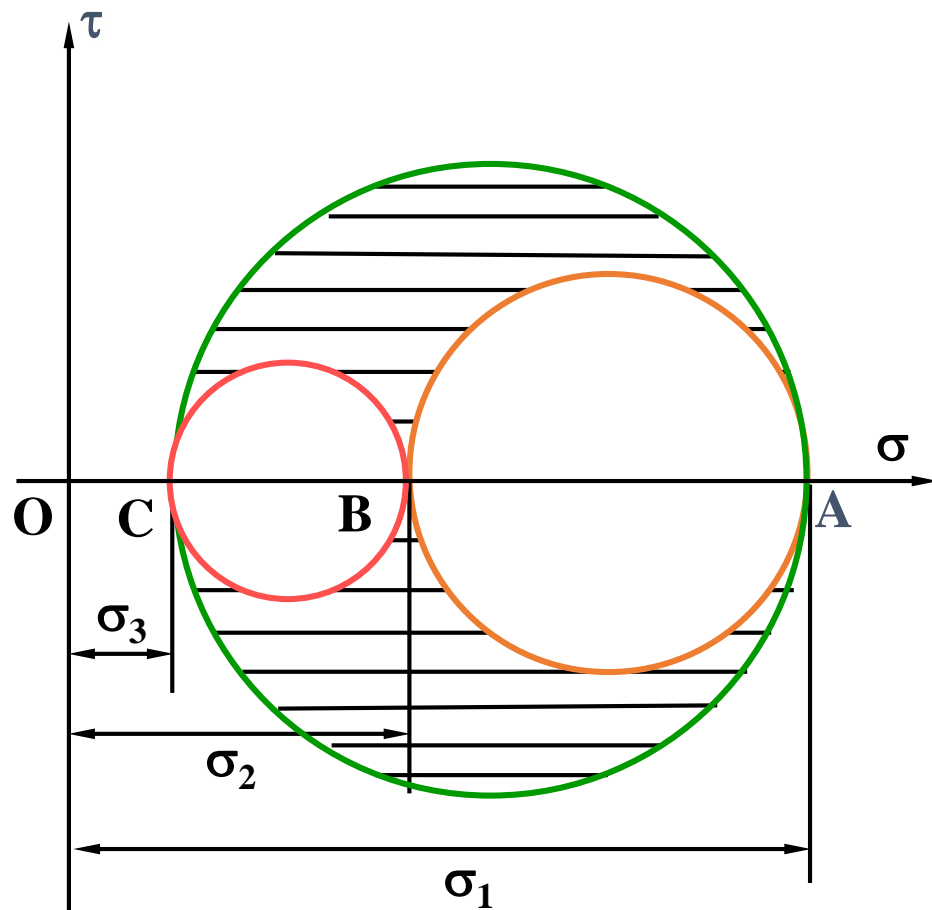
# 本章复习

## 12、三向应力状态

三个应力圆圆周上的点及由它们围成的阴影部分上的点的坐标代表了空间应力状态下所有截面上的应力。

该点处的最大正应力（指代数值）应等于最大应力圆上A点的横坐标  $\sigma_1$ 。

$$\sigma_{\max} = \sigma_1$$



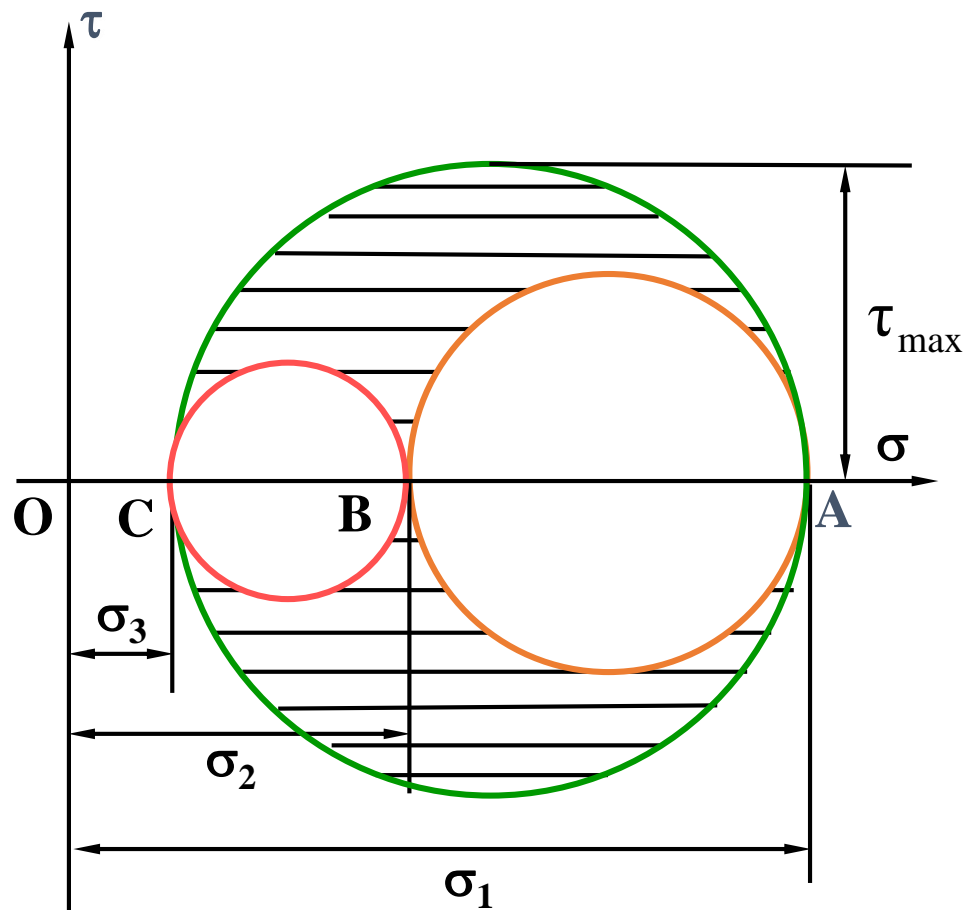
# 本章复习

## 12、三向应力状态

最大切应力则等于最大的应力圆的半径

$$\tau_{\max} = \frac{1}{2}(\sigma_1 - \sigma_3)$$

最大切应力所在的截面与 $\sigma_2$ 所在的主平面垂直，并与 $\sigma_1$ 和 $\sigma_3$ 所在的主平面成 $45^\circ$ 角。





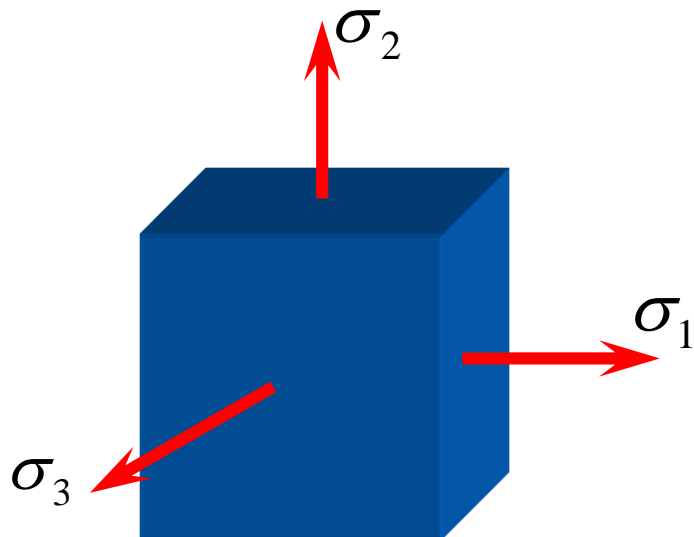
# 本章复习

## 13、广义胡克定律（主应力）

$$\varepsilon_1 = \frac{1}{E} [\sigma_1 - \mu(\sigma_2 + \sigma_3)]$$

$$\varepsilon_2 = \frac{1}{E} [\sigma_2 - \mu(\sigma_3 + \sigma_1)]$$

$$\varepsilon_3 = \frac{1}{E} [\sigma_3 - \mu(\sigma_1 + \sigma_2)]$$



材料为各向同性，且变形处于线弹性范围。

# 本章复习

## 21、材料破坏（失效）的两种类型：断裂与屈服

脆性材料：断裂，破坏极限  $\sigma_b$

塑性材料：屈服，破坏极限  $\sigma_s$

## 22、四个强度理论

➤ 第一类强度理论：以脆断作为破坏的标志。

包括：最大拉应力理论和最大伸长线应变理论。

➤ 第二类强度理论：以出现屈服现象作为破坏的标志。

包括：最大切应力理论和畸变能密度理论。

# 本章复习

## 23、最大拉应力理论（第一强度理论）

$$\sigma_1 \leq [\sigma] \quad (\text{脆性材料})$$

## 24、最大伸长线应变理论（第二强度理论）

$$\sigma_1 - \mu(\sigma_2 + \sigma_3) \leq [\sigma] \quad (\text{脆性材料})$$

## 25、最大切应力理论（第三强度理论）

$$\sigma_1 - \sigma_3 \leq [\sigma] \quad (\text{塑性材料})$$

## 26、畸变能密度理论（第四强度理论）

$$\sqrt{\frac{1}{2}[(\sigma_1 - \sigma_2)^2 + (\sigma_2 - \sigma_3)^2 + (\sigma_3 - \sigma_1)^2]} \leq \frac{\sigma_s}{n_s} = [\sigma]$$

(塑性材料)

# 本章复习

## 27、相当应力

把各种强度理论的强度条件写成统一形式

$$\sigma_r \leq [\sigma]$$

$\sigma_r$ 称为复杂应力状态的相当应力.

$$\sigma_{r1} = \sigma_1$$

$$\sigma_{r2} = \sigma_1 - \mu(\sigma_2 + \sigma_3)$$

$$\sigma_{r3} = \sigma_1 - \sigma_3$$

$$\sigma_{r4} = \sqrt{\frac{1}{2}[(\sigma_1 - \sigma_2)^2 + (\sigma_2 - \sigma_3)^2 + (\sigma_3 - \sigma_1)^2]}$$

## §7.4 二向应力状态分析——图解法

### 例题7.6

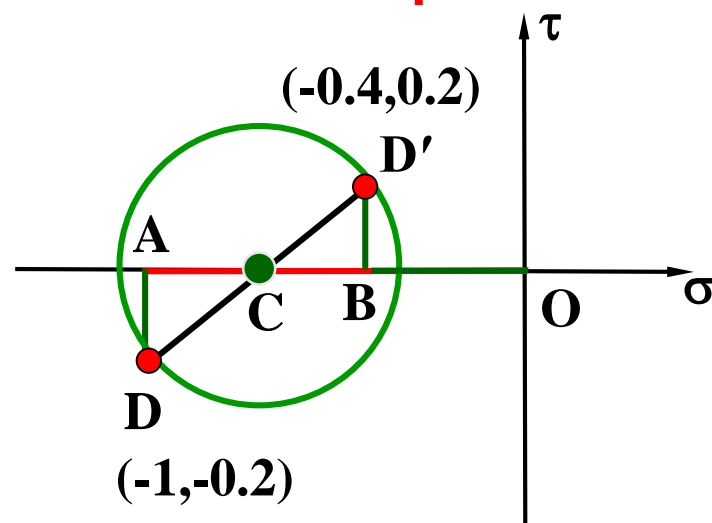
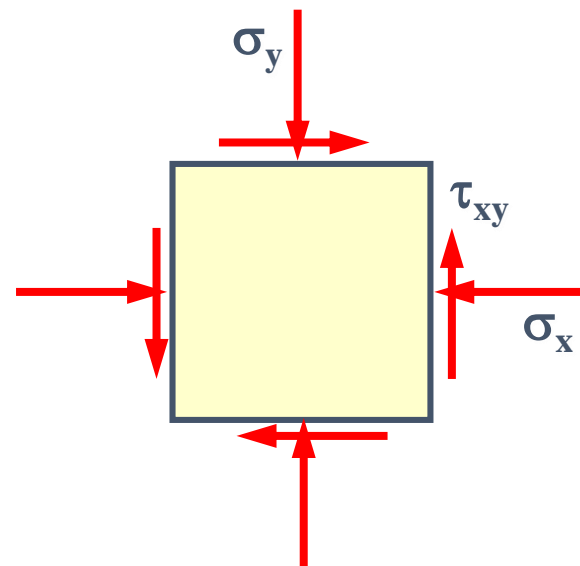
从水坝体内某点处取出的单元体如图所示,  $\sigma_x = -1 \text{ MPa}$ ,  $\sigma_y = -0.4 \text{ MPa}$ ,  $\tau_{xy} = -0.2 \text{ MPa}$ ,  $\tau_{yx} = 0.2 \text{ MPa}$ , 求: (1) 绘出相应的应力圆; (2) 确定此单元体在  $\alpha = 30^\circ$  和  $\alpha = -40^\circ$  两斜面上的应力。

解: (1) 画应力圆

量取  $OA = \sigma_x = -1$ ,  $AD = \tau_{xy} = -0.2$ , 定出 D 点;

量取  $OB = \sigma_y = -0.4$ ,  $BD' = \tau_{yx} = 0.2$ , 定出 D' 点。

以  $DD'$  为直径绘出的圆即为应力圆。



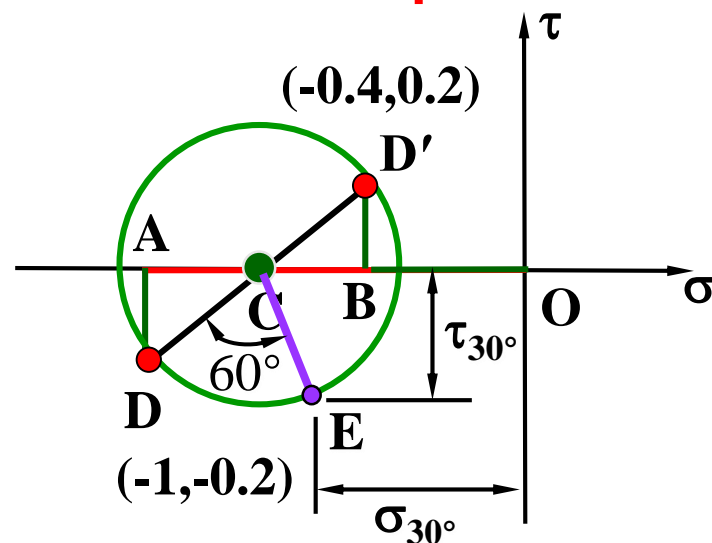
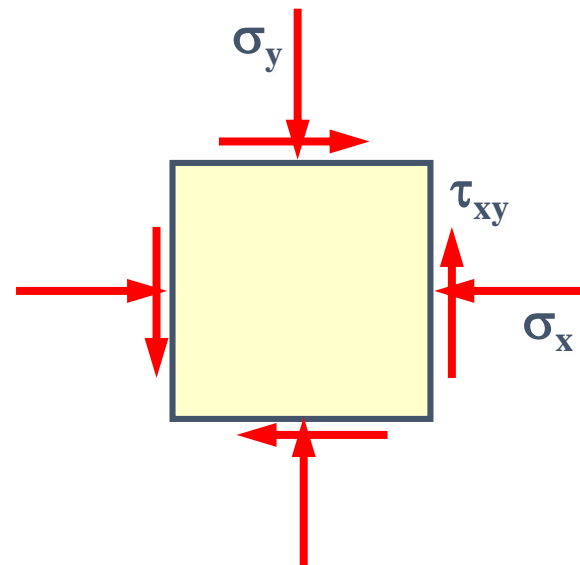
## §7.4 二向应力状态分析——图解法

### 例题7.6

从水坝体内某点处取出的单元体如图所示，  
 $\sigma_x = -1 \text{ MPa}$ ， $\sigma_y = -0.4 \text{ MPa}$ ， $\tau_{xy} = -0.2 \text{ MPa}$ ， $\tau_{yx} = 0.2 \text{ MPa}$ ，求：(1)绘出相应的应力圆；(2)确定此单元体在 $\alpha=30^\circ$ 和 $\alpha = -40^\circ$ 两斜面上的应力。

解：(2) 确定 $\alpha=30^\circ$ 斜截面上的应力

将半径CD逆时针转动 $2\alpha=60^\circ$ 到半径CE，E点的坐标就代表 $\alpha=30^\circ$ 斜截面上的应力。



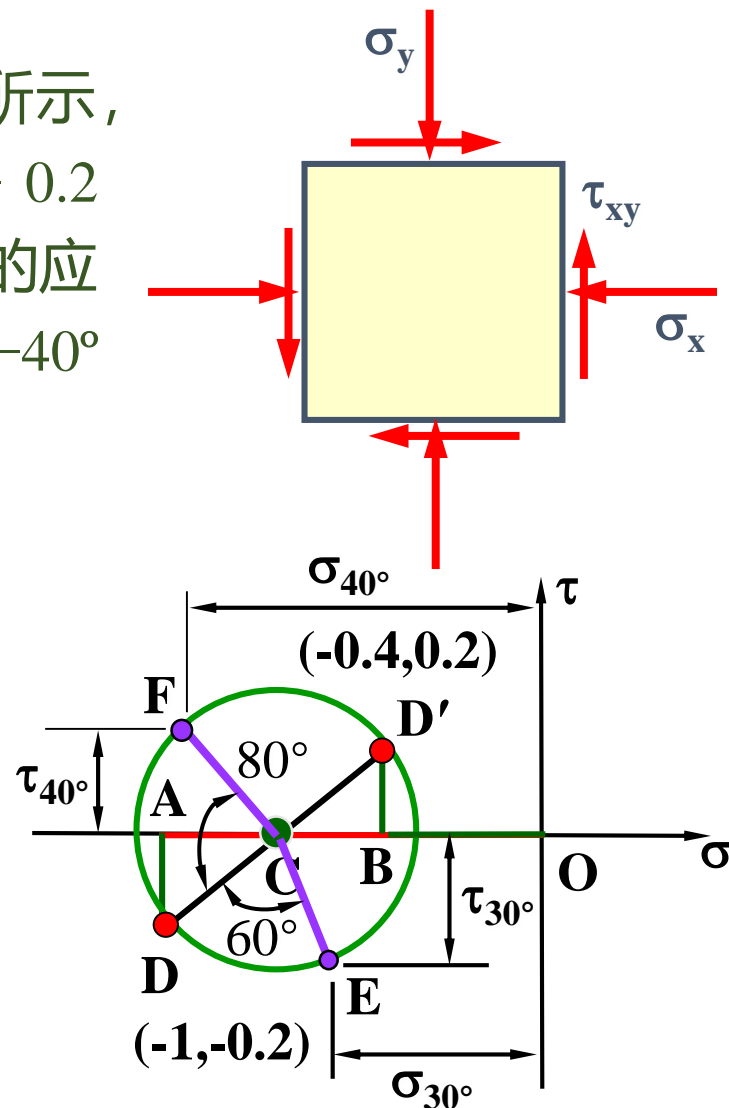
## §7.4 二向应力状态分析——图解法

### 例题7.6

从水坝体内某点处取出的单元体如图所示，  
 $\sigma_x = -1 \text{ MPa}$ ， $\sigma_y = -0.4 \text{ MPa}$ ， $\tau_{xy} = -0.2 \text{ MPa}$ ， $\tau_{yx} = 0.2 \text{ MPa}$ ，求：(1)绘出相应的应力圆；(2)确定此单元体在 $\alpha=30^\circ$ 和 $\alpha = -40^\circ$ 两斜面上的应力。

解：(3) 确定 $\alpha=-40^\circ$ 斜截面上的应力

将半径CD顺时针转动 $2\alpha=80^\circ$ 到半径CF，F点的坐标就代表 $\alpha=-40^\circ$ 斜截面上的应力。



## §7.4 二向应力状态分析——图解法

### 例题7.6

从水坝体内某点处取出的单元体如图所示，  
 $\sigma_x = -1 \text{ MPa}$ ， $\sigma_y = -0.4 \text{ MPa}$ ， $\tau_{xy} = -0.2 \text{ MPa}$ ， $\tau_{yx} = 0.2 \text{ MPa}$ ，求：(1)绘出相应的应力圆；(2)确定此单元体在 $\alpha=30^\circ$ 和 $\alpha = -40^\circ$ 两斜面上的应力。

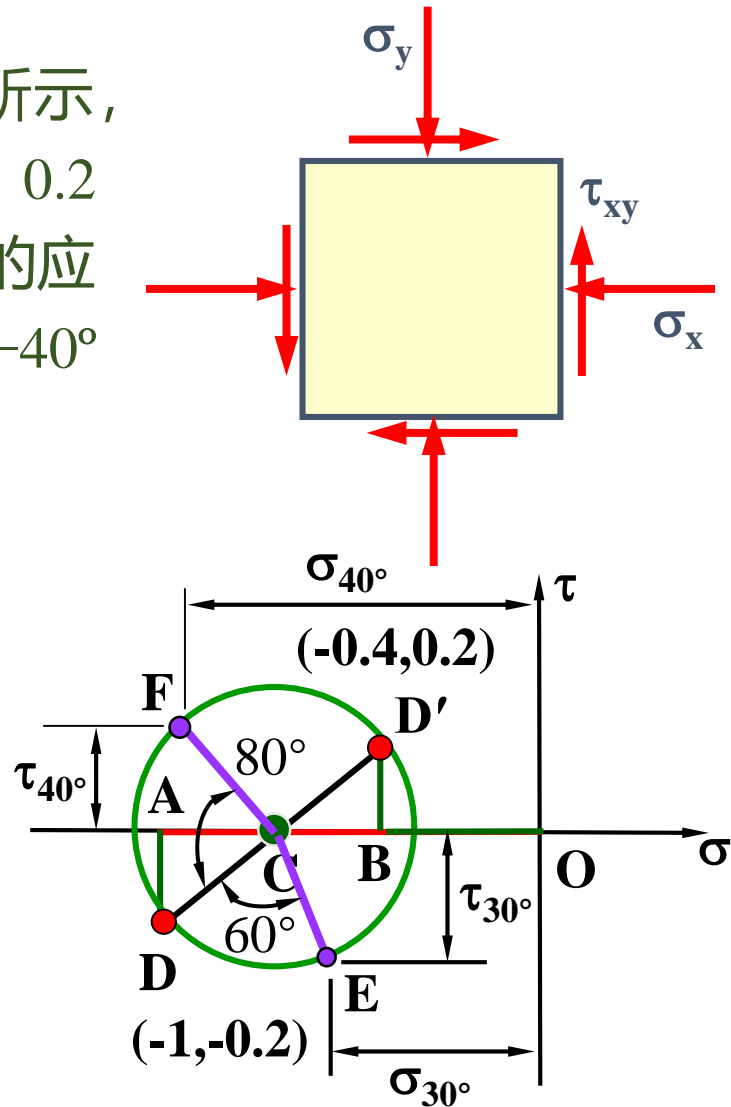
解：(4)

$$\sigma_{30^\circ} = -0.68 \text{ MPa}$$

**$\tau_{30^\circ} = -0.36 \text{ MPa}$**

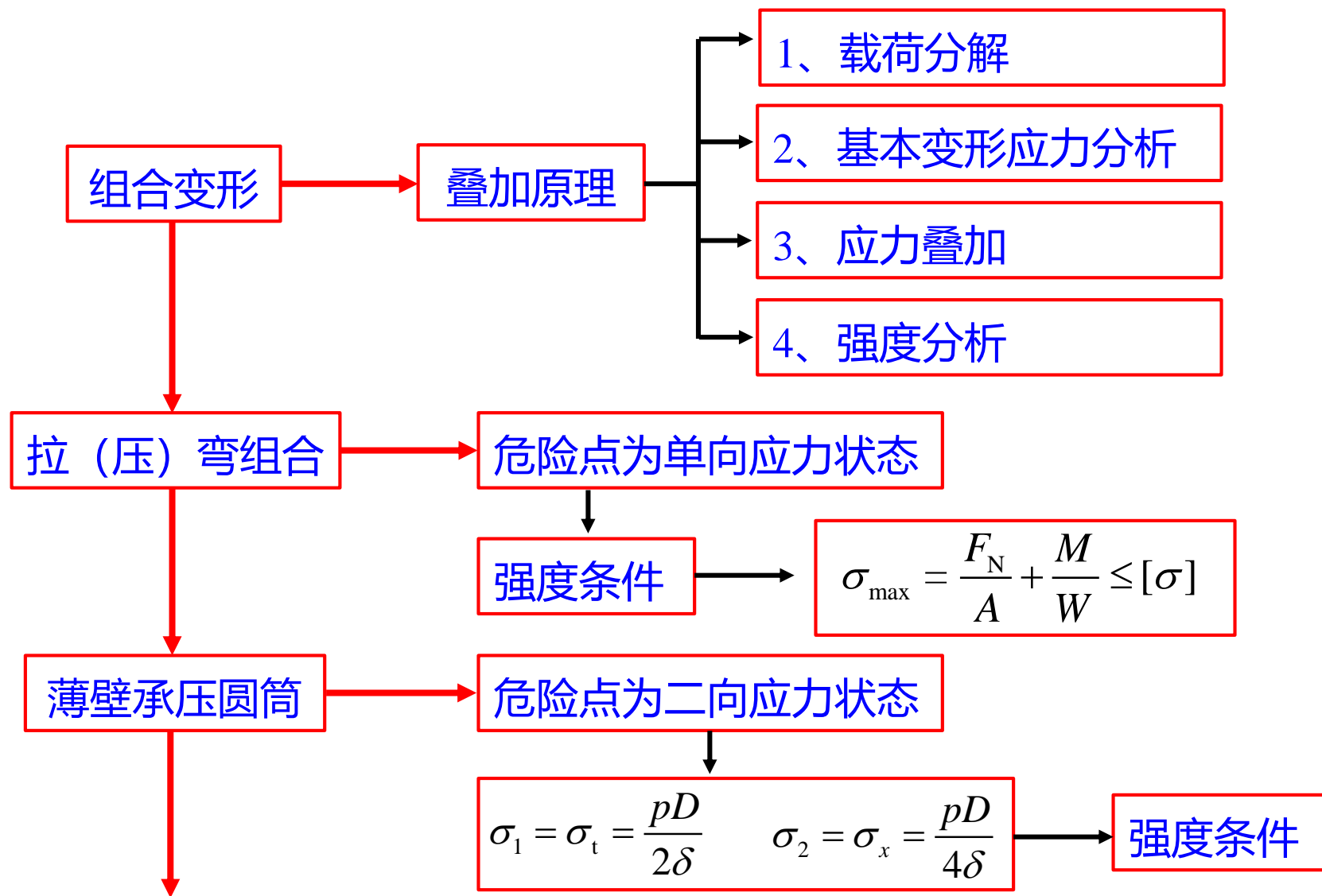
$$\sigma_{-40^\circ} = -0.95 \text{ MPa}$$

$$\tau_{-40^\circ} = -0.26 \text{ MPa}$$

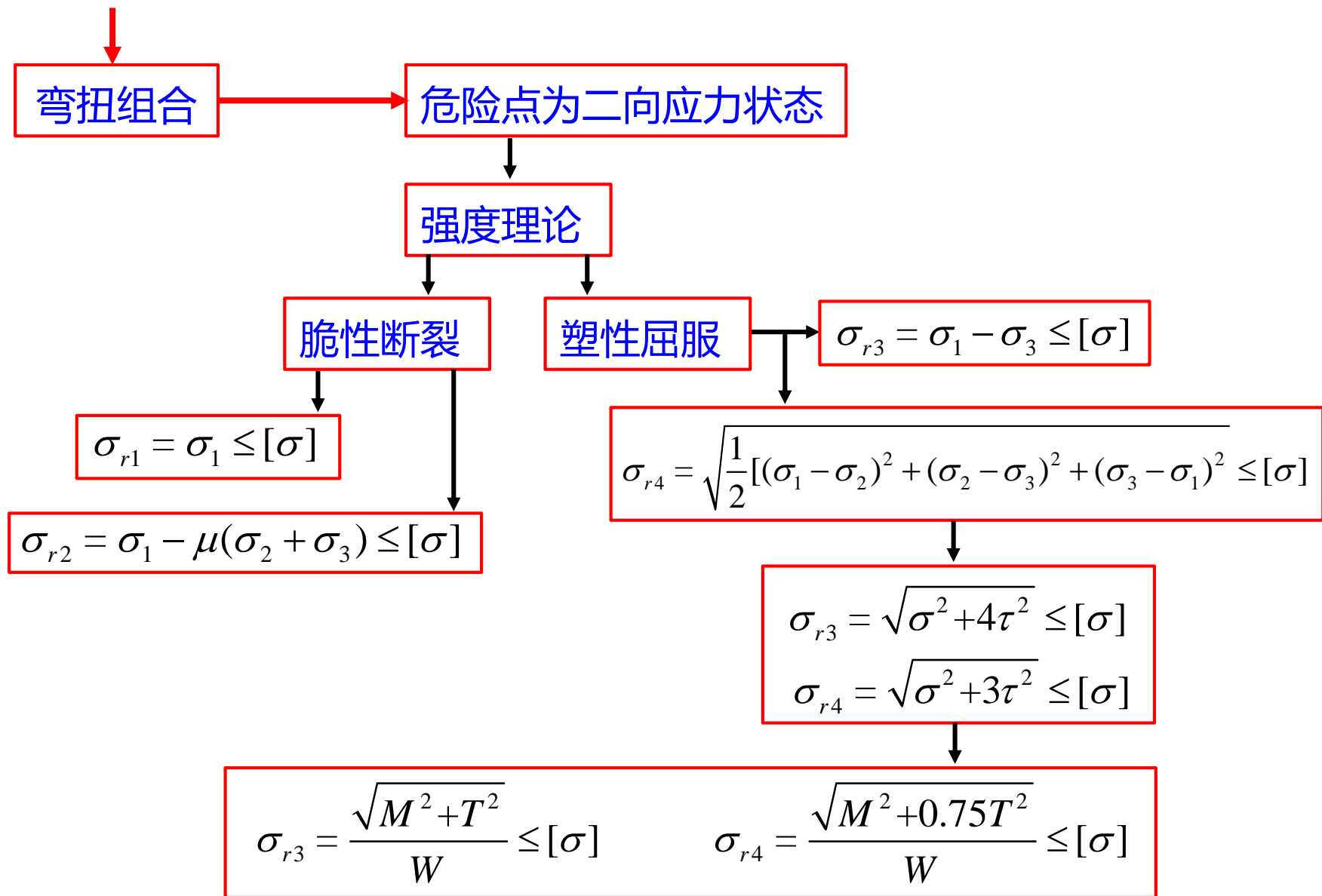




## 八、组合变形



## 八、组合变形



# 本章复习

- 1、构件在荷载作用下发生两种或两种以上的基本变形, 则构件的变形称为组合变形。
- 2、处理组合变形的的基本方法: 叠加法
- 3、拉弯组合: 作用在杆件上的外力既有轴向拉( 压 )力, 还有横向力, 杆件将发生拉伸 (压缩) 与弯曲组合变形。
- 4、应力分析

横截面上任意一点(z, y)处的正应力计算公式为:

$$\sigma = \sigma_N + \sigma_M = \frac{F_N}{A} + \frac{M_z \cdot y}{I_z}$$

$$\sigma_{\max} \leq [\sigma]$$

# 本章复习

## 5、弯扭组合

$$\sigma_{r3} = \sigma_1 - \sigma_3 = \sqrt{\sigma^2 + 4\tau^2}$$

$$\sigma_{r4} = \sqrt{\sigma^2 + 3\tau^2}$$

$\sigma$  是危险点的正应力,  $\tau$  是危险点的切应力

- 该公式适用于塑性材料的平面应力状态, 且横截面不限于圆形截面;
- 该公式适用于弯+扭组合变形、拉(压)+扭转的组合变形、以及拉(压)+扭转+弯曲的组合变形;
- 切应力的方向可以不用考虑。

# 本章复习

## 5、弯扭组合

$$\sigma_{r3} = \frac{1}{W} \sqrt{M^2 + T^2} \leq [\sigma]$$

$$\sigma_{r4} = \frac{1}{W} \sqrt{M^2 + 0.75T^2} \leq [\sigma]$$

$W$ 为抗弯截面系数， $M$ 、 $T$ 为轴危险截面的弯矩和扭矩。

➤ 该公式仅适用于塑性材料发生弯+扭组合变形时，且其截面为实心圆截面或空心圆截面。

$$W = \frac{\pi d^3}{32}$$

$$W = \frac{\pi D^3}{32} (1 - \alpha^4)$$

# 本章复习

## 6、弯拉（压）扭组合

$$\sigma_{r3} = \sqrt{(\sigma_M + \sigma_N)^2 + 4\tau_T^2} \leq [\sigma]$$

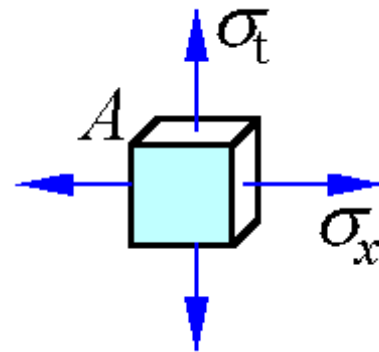
$$\sigma_{r4} = \sqrt{(\sigma_M + \sigma_N)^2 + 3\tau_T^2} \leq [\sigma]$$

## 7、薄壁圆筒的应力与强度分析 $\delta \leq D/20$

轴向应力  $\sigma_x = \frac{pD}{4\delta}$       周向应力  $\sigma_t = \frac{pD}{2\delta}$

$$\sigma_1 = \sigma_t = \frac{pD}{2\delta} \quad \sigma_2 = \sigma_x = \frac{pD}{4\delta}$$

$$\sigma_3 = 0$$



# 本章复习

## 6、弯拉（压）扭组合

$$\sigma_{r3} = \sqrt{(\sigma_M + \sigma_N)^2 + 4\tau_T^2} \leq [\sigma]$$

$$\sigma_{r4} = \sqrt{(\sigma_M + \sigma_N)^2 + 3\tau_T^2} \leq [\sigma]$$

## 7、薄壁圆筒的应力与强度分析 $\delta \leq D/20$

对于脆性材料

$$\sigma_{r1} = \frac{pD}{2\delta} \leq [\sigma]$$

$$\sigma_{r2} = \frac{pD}{4\delta} (2 - \mu) \leq [\sigma]$$

对于塑性材料

$$\sigma_{r3} = \frac{pD}{2\delta} \leq [\sigma]$$

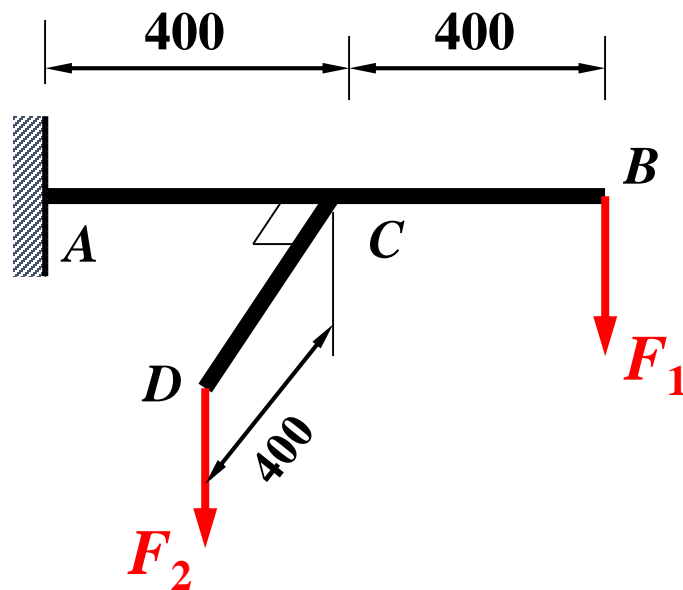
$$\sigma_{r4} = \frac{\sqrt{3}pD}{4\delta} \leq [\sigma]$$

## §8.4 扭转与弯曲的组合

### 例题8.9

$F_1=0.5 \text{ kN}$ ,  $F_2=1 \text{ kN}$ ,  $[\sigma]=160 \text{ MPa}$ 。

- (1) 用第三强度理论计算AB的直径。
- (2) 若AB杆的直径  $d=40 \text{ mm}$ ，并在B端加一水平力  $F_3 = 20 \text{ kN}$ ，校核AB杆的强度。





## §8.4 扭转与弯曲的组合

### 例题8.9

解：1) 将力 $F$ 向AB轴的C截面形心简化

$$F_2 = 1 \text{ kN} \quad m = 0.4 \text{ kN} \cdot \text{m}$$

AB 为弯、扭组合变形

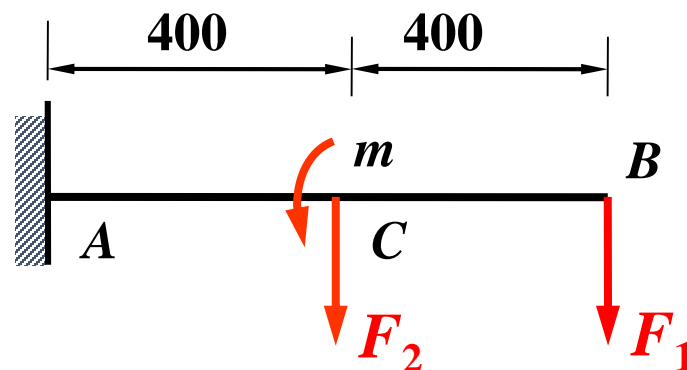
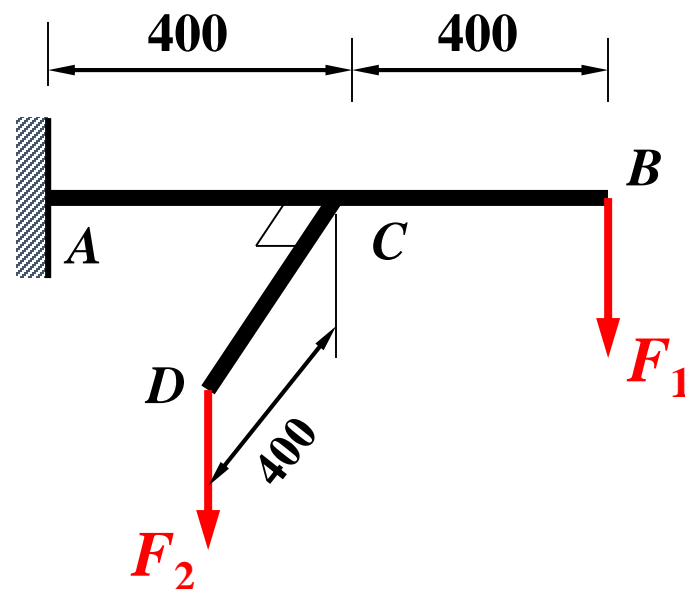
固定端截面是危险截面

$$M_{\max} = 0.8F_1 + 0.4F_2 = 0.8 \text{ kN} \cdot \text{m}$$

$$T_{\max} = 0.4 \text{ kN} \cdot \text{m}$$

$$\sigma_{r3} = \frac{\sqrt{M_{\max}^2 + T_{\max}^2}}{W} \leq [\sigma]$$

$$d = 38.5 \text{ mm}$$



## §8.4 扭转与弯曲的组合

### 例题8.9

解：2) 在B端加拉力 $F_3$

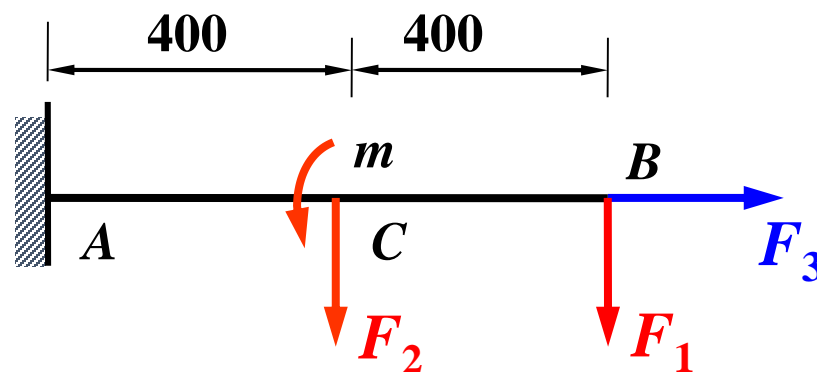
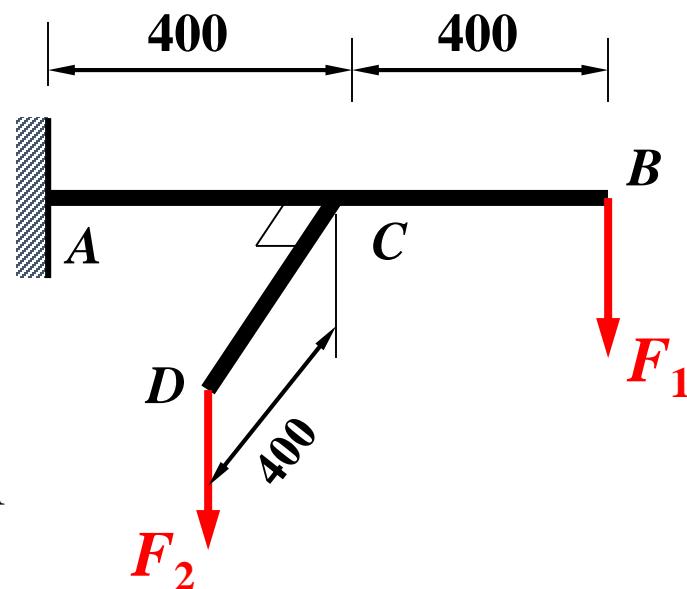
AB为弯+扭+拉组合变形

固定端截面是危险截面

$$M_{\max} = 0.8F_1 + 0.4F_2 = 0.8 \text{ kN}\cdot\text{m}$$

$$T_{\max} = 0.4 \text{ kN}\cdot\text{m}$$

$$F_N = F_3 = 20 \text{ kN}$$



## §8.4 扭转与弯曲的组合

### 例题8.9

解：2) 在B端加拉力 $F_3$

固定端截面最大的正应力为

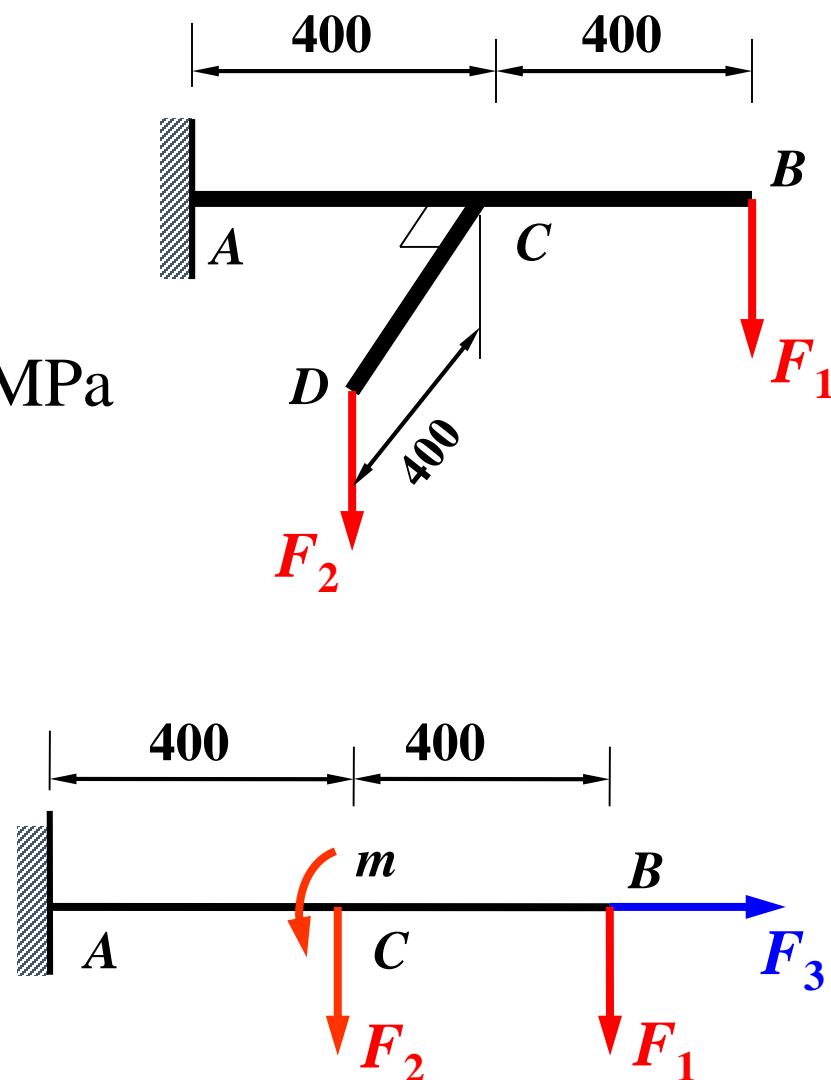
$$\sigma_{\max} = \frac{M_{\max}}{W_z} + \frac{F_N}{A} = 143 \text{ MPa}$$

最大切应力为

$$\tau_{\max} = \frac{T_{\max}}{W_t} = 31.8 \text{ MPa}$$

由第三强度理论

$$\begin{aligned}\sigma_{r3} &= \sqrt{\sigma^2 + 4\tau^2} \\ &= 157 \text{ MPa} \leq [\sigma]\end{aligned}$$



## 九、压杆稳定

压杆稳定

压杆保持原有直线平衡状态的能力

临界压力  $F_{cr}$

临界应力:  $\sigma_{cr} = \frac{F_{cr}}{A}$

长度因数  $\mu$

两端铰支:  $\mu=1$

一端自由, 一端固定:  $\mu=2$

两端固定:  $\mu=0.5$

一端铰支, 一端固定:  $\mu \approx 0.7$

柔度 (长细比)

$$\lambda = \frac{\mu l}{i}$$

惯性半径:  $i = \sqrt{\frac{I}{A}}$

大柔度杆:  $\lambda \geq \lambda_p$

欧拉公式

$$\sigma_{cr} = \frac{\pi^2 E}{\lambda^2}$$

$$F_{cr} = \frac{\pi^2 EI}{(\mu l)^2}$$

中柔度杆:  $\lambda_0 \leq \lambda \leq \lambda_p$

经验公式

$$\sigma_{cr} = a - b\lambda$$

小柔度杆:  $\lambda \leq \lambda_0$

强度公式

$$\sigma_{cr} = \sigma_s$$

压杆稳定计算

$$n = \frac{F_{cr}}{F} \geq n_{st}$$

# 本章复习

2、两段铰支细长压杆的临界压力（欧拉公式）

$$F_{\text{cr}} = \frac{\pi^2 EI}{l^2}$$

4、长细比

$$\lambda = \frac{\mu l}{i} \quad \lambda_0 = \frac{a - \sigma_s}{b} \quad \lambda_p = \pi \sqrt{\frac{E}{\sigma_p}}$$

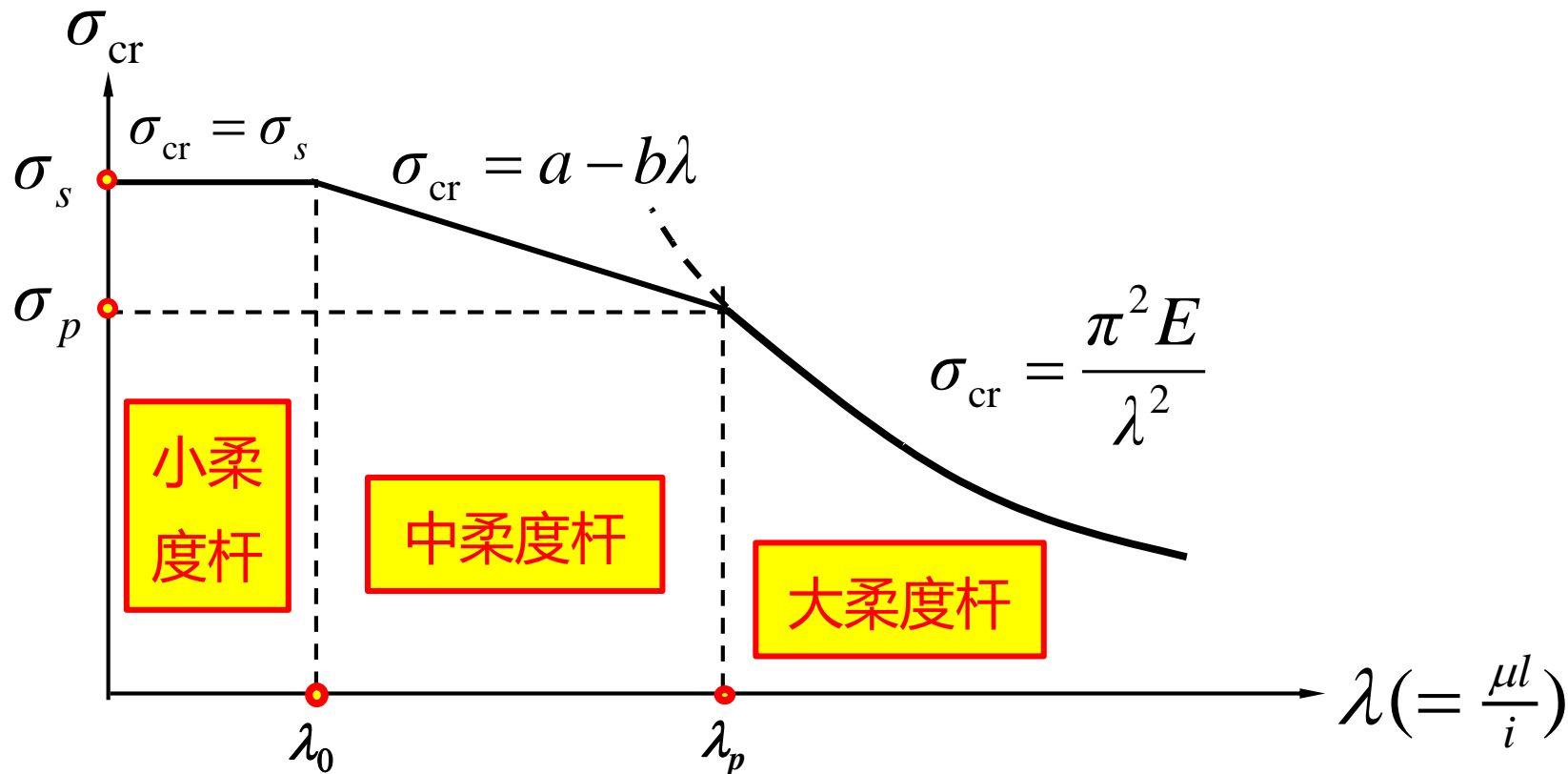
5、欧拉公式的适用范围：大柔度杆

6、经验公式的适用范围：中柔度杆  $\sigma_{\text{cr}} = a - b\lambda$

7、强度条件的适用范围：小柔度杆  $\sigma_{\text{cr}} = \sigma_s$

# 本章复习

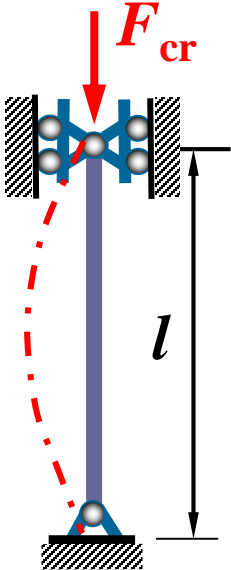
## 8、临界应力总图



临界应力总图

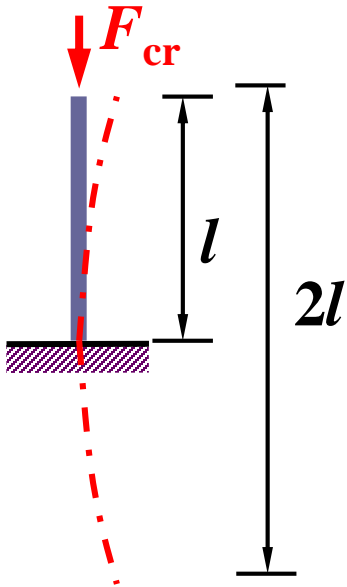
# 本章复习

## 3、各种支座下的欧拉公式

两端铰支	$\mu$ 长度系数	欧拉公式
	1	$F_{cr} = \frac{\pi^2 EI}{l^2}$

# 本章复习

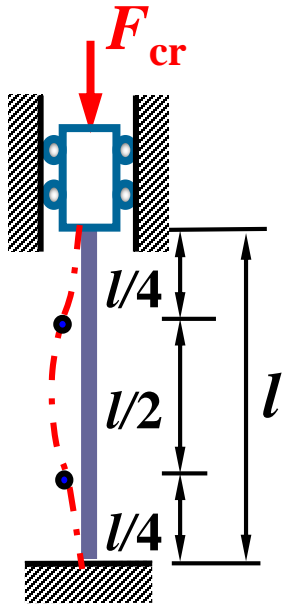
## 3、各种支座下的欧拉公式

一端固定 一端自由	$\mu$ 长度系数	欧拉公式
	2	$F_{cr} = \frac{\pi^2 EI}{(2l)^2}$



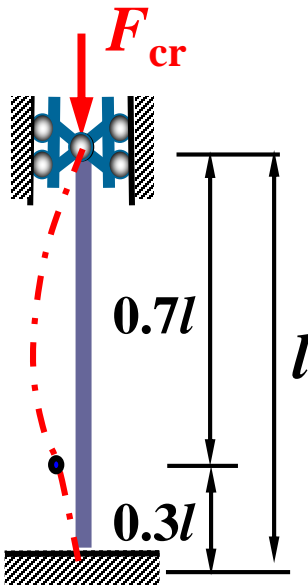
# 本章复习

## 3、各种支座下的欧拉公式

两端固定	$\mu$ 长度系数	欧拉公式
	0.5	$F_{cr} = \frac{\pi^2 EI}{(0.5l)^2}$

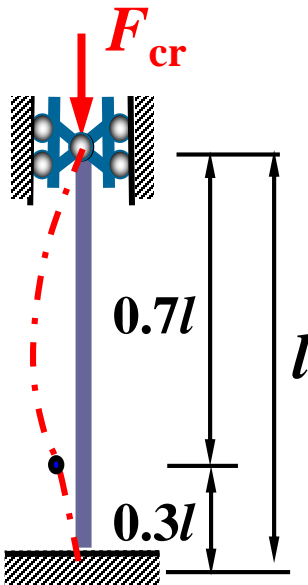
# 本章复习

## 3、各种支座下的欧拉公式

一端固定 一端铰支	$\mu$ 长度系数	欧拉公式
	0.7	$F_{\text{cr}} = \frac{\pi^2 EI}{(0.7l)^2}$

# 本章复习

## 3、各种支座下的欧拉公式

一端固定 一端铰支	$\mu$ 长度系数	欧拉公式
	0.7	$F_{cr} = \frac{\pi^2 EI}{(0.7l)^2}$

# 本章复习

## 9、压杆的稳定校核

$$F \leq \frac{F_{cr}}{[n_{st}]}$$

$$n = \frac{F_{cr}}{F} \geq [n_{st}]$$



压杆实际压力

计算步骤

- (1) 计算最大的柔度系数 $\lambda_{\max}$ ;
- (2) 根据 $\lambda_{\max}$  选择公式计算临界应力;
- (3) 根据稳定性条件, 判断压杆的稳定性或确定许可载荷。

# 本章复习

## 10、提高压杆稳定性的关键

$$F_{cr} = \frac{\pi^2 EI}{(\mu l)^2} \quad \text{欧拉公式}$$

$F_{cr}$  越大越稳定



减小压杆长度  $l$

减小长度系数  $\mu$  (增强约束)

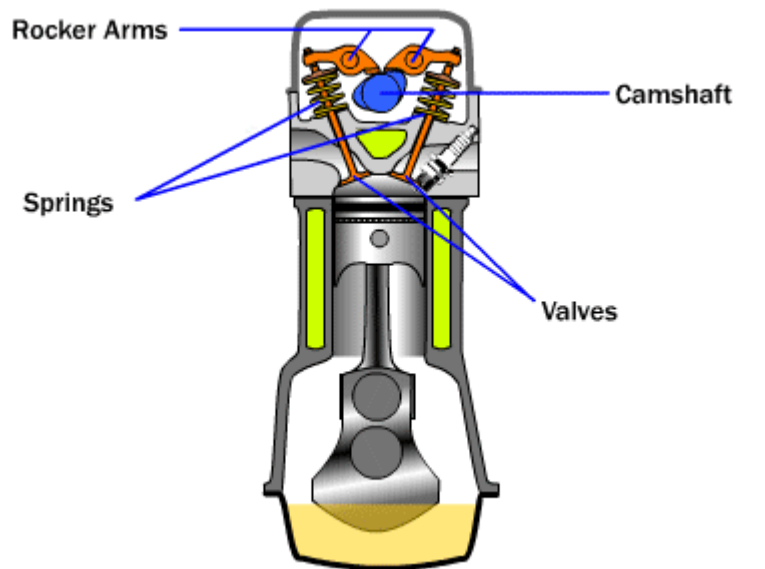
增大截面惯性矩  $I$  (合理选择截面形状)

增大弹性模量  $E$  (合理选择材料)

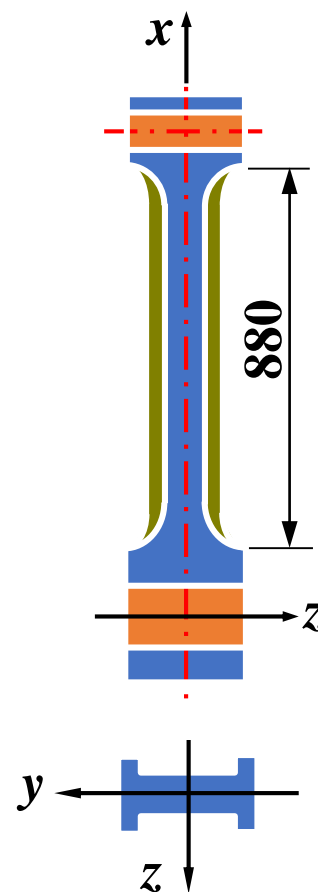
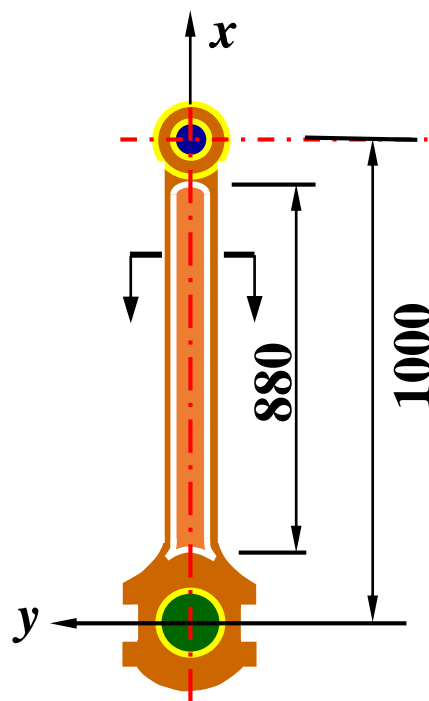
## §9.3 其他支座条件下细长压杆的临界压力

### 例题9.1

已知一内燃机、空气压缩机的连杆为细长压杆，截面形状为工字钢形，惯性矩  $I_z=6.5\times 10^4 \text{ mm}^4$ ， $I_y=3.8\times 10^4 \text{ mm}^4$ ，弹性模量  $E=2.1\times 10^5 \text{ MPa}$ 。试计算临界力  $F_{\text{cr}}$ 。



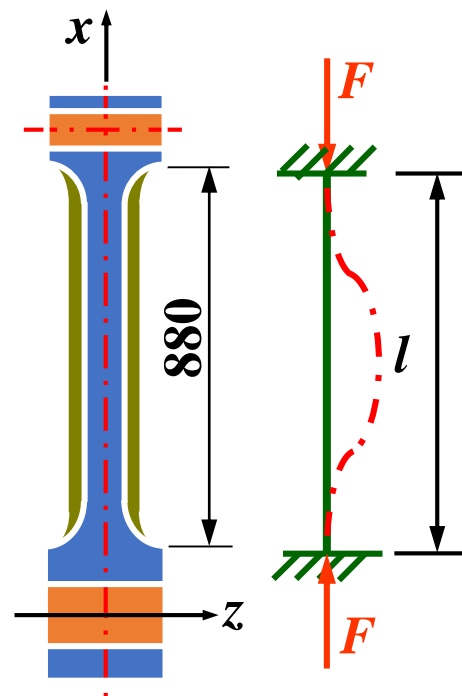
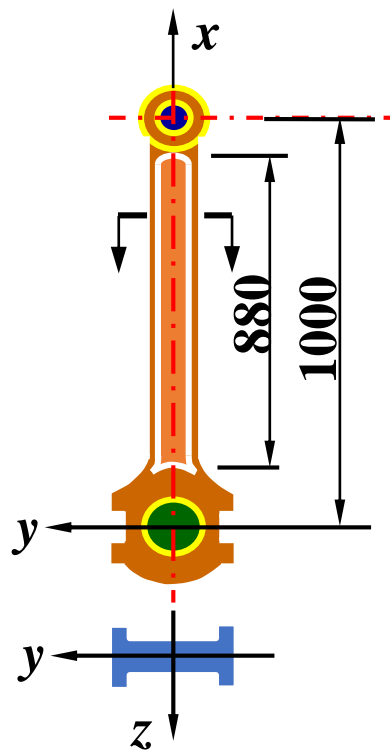
© 2000 How Stuff Works



## §9.3 其他支座条件下细长压杆的临界压力

### 例题9.1

分析思路： (1) 杆件在两个方向的约束情况不同；  
(2) 计算出两个临界压力，最后取小的一个作为压杆的临界压力。



## §9.3 其他支座条件下细长压杆的临界压力

### 例题9.1

解：  $xOy$ 面：约束情况为两端铰支，

$$\mu=1, \quad I=I_z, \quad l=1 \text{ m}$$

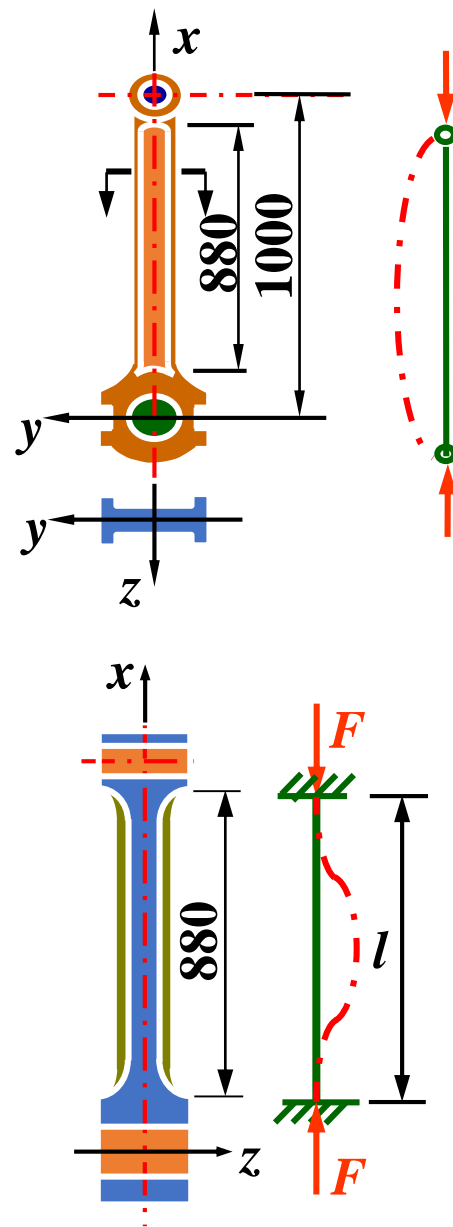
$$F_{\text{cr}} = \frac{\pi^2 EI}{(\mu l)^2} = \frac{3.14^2 \times 2.1 \times 10^{11} \times 6.5 \times 10^{-8}}{(1 \times 1)^2}$$
$$= 134.6 \text{ kN}$$

$xOz$ 面：约束情况为两端固定，

$$\mu=0.5, \quad I=I_y, \quad l=0.88 \text{ m}$$

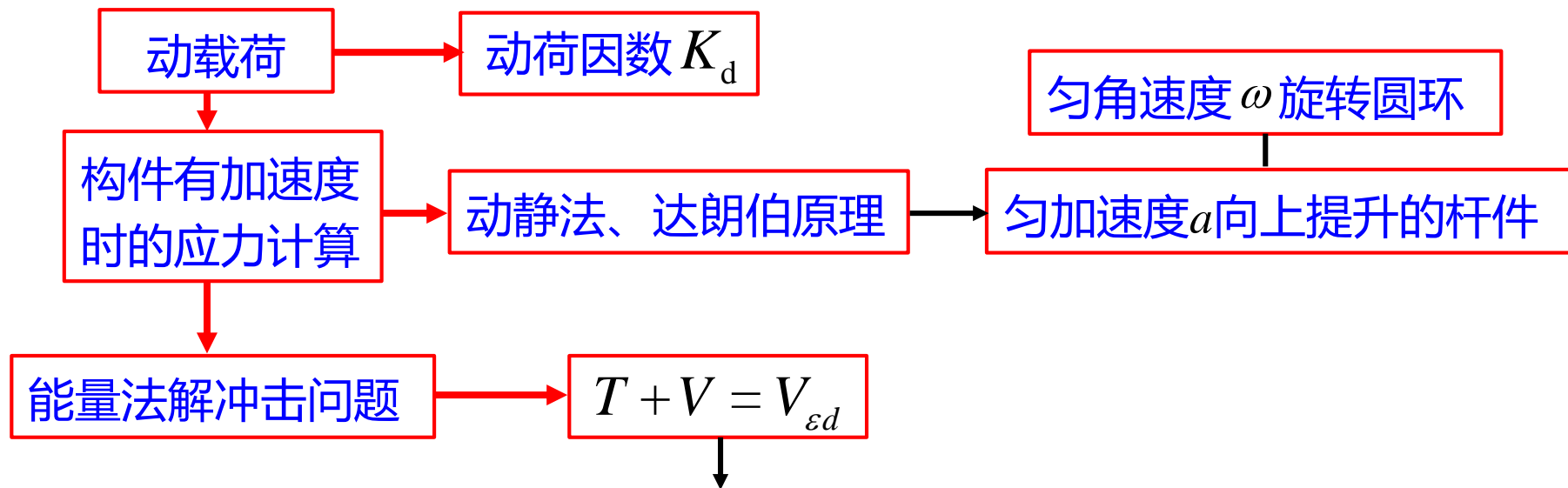
$$F_{\text{cr}} = \frac{\pi^2 EI}{(\mu l)^2} = \frac{3.14^2 \times 2.1 \times 10^{11} \times 3.8 \times 10^{-8}}{(0.5 \times 0.88)^2}$$
$$= 406.4 \text{ kN}$$

所以连杆的临界压力为134.6 kN。



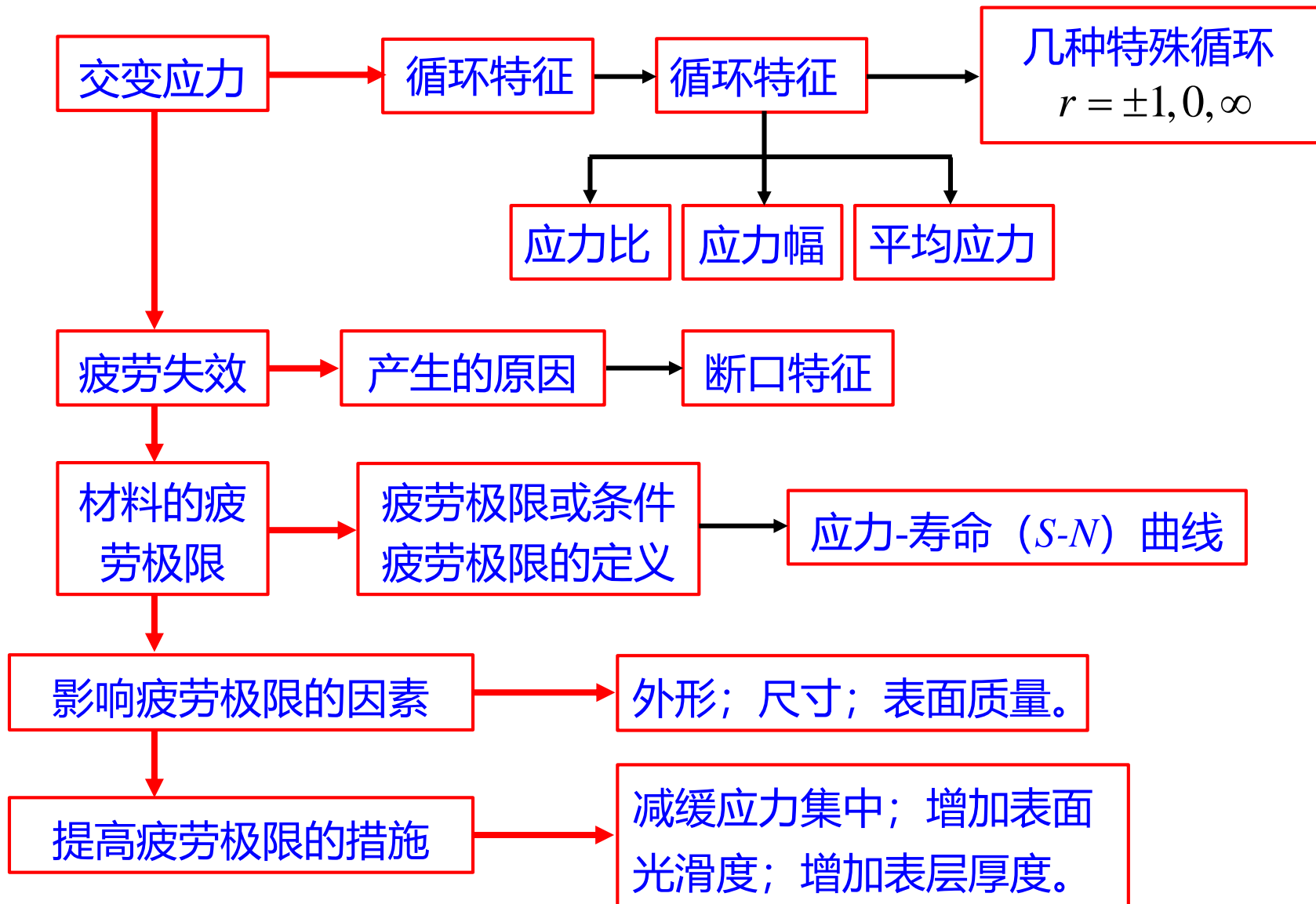


## 十、动载荷



- 1、冲击物从高处自由下落:  $K_d = 1 + \sqrt{1 + \frac{2h}{\Delta_{st}}}$
- 2、冲击物在  $h$  处的速度为  $v$ :  $H = \frac{v^2}{2g} + h$
- 3、接触时的速度为  $v$ :  $K_d = 1 + \sqrt{1 + \frac{v^2}{g\Delta_{st}}}$
- 4、突加载荷:  $h = 0, K_d = 2$
- 5、水平冲击:  $K_d = \sqrt{\frac{v^2}{g\Delta_{st}}}$

# 十一、交变应力



## 两章复习

- 1、动载荷：载荷作用过程中其随时间快速变化，或其本身不稳定（包括大小、方向），构件内各质点加速度较大。
- 2、动响应：构件在动载荷作用下产生的各种响应（如应力、应变、位移等）。
- 3、实验表明，在静载荷下服从胡克定律的材料，只要应力不超过比例极限，在动载荷下胡克定律仍成立。
- 4、动荷系数：
$$K_d = \frac{\text{动响应}}{\text{静响应}}$$

## 两章复习

5、冲击：当运动着的物体碰撞到一静止的构件时，前者的运动将受阻而在短时间停止运动，这时构件就受到了冲击作用。

6、冲击的求解：能量守恒定律。

7、竖直冲击：

$$K_d = 1 + \sqrt{1 + \frac{2h}{\Delta_{st}}}$$

水平冲击：

$$K_d = \sqrt{\frac{v^2}{g \Delta_{st}}}$$

## 两章复习

- 8、交变应力：构件内一点处的应力随时间作周期性变化，这种应力称为交变应力。
- 9、疲劳破坏：材料在交变应力作用下的破坏。
- 10、疲劳破坏的特点：破坏应力值一般低于静载荷作用下的强度极限值；表现为脆性断裂；断口表面可分为光滑区与粗糙区。
- 11、疲劳破坏的过程：裂纹萌生；裂纹扩展；构件断裂。
- 12、交变应力的分类：对称循环、非对称循环、静循环。
- 13、疲劳极限。

## §10.3 构件受冲击时的应力和变形

### 例题10.6

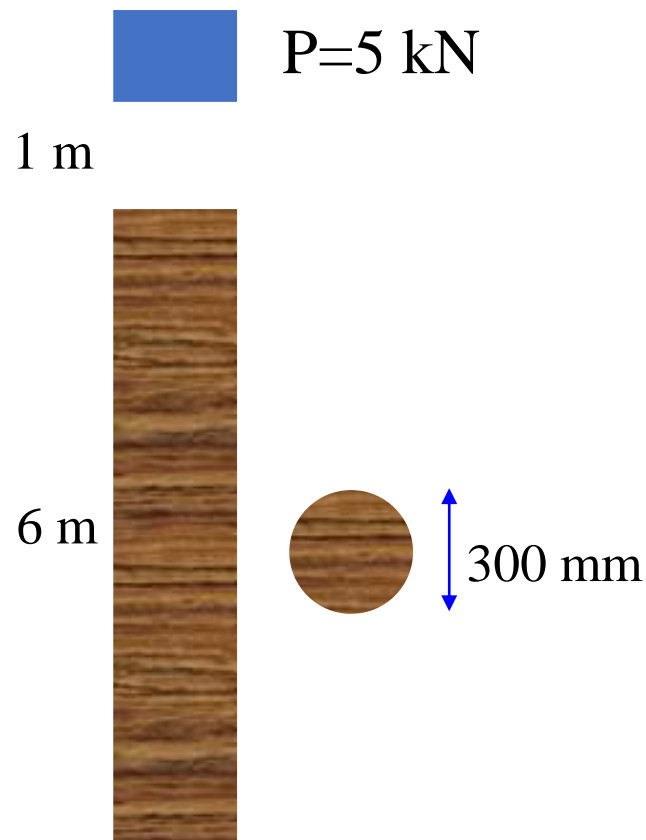
木柱  $E=10$  GPa, 橡皮  $E=8$  MPa, 求加橡皮前后的动荷因数。

解: (1) 不垫橡皮

$$\Delta_{st} = \frac{Pl}{EA} = \frac{5 \times 10^3 \times 6 \times 10^3}{10 \times 10^3 \times \frac{1}{4} \times 3.14 \times 300^2} = 4.25 \times 10^{-2} \text{ mm}$$

$$K_d = 1 + \sqrt{1 + \frac{2h}{\Delta_{st}}} = 1 + \sqrt{1 + \frac{2 \times 1 \times 10^3}{4.25 \times 10^{-2}}} = 218$$

$$\sigma_d = K_d \sigma_{st} = K_d \frac{P}{A} = 218 \times \frac{5 \times 10^3}{\frac{1}{4} \times 3.14 \times 300^2} = 15.4 \text{ MPa}$$



## §10.3 构件受冲击时的应力和变形

### 例题10.6

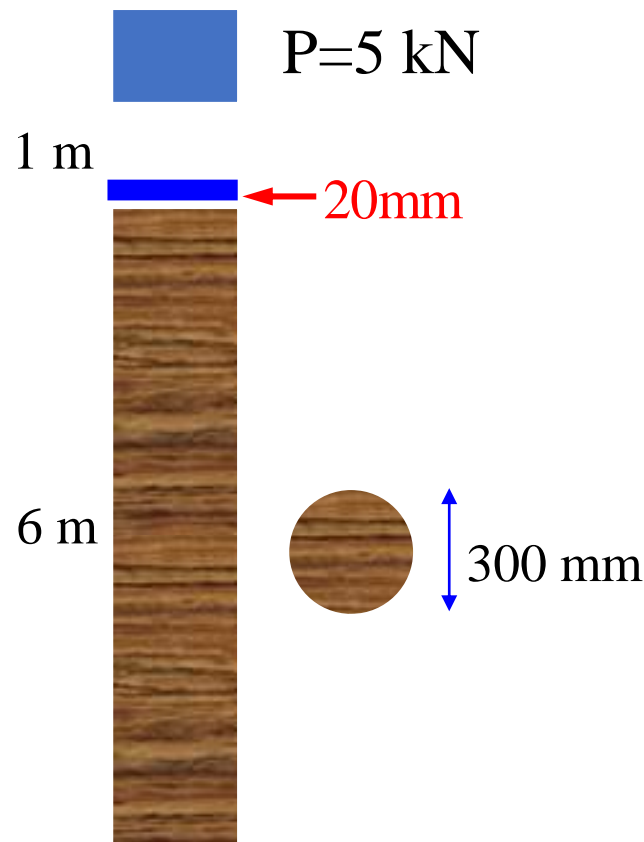
木柱 $E=10$  GPa, 橡皮 $E=8$  MPa, 求加橡皮前后的动荷因数。

解: (2) 垫橡皮

$$\begin{aligned}\Delta_{st} &= \Delta_{st}^{(1)} + \Delta_{st}^{(2)} = 4.25 \times 10^{-2} + \frac{5 \times 10^3 \times 20}{8 \times \frac{1}{4} \times 3.14 \times 300^2} \\ &= 0.18 + 0.0425 = 0.22(\text{mm})\end{aligned}$$

$$K_d = 1 + \sqrt{1 + \frac{2h'}{\Delta_{st}}} = 1 + \sqrt{1 + \frac{2 \times (1 \times 10^3 - 20)}{0.22}} = 95$$

动荷系数显著减小



## 十三、能量法

能量原理（与功、能有关的定理的统称）

功能原理：弹性范围内  $V_\varepsilon = W$

应变能的计算

轴向拉压：  $V_\varepsilon = \frac{F^2 l}{2EA} = \frac{EA \Delta l^2}{2l} = \frac{1}{2} F \Delta l$

圆轴扭转：  $V_\varepsilon = \frac{T^2 l}{2GI_p} = \frac{GI_p \varphi^2}{2l} = \frac{1}{2} T \varphi$

弯曲：  $V_\varepsilon = \frac{M^2 l}{2EI} = \frac{EI \theta^2}{2l} = \frac{1}{2} M \theta$

$$V_\varepsilon = \frac{1}{2} F \delta$$

应变能的普遍表达式

$$V_\varepsilon = W = \frac{1}{2} F_1 \delta_1 + \frac{1}{2} F_2 \delta_2 + \dots + \frac{1}{2} F_n \delta_n$$

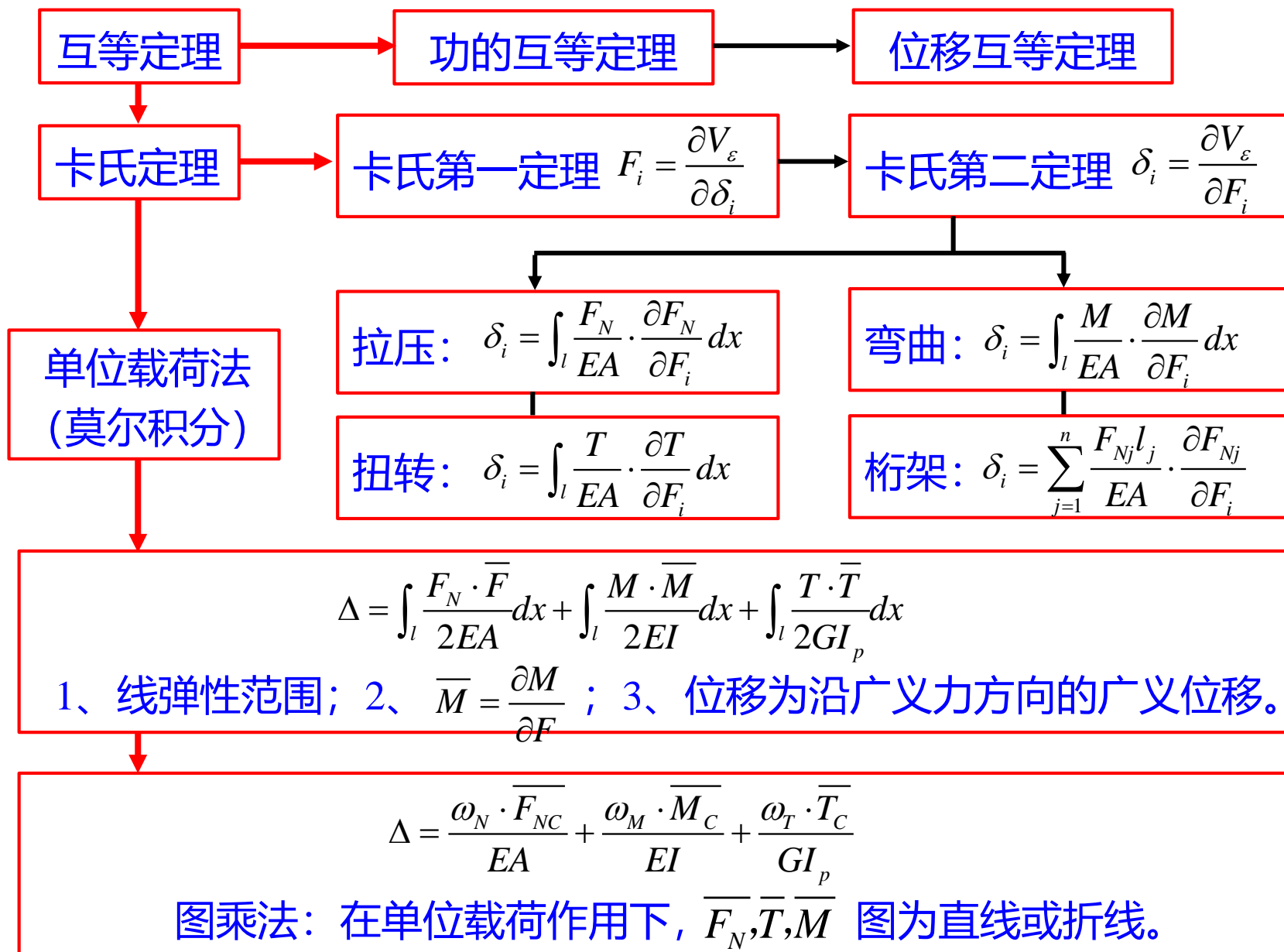
克拉贝依隆原理

组合变形时

$$V_\varepsilon = \int_l \frac{F_N^2(x) dx}{2EA} + \int_l \frac{M^2(x) dx}{2EI} + \int_l \frac{T^2(x) dx}{2GI_p}$$



# 十三、能量法



# 本章复习

## 4、杆件的应变能

应变 能密度		应力	功	应变
	正应力	$\nu = \frac{1}{2E} \sigma^2$	$\nu = \frac{1}{2} \sigma \varepsilon$	$\nu = \frac{1}{2} E \varepsilon^2$
	切应力	$\nu = \frac{1}{2G} \tau^2$	$\nu = \frac{1}{2} \tau \gamma$	$\nu = \frac{1}{2} G \gamma^2$
应变能		力	功	变形
	拉压	$V_\varepsilon = \frac{F^2 l}{2EA}$	$V_\varepsilon = \frac{1}{2} F \Delta l$	$V_\varepsilon = \frac{EA}{2l} \Delta l^2$
	扭转	$V_\varepsilon = \frac{T^2 l}{2GI_p}$	$V_\varepsilon = \frac{1}{2} T \varphi$	$V_\varepsilon = \frac{GI_p}{2l} \varphi^2$
	弯曲	$V_\varepsilon = \frac{M^2 l}{2EI}$	$V_\varepsilon = \frac{1}{2} M \theta$	$V_\varepsilon = \frac{EI}{2l} \theta^2$

仅适用于满足 $\sigma=E\varepsilon$ 的线性情况，其他形式需要求积分  $V_\varepsilon=W=\int_0^\Delta F d\Delta$

# 本章复习

## 5、应变能的普遍表达式

$$V_{\varepsilon} = \frac{1}{2} (F_1 \delta_1 + F_2 \delta_2 + F_3 \delta_3)$$

克拉贝依隆原理 (只限于线性结构)

## 6、功的互等定理

$$F_1 \delta_1' + F_2 \delta_2' = F_3 \delta_3' + F_4 \delta_4'$$

## 7、位移互等定理

$$\delta_1' = \delta_3'$$

## 9、卡氏第二定理

$$\delta_i = \frac{\partial V_{\varepsilon} (F_1, F_2 \cdots F_n)}{\partial F_i}$$

# 本章复习

## 10、卡氏第二定理的应用

### (1) 轴向拉压

$$\delta_i = \frac{\partial V_\varepsilon}{\partial F_i} = \frac{\partial}{\partial F_i} \int \frac{F_N^2(x) dx}{2EA} = \int \frac{F_N(x)}{EA} \cdot \frac{\partial F_N(x)}{\partial F_i} dx$$

### (2) 扭转

$$\delta_i = \frac{\partial V_\varepsilon}{\partial F_i} = \frac{\partial}{\partial F_i} \int \frac{T^2(x) dx}{2GI_p} = \int \frac{T(x)}{GI_p} \cdot \frac{\partial T(x)}{\partial F_i} dx$$

### (3) 弯曲

$$\delta_i = \frac{\partial V_\varepsilon}{\partial F_i} = \frac{\partial}{\partial F_i} \int \frac{M^2(x) dx}{2EI} = \int \frac{M(x)}{EI} \cdot \frac{\partial M(x)}{\partial F_i} dx$$

# 本章复习

## 10、卡氏第二定理的应用

### (4) 桁架

$$\delta_i = \frac{\partial V_\varepsilon}{\partial F_i} = \sum_{j=1}^n \frac{F_{Nj} l_j}{EA} \cdot \frac{\partial F_{Nj}}{\partial F_i}$$

### (5) 组合变形

$$\begin{aligned} \delta_i &= \frac{\partial V_\varepsilon}{\partial F_i} = \frac{\partial}{\partial F_i} \left[ \int \frac{F_N^2(x) dx}{2EA} + \int \frac{T^2(x) dx}{2GI_p} + \int \frac{M^2(x) dx}{2EI} \right] \\ &= \int \frac{F_N(x)}{EA} \cdot \frac{\partial F_N(x)}{\partial F_i} dx + \int \frac{T(x)}{GI_p} \cdot \frac{\partial T(x)}{\partial F_i} dx + \int \frac{M(x)}{EI} \cdot \frac{\partial M(x)}{\partial F_i} dx \end{aligned}$$

# 本章复习

## 13、单位载荷法

$$1 \cdot \Delta = \int_l (\bar{M} d\theta + \bar{F}_S \cdot d\lambda + \bar{F}_N d\delta + \bar{T} d\varphi)$$

$$1 \cdot \Delta = \int_l (\bar{M} \frac{M}{EI} dx + \bar{F}_S \cdot \frac{\alpha_s F_S}{GA} dx + \bar{F}_N \frac{F_N}{EA} dx + \bar{T} \frac{T}{GI_P} dx)$$

## 14、普遍形式的莫尔定理

$$\Delta = \int_l \frac{F_N(x) \bar{F}_N(x)}{EA} dx + \int_l \frac{T(x) \bar{T}(x)}{GI_p} dx + \boxed{\int_l \frac{M(x) \bar{M}(x)}{EI} dx}$$

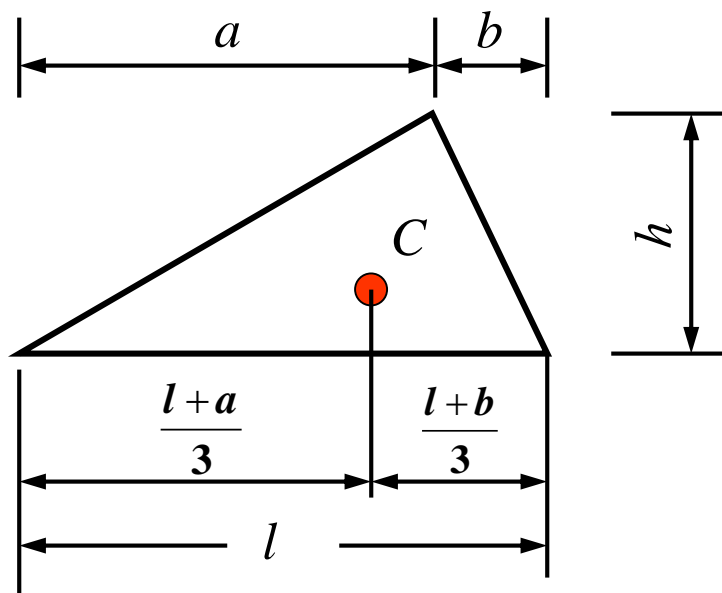
该式中 $\Delta$ 应看成广义位移，把单位载荷看成与相对应的广义力。

## 15、图乘法（等直杆弯曲）

$$\Delta = \frac{1}{EI} \int_l M(x) \bar{M}(x) dx = \frac{\omega \cdot \bar{M}_c}{EI}$$

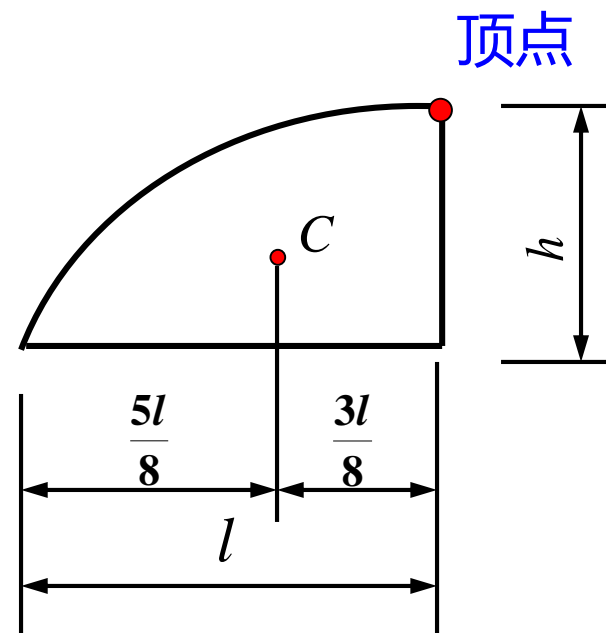
## §13.8 计算莫尔积分的图乘法

### 2、几种常见图形的面积和形心计算公式



三角形

$$\omega = \frac{l \cdot h}{2}$$

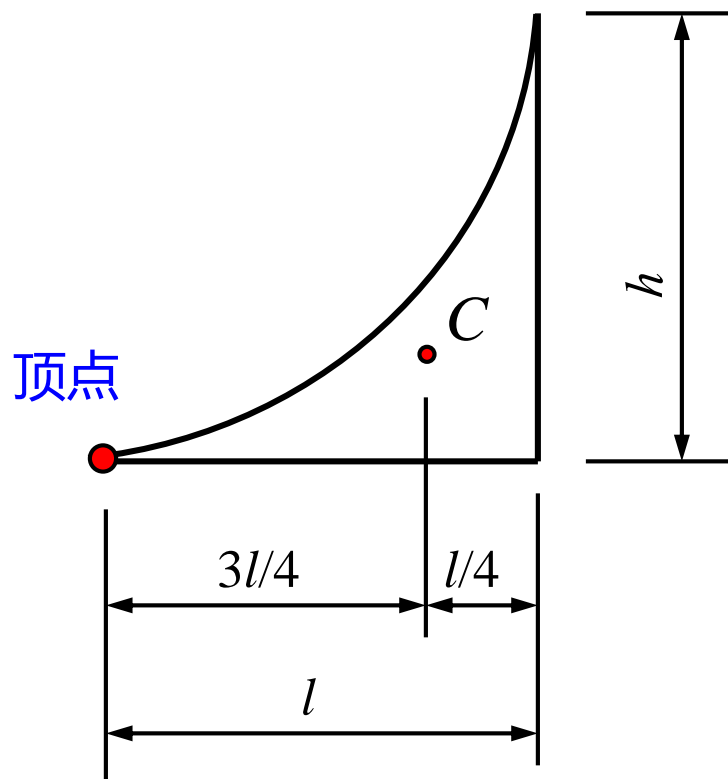


二次抛物线

$$\omega = \frac{2}{3} h \cdot l$$

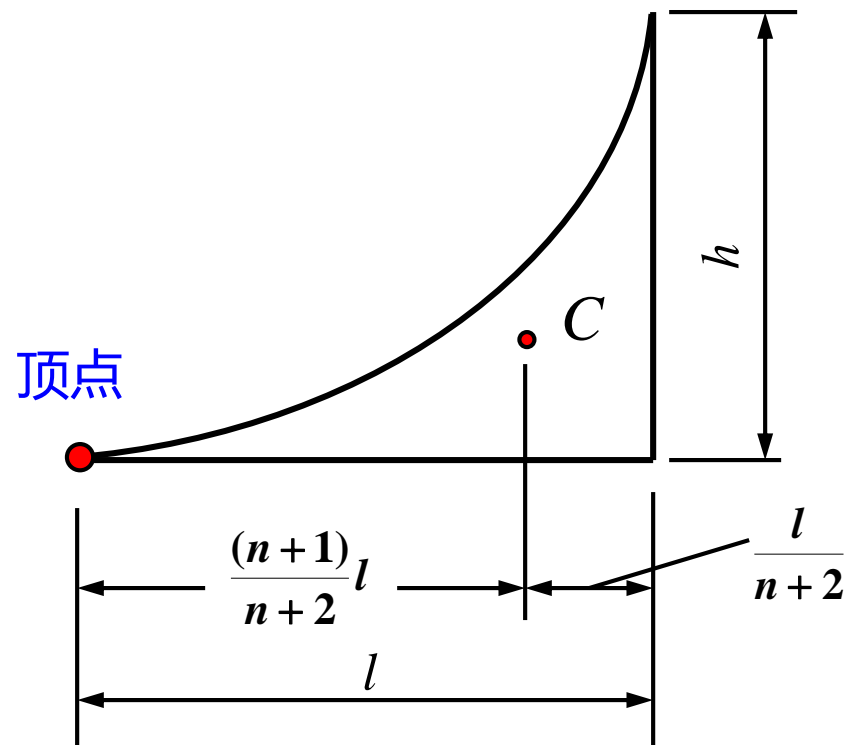
## §13.8 计算莫尔积分的图乘法

### 2、几种常见图形的面积和形心计算公式



二次抛物线

$$\omega = \frac{l \cdot h}{3}$$



$N$ 次抛物线

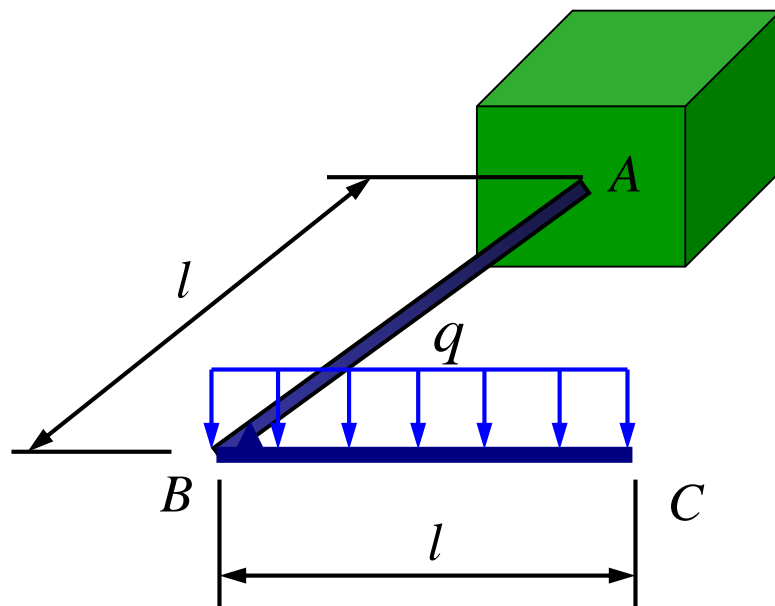
$$\omega = \frac{l \cdot h}{n+1}$$



## §13.5 卡氏定理

### 例题13.9

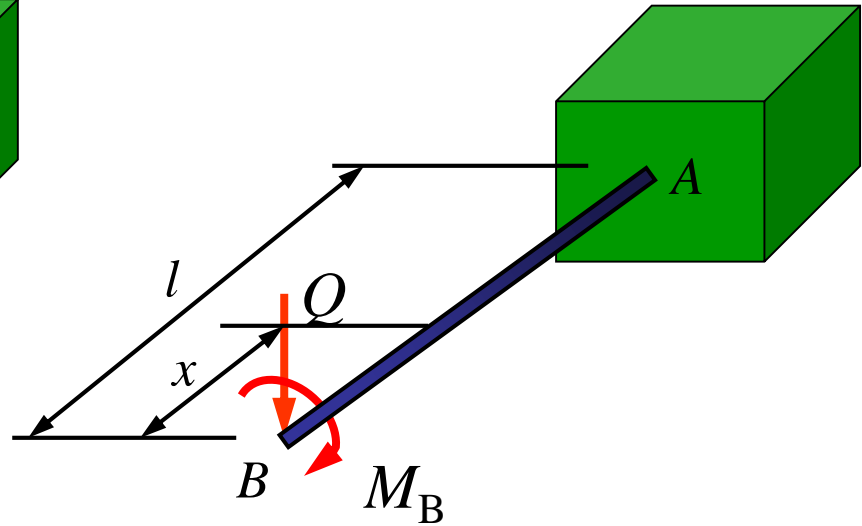
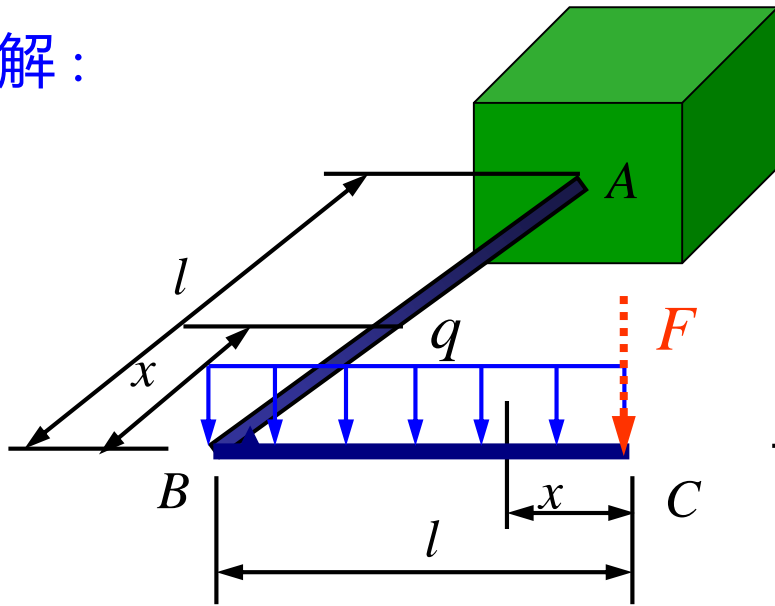
圆截面杆ABC, ( $\angle ABC=90^\circ$ ) 位于水平平面内, 已知杆截面直径 $d$  及材料的弹性常数  $E, G$ , 求C截面处的铅垂位移。不计剪力。



## §13.5 卡氏定理

### 例题13.9

解：



BC：弯曲变形

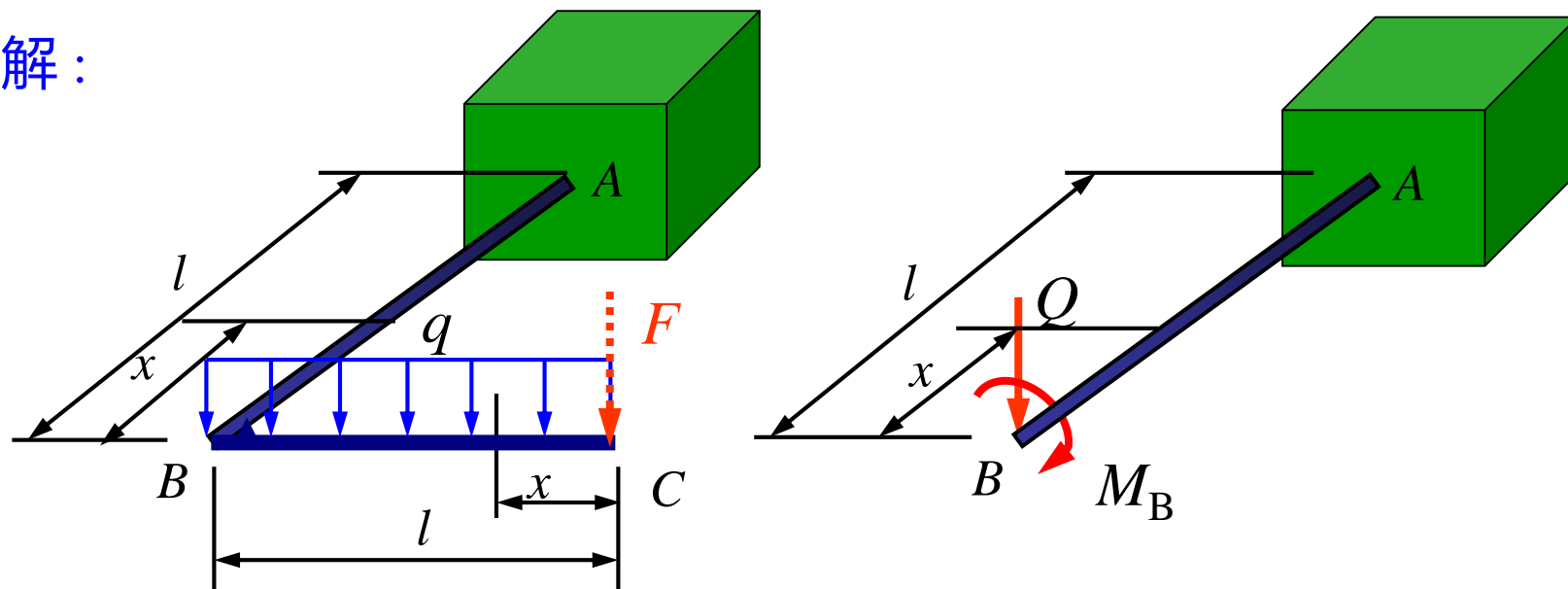
$$M(x) = -Fx - \frac{qx^2}{2}$$

$$\frac{\partial M(x)}{\partial F} = -x$$

## §13.5 卡氏定理

### 例题13.9

解：



AB：弯扭组合变形

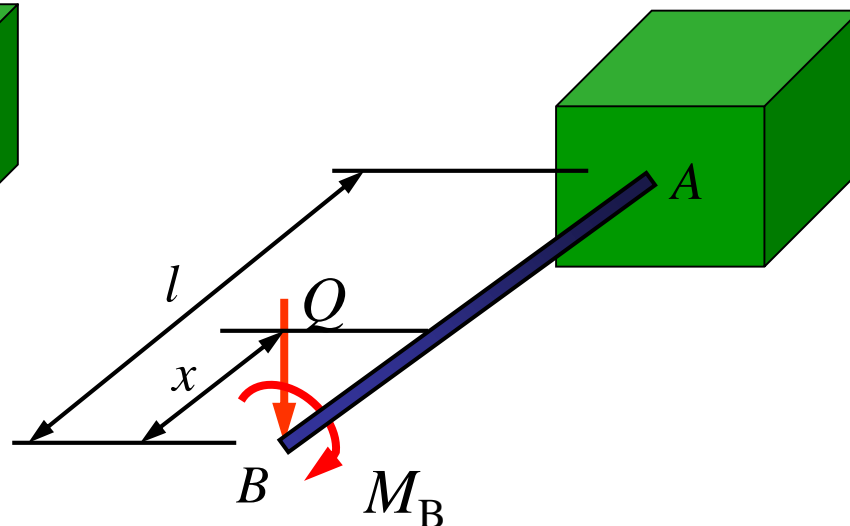
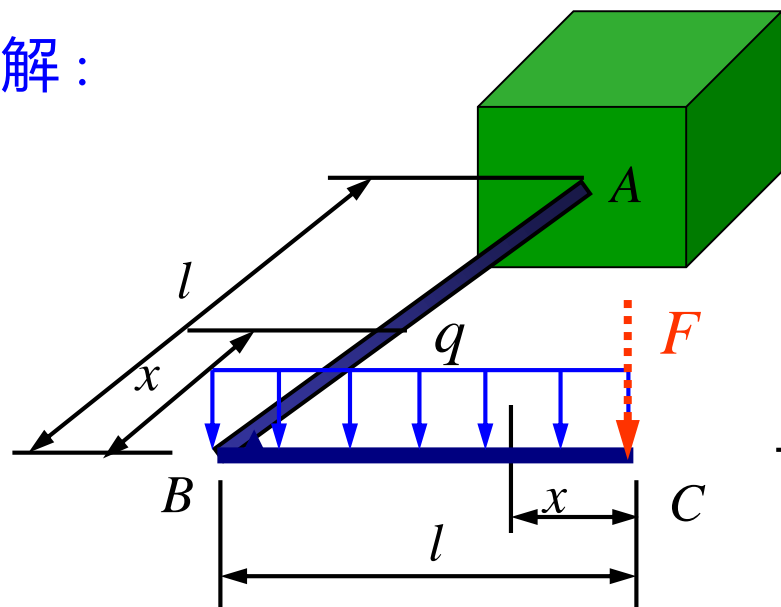
$$Q = F + ql \quad (\text{弯曲})$$

$$M(x) = Qx = (F + ql)x \quad \frac{\partial M(x)}{\partial F} = x$$

## §13.5 卡氏定理

### 例题13.9

解：



AB: 弯扭组合变形  $M_B = Fl + \frac{ql^2}{2}$  (扭转)

$$T(x) = M_B = Fl + \frac{ql^2}{2} \quad \frac{\partial T(x)}{\partial F} = l$$

## §13.5 卡氏定理

### 例题13.9

解：

$$\delta_i = \frac{\partial V_\varepsilon}{\partial F} \Big|_{F=0}$$

$$= \int_0^l \frac{M(x)}{EI} \cdot \frac{\partial M(x)}{\partial F} dx + \left\{ \int_0^l \left[ \frac{M(x)}{EI} \cdot \frac{\partial M(x)}{\partial F} dx + \frac{T(x)}{GI_p} \cdot \frac{\partial T(x)}{\partial F} dx \right] \right\}$$

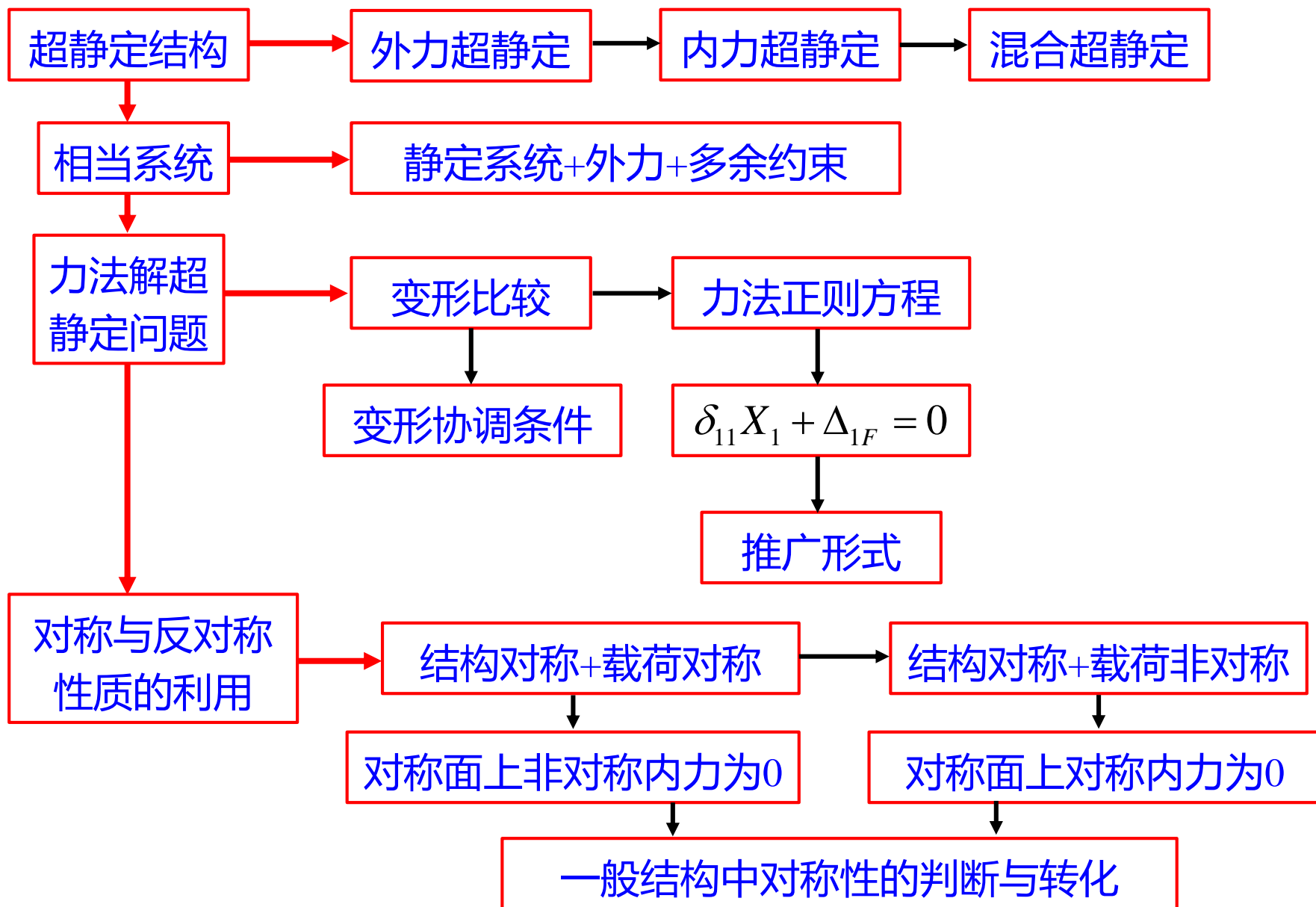
$$= \frac{1}{EI} \int_0^l \left( -\frac{qx^2}{2} \right) (-x) dx + \frac{1}{EI} \int_0^l qlx \cdot x dx + \frac{1}{GI_p} \int_0^l \frac{ql^2}{2} \cdot l dx$$

$$= \frac{11ql^4}{24EI} + \frac{ql^4}{GI_p} \quad (\downarrow)$$

$$I = \frac{\pi d^4}{64}$$

$$I_p = \frac{\pi d^4}{32}$$

## 十四、超静定结构



# 本章复习

## 5、力法的求解过程

- (1) 判定超静定次数，做出“相当系统”；
- (2) 在多余约束处满足“变形几何条件”，得到变形协调方程；
- (3) 由补充方程求出多余约束力；
- (4) 在相当系统上求解原超静定结构的内力和变形。

## 6、力法正则方程

以多余力为未知量的变形协调方程可改写成下式

$$\delta_{11}X_1 + \Delta_{1F} = 0$$

此即变形协调方程的标准形式，即所谓的力法正则方程。

# 本章复习

## 7、正则方程的推广

$$\left\{ \begin{array}{l} \delta_{11}X_1 + \delta_{12}X_2 + \cdots \delta_{1n}X_n + \Delta_{1F} = 0 \\ \delta_{21}X_1 + \delta_{22}X_2 + \cdots \delta_{2n}X_n + \Delta_{2F} = 0 \\ \cdots \cdots \cdots \\ \delta_{n1}X_1 + \delta_{n2}X_2 + \cdots \delta_{nn}X_n + \Delta_{nF} = 0 \\ \delta_{ij} = \delta_{ji}, \quad (i, j = 1, 2, \dots, n) \quad (\text{位移互等定理}) \end{array} \right.$$

$$\Delta_{iF} = \int \frac{M_F \cdot \overline{M}_i}{EI} dx \quad \delta_{ij} = \int \frac{\overline{M}_i \cdot \overline{M}_j}{EI} dx$$



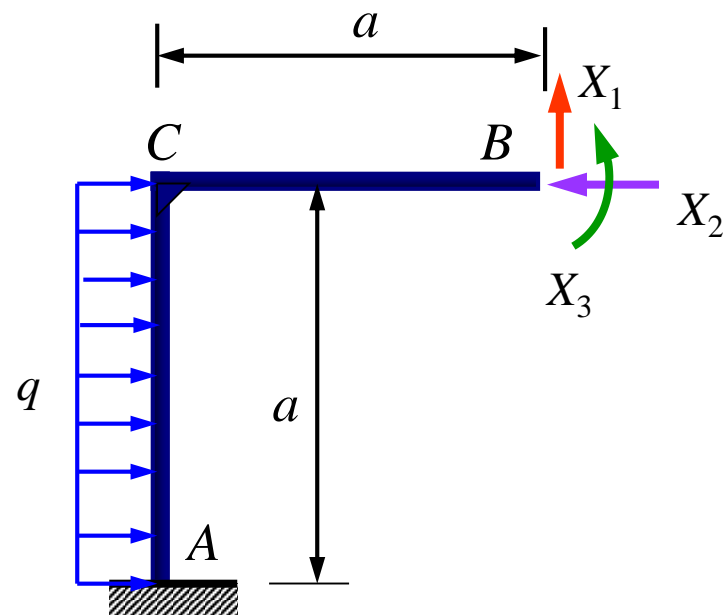
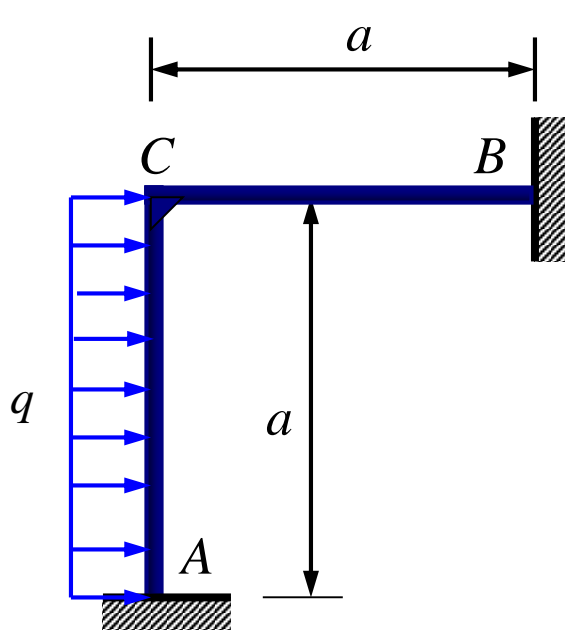
## 本章复习

- 8、当对称结构受力也对称于结构对称轴，则此结构将产生对称变形；若外力反对称于结构对称轴，则结构将产生反对称变形。
- 9、当对称结构上作用对称载荷，则对称截面上的非对称内力为零；当对称结构上作用非对称载荷，则对称截面上的对称内力为零。

## §14.2 用力法解超静定结构

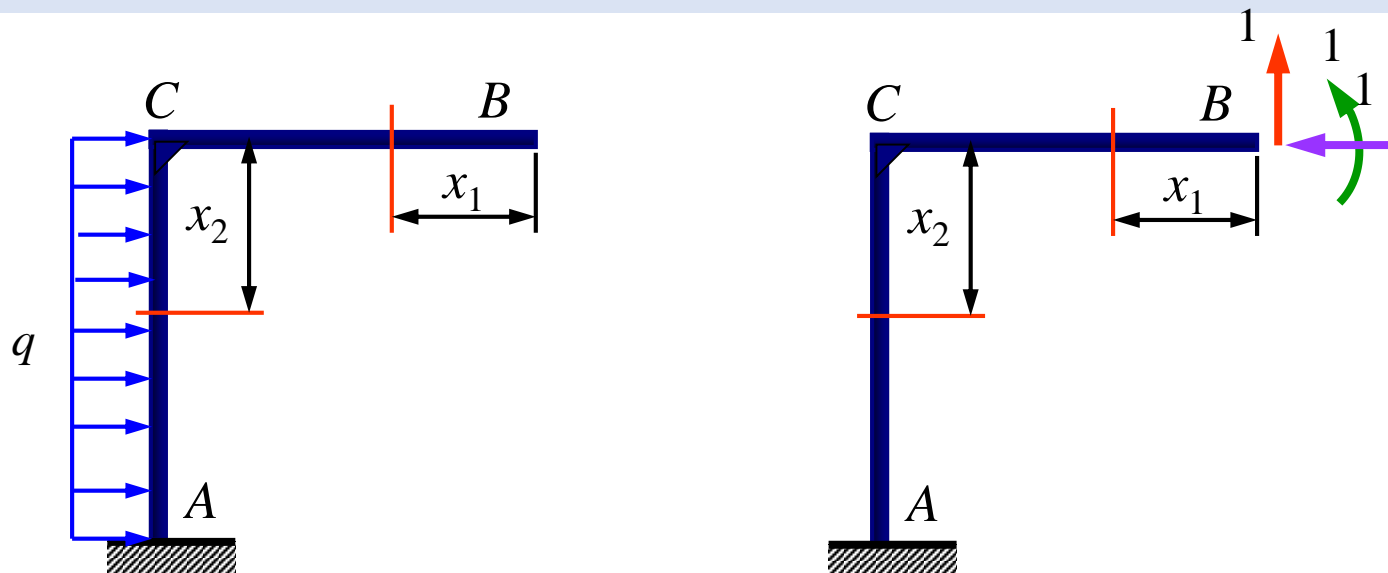
### 例题14.2

求解静不定结构刚架，设两杆的 $EI$ 相等。



## §14.2 用力法解超静定结构

例题14.2



解：(1) 用单位载荷法求  $\Delta_{1F}$ ,  $\Delta_{2F}$ ,  $\Delta_{3F}$

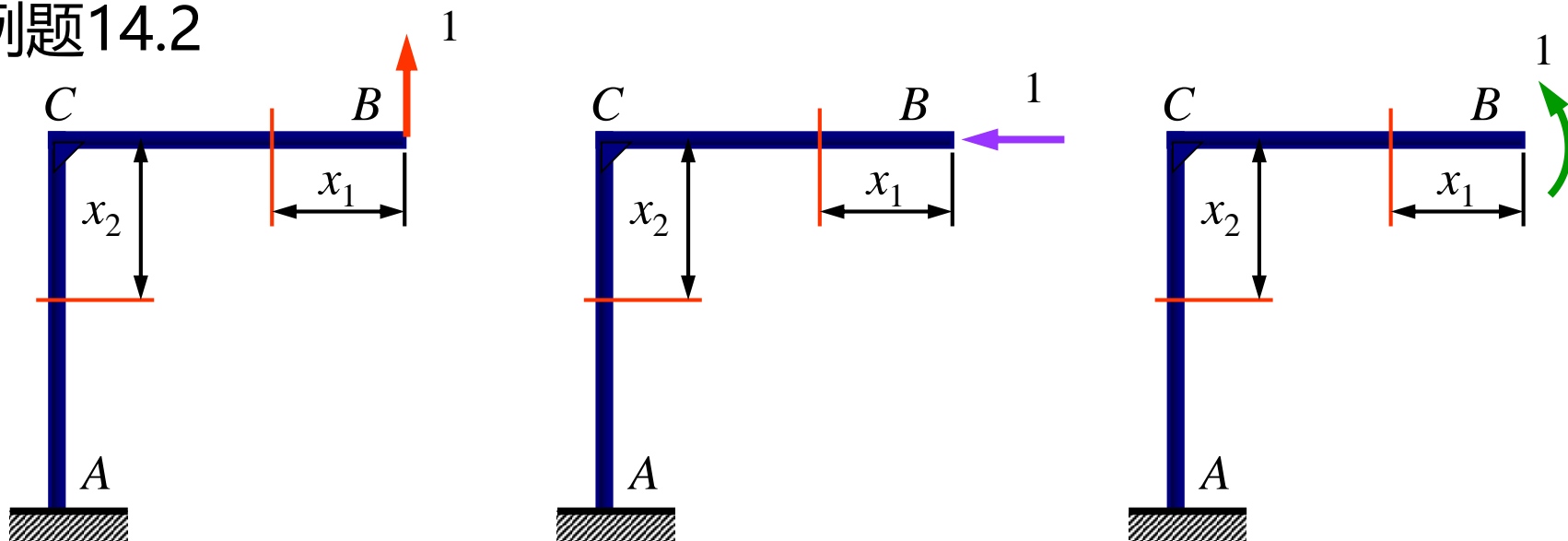
$$\Delta_{1F} = -\frac{1}{EI} \int_0^a \frac{qx_2^2}{2} \cdot a \cdot dx_2 = -\frac{qa^4}{6EI}$$

$$\Delta_{2F} = -\frac{1}{EI} \int_0^a \frac{qx_2^2}{2} \cdot x_2 \cdot dx_2 = -\frac{qa^4}{8EI}$$

$$\Delta_{3F} = -\frac{1}{EI} \int_0^a \frac{qx_2^2}{2} \cdot 1 \cdot dx_2 = -\frac{qa^3}{6EI}$$

## §14.2 用力法解超静定结构

例题14.2



解: (2) 求 $\delta_{ij}$

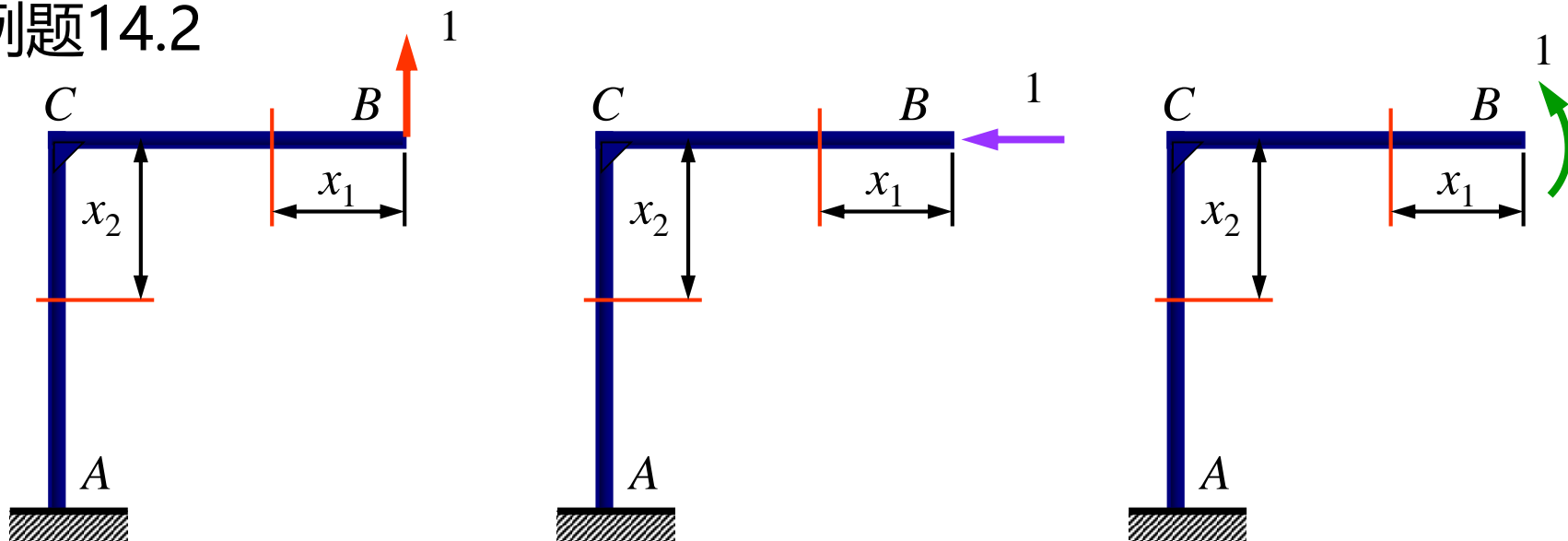
$$\delta_{11} = \frac{1}{EI} \left[ \int_0^a x_1 \cdot x_1 \cdot dx_1 + \int_0^a a \cdot a \cdot dx_2 \right] = \frac{4a^3}{3EI}$$

$$\delta_{22} = \frac{1}{EI} \int_0^a x_2 \cdot x_2 \cdot dx_2 = \frac{a^3}{3EI}$$

$$\delta_{33} = \frac{1}{EI} \left[ \int_0^a 1 \cdot 1 \cdot dx_1 + \int_0^a 1 \cdot 1 \cdot dx_2 \right] = \frac{2a}{EI}$$

## §14.2 用力法解超静定结构

例题14.2



解: (2) 求 $\delta_{ij}$

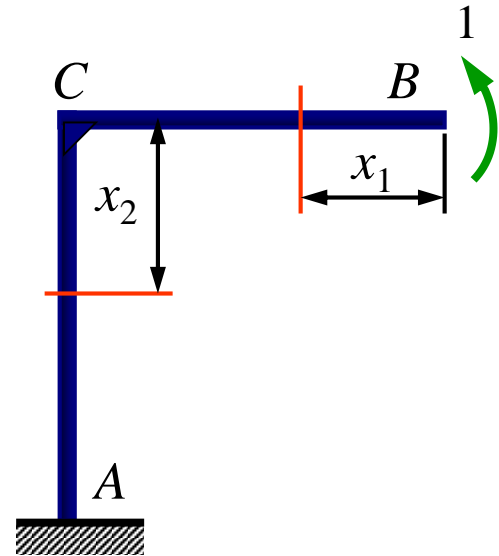
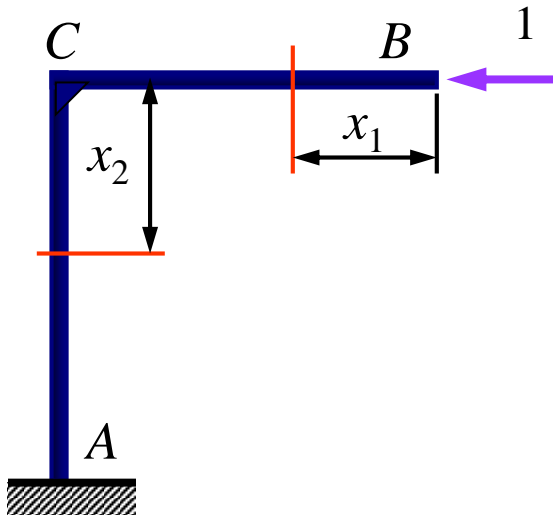
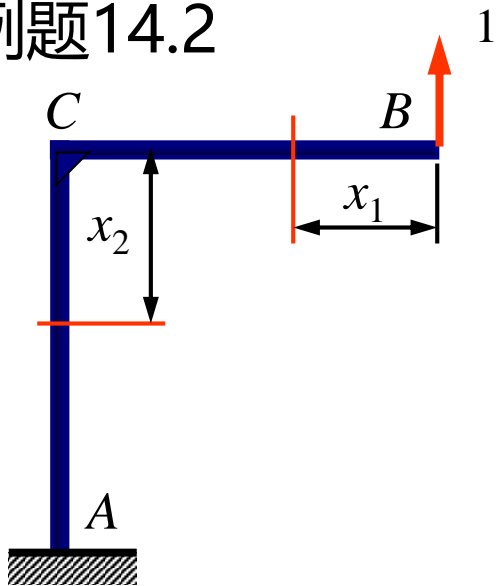
$$\delta_{12} = \delta_{21} = \frac{1}{EI} \int_0^a x_2 \cdot a \cdot dx_2 = \frac{a^3}{2EI}$$

$$\delta_{13} = \delta_{31} = \frac{1}{EI} \left[ \int_0^a x_1 \cdot 1 \cdot dx_1 + \int_0^a a \cdot 1 \cdot dx_2 \right] = \frac{3a^2}{2EI}$$

$$\delta_{23} = \delta_{32} = \frac{1}{EI} \int_0^a x_2 \cdot 1 \cdot dx_2 = \frac{a^2}{2EI}$$

## §14.2 用力法解超静定结构

例题14.2



解: (2) 求 $\delta_{ij}$

$$\delta_{ij} = \int \frac{\overline{M}_i \cdot \overline{M}_j}{EI} dx$$

## §14.2 用力法解超静定结构

### 例题14.2

解：(2) 求 $\delta_{ij}$

$$\delta_{11} = \frac{4a^3}{3EI}$$

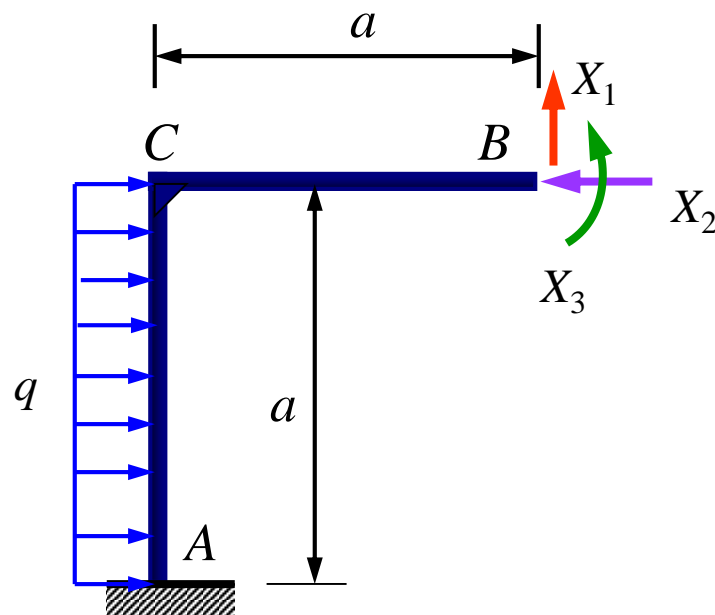
$$\delta_{12} = \delta_{21} = \frac{a^3}{2EI}$$

$$\delta_{22} = \frac{a^3}{3EI}$$

$$\delta_{13} = \delta_{31} = \frac{3a^2}{2EI}$$

$$\delta_{33} = \frac{2a}{EI}$$

$$\delta_{23} = \delta_{32} = \frac{a^2}{2EI}$$



## §14.2 用力法解超静定结构

### 例题14.2

解：(3) 求 $X_1, X_2, X_3$

代入正则方程：

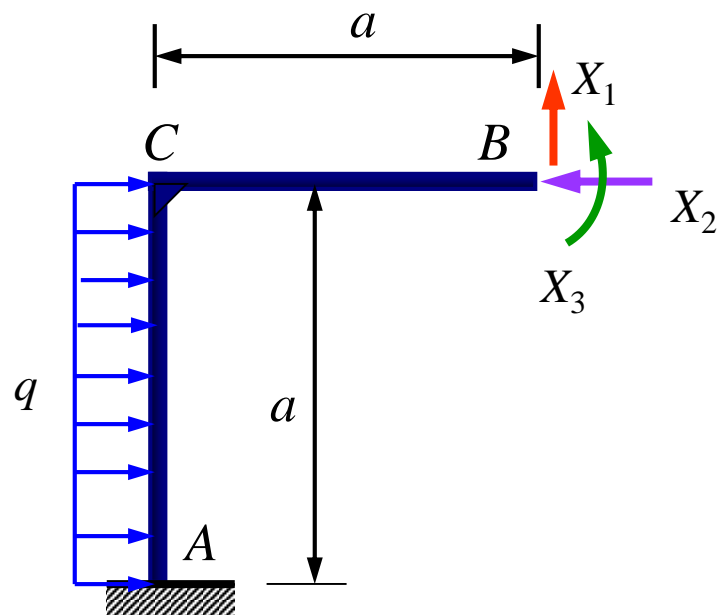
$$\begin{cases} \delta_{11}X_1 + \delta_{12}X_2 + \delta_{13}X_3 + \Delta_{1F} = 0 \\ \delta_{21}X_1 + \delta_{22}X_2 + \delta_{23}X_3 + \Delta_{2F} = 0 \\ \delta_{31}X_1 + \delta_{32}X_2 + \delta_{33}X_3 + \Delta_{3F} = 0 \end{cases}$$

化简得：

$$\begin{cases} 8aX_1 + 3aX_2 + 9X_3 = qa^2 \\ 12aX_1 + 8aX_2 + 12X_3 = 3qa^2 \\ 9aX_1 + 3aX_2 + 12X_3 = qa^2 \end{cases}$$



$$\begin{cases} X_1 = -\frac{qa}{16} \\ X_2 = \frac{7qa}{16} \\ X_3 = \frac{qa^2}{48} \end{cases}$$





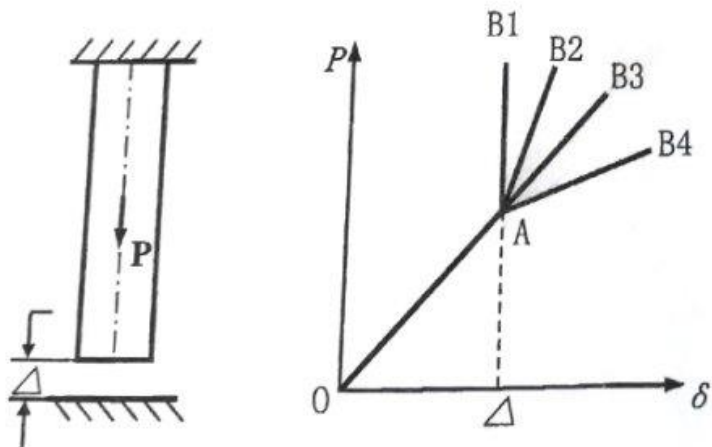
# 往年真题解析

# 习题分析：16-17期末考试

## 一、选择题（每小题4分，共计20分）

1、如下图所示，一杆上端固定，下端离刚支座间有微小的空隙 $\Delta$ 。设 $P$ 力作用点的位移为 $\delta$ （ $\delta > \Delta$ ），则 $P$ - $\delta$ 曲线可以用图中的\_\_\_\_\_表示。

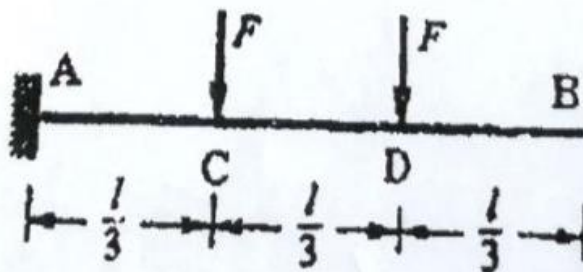
- (A) 折线 OAB1；      (B) 折线 OAB2；      (C) 直线 OAB3；      (D) 折线 OAB4。



# 习题分析：16-17期末考试

## 一、选择题（每小题4分，共计20分）

2、直梁受载如下图，在弹性范围内工作，其应变能为  $V_\varepsilon$ ，则  $\partial V_\varepsilon / \partial F$  表示\_\_\_\_\_。



(A) C、D 两点挠度之和；

(B) C、D 两点挠度之差；

(C) C 点挠度；

(D) D 点挠度。

# 习题分析：16-17期末考试

## 一、选择题（每小题4分，共计20分）

3、线弹性材料杆件在几组外载荷作用下产生微小变形，下面有关其应变能的说法正确的是\_\_\_\_\_。

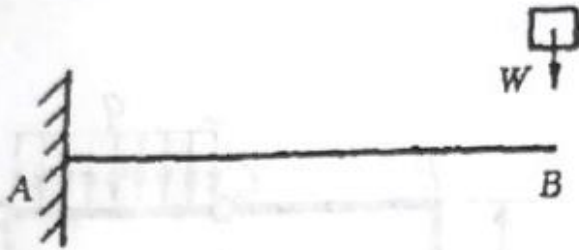
- (A) 与载荷的加载次序有关，与载荷的最终值无关；
- (B) 与载荷的加载次序无关，与载荷的最终值无关；
- (C) 与载荷的加载次序有关，与载荷的最终值有关；
- (D) 与载荷的加载次序无关，与载荷的最终值有关。

# 习题分析：16-17期末考试

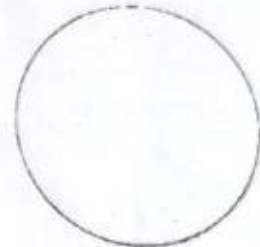
## 一、选择题（每小题4分，共计20分）

4、如图所示，重量为  $W$  的物体自由下落，冲击在悬臂梁  $AB$  的  $B$  点上。梁分别为方形截面和圆截面，两者横截面面积相同。比较两种情况下  $A$  截面处的静应力和动荷系数，其正确的说法是\_\_\_\_\_。

- (A) 图 (b) 静应力大，动荷系数大      (B) 图 (b) 静应力小，动荷系数小  
(C) 图 (a) 静应力小，动荷系数大      (D) 图 (a) 静应力小，动荷系数小



(a)



(b)

# 习题分析：16-17期末考试

## 一、选择题（每小题4分，共计20分）

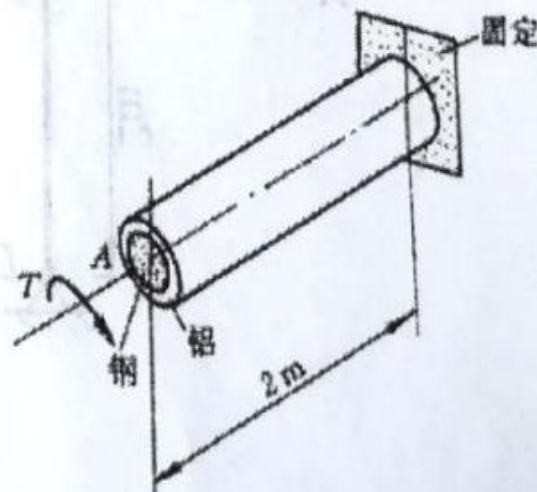
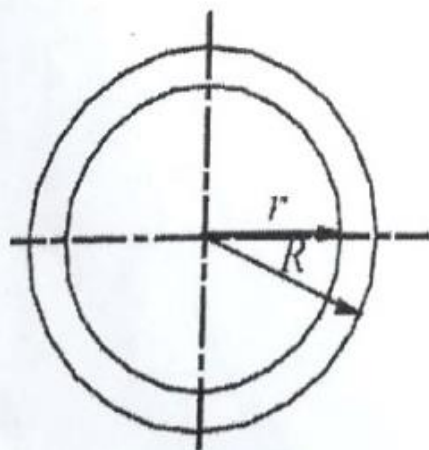
5、构件在交变应力作用下发生疲劳破坏，下列说法错误的是\_\_\_\_\_。

- (A) 断口形貌一般可明显地分为光滑区和粗糙区；
- (B) 断裂发生时最大应力小于材料的强度极限；
- (C) 用塑性材料制成的构件，断裂发生前往往有明显的塑性变形；
- (D) 用脆性材料制成的构件，断裂发生时呈脆性断裂。

# 习题分析：16-17期末考试

## 计算题

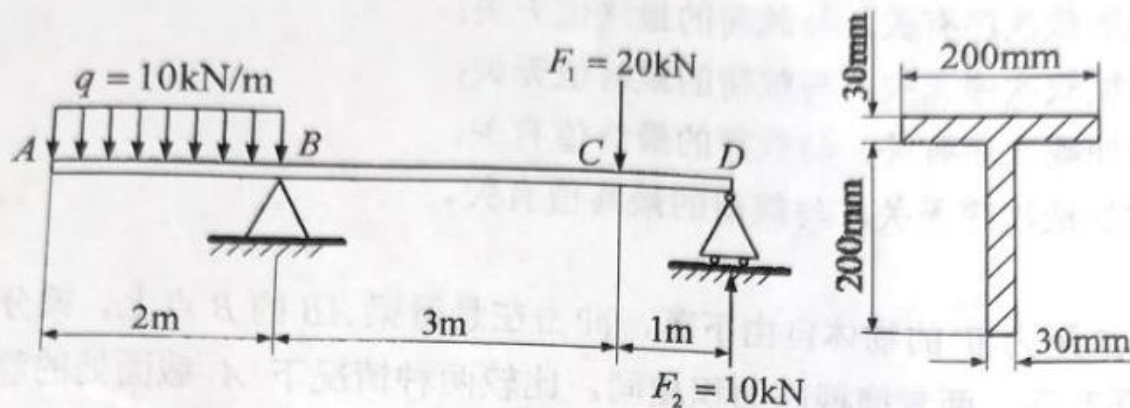
二、如图所示由直径 30mm 的钢芯和外径 40mm、内径 30mm 的铝壳组成的复合材料圆轴，一端固定，另一端承受外加力偶。已知铝壳中的最大切应力为 60MPa，切变模量为 27GPa，钢的切变模量为 80GPa。试求钢芯截面上的最大切应力。  
(20 分)



# 习题分析：16-17期末考试

## 计算题

三、一外伸梁的载荷及截面尺寸如下图所示。这种梁材料的许用拉应力 $[\sigma_t]=40$  MPa，许用压应力为 $[\sigma_c]=100$  MPa。请计算支座  $B$ 、 $D$  的支反力，绘制其剪力图和弯矩图，校核梁的正应力强度。（20 分）

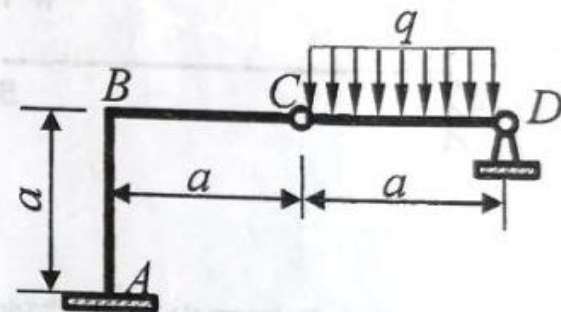




# 习题分析：16-17期末考试

## 计算题

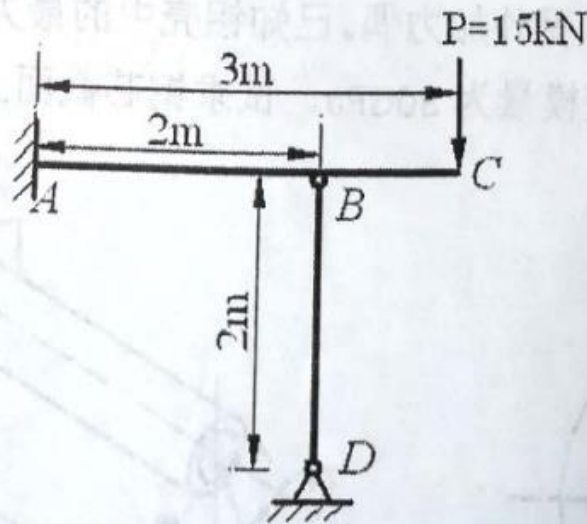
四、结构如图所示，刚架  $ABC$  和梁  $CD$  在  $C$  处用铰链连接。已知刚架和梁的抗弯刚度均为  $EI$ 。试求  $D$  截面的转角。（不计轴力影响，20 分）



# 习题分析：16-17期末考试

## 计算题

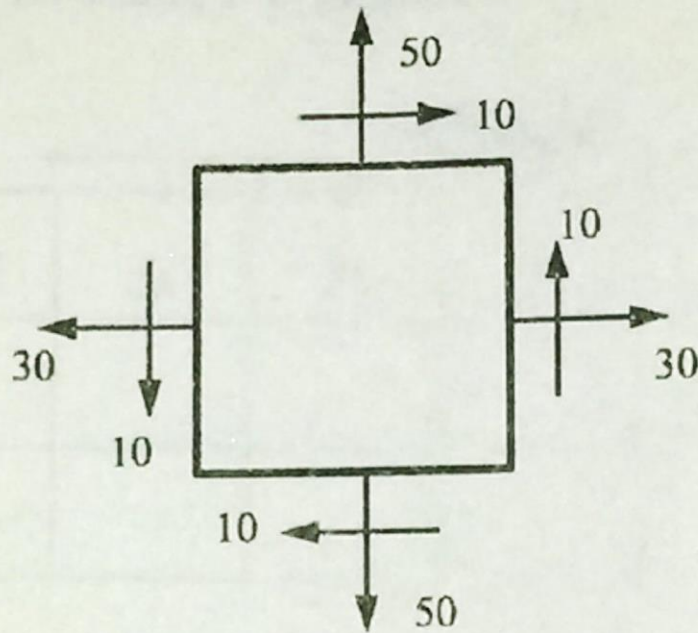
五、结构如图所示， $P=15\text{kN}$ ，已知梁和杆为一种材料， $E=210\text{GPa}$ 。梁 ABC 的惯性矩  $I=245\text{cm}^4$ ；等直圆杆 BD 的直径  $D=40\text{mm}$ ，材料的  $\sigma_p=200\text{MPa}$ ， $\sigma_s=240\text{MPa}$ ，稳定性直线公式的系数  $a=304\text{MPa}$ ， $b=1.12\text{MPa}$ 。规定杆 BD 的稳定安全系数  $n_{st}=2$ 。求：1) BD 杆承受的压力；2) 判断 BD 杆的稳定性。（20 分）



# 习题分析：10-11期末考试

## 计算题

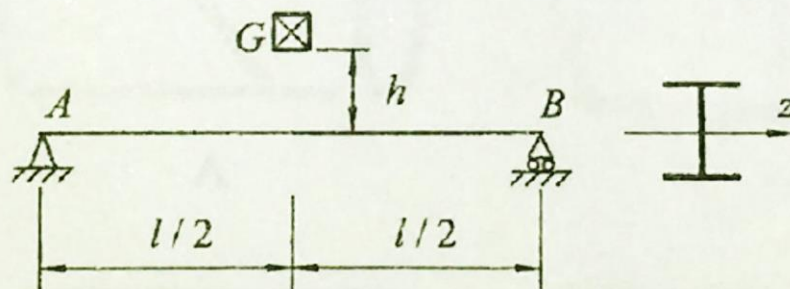
二、某点的应力状态如图所示（图中应力单位：MPa），试求：(1) 该点的主应力大小与方向，并在单元体上画出；(2) 该点的最大切应力；(3) 画出应力圆。  
(14 分)



# 习题分析：10-11期末考试

## 计算题

三、图示跨长  $l=8\text{m}$  的简支梁由 No.20a 工字钢制成，有一重  $G=1\text{kN}$  的重物自高度  $h=0.5\text{m}$  处自由下落至梁的中点处。已知材料的许用应力  $[\sigma]=175\text{MPa}$ ，弹性模量  $E=210\text{GPa}$ 。试校核该梁的强度。(20a 截面参数：  $A=35.5\text{cm}^2$ ，  $I_z=2370\text{cm}^4$ ，  $W_z=237\text{cm}^3$ ) (15 分)

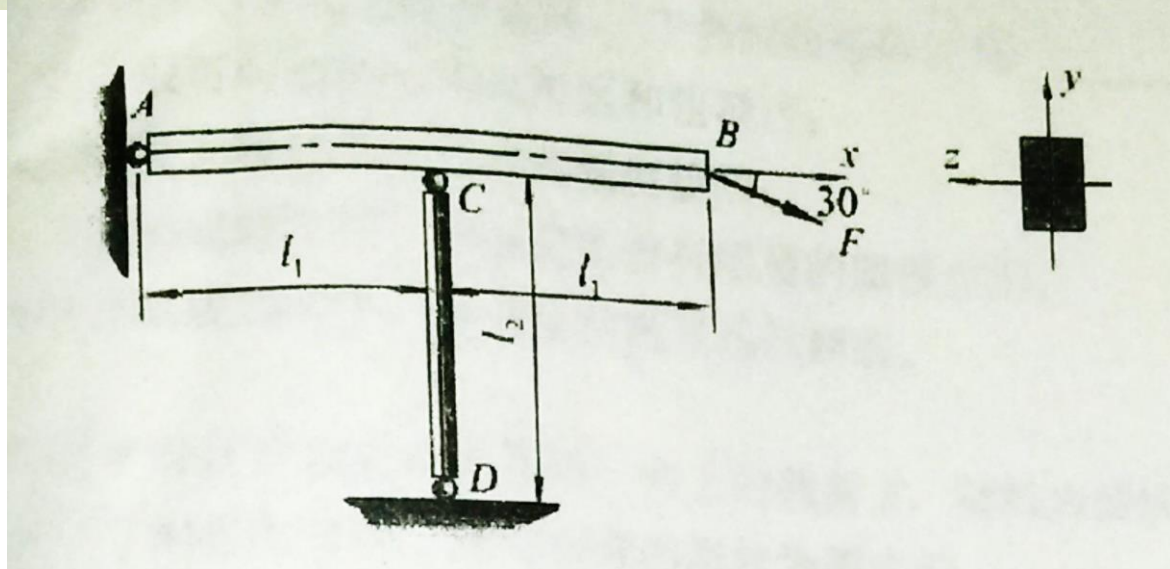




# 习题分析：10-11期末考试

## 计算题

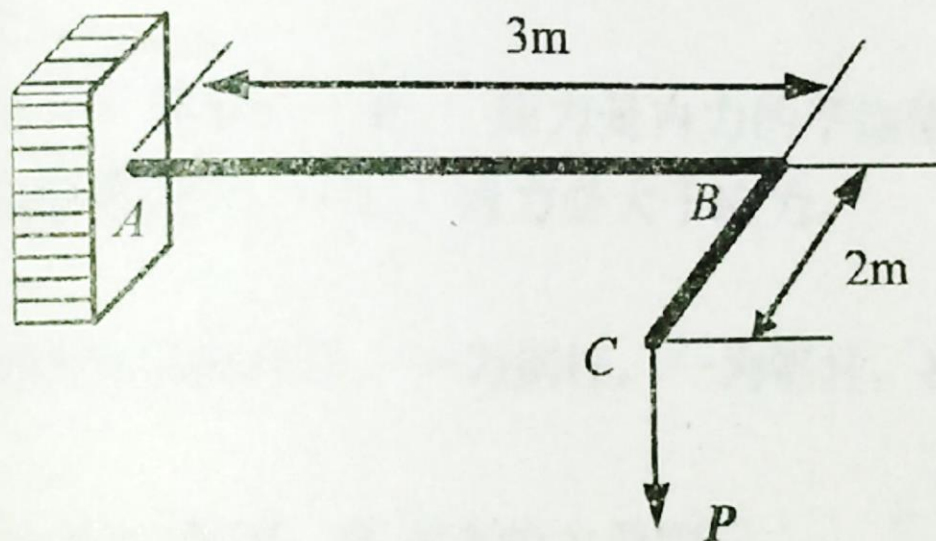
四、如图所示结构，杆  $AB$  横截面面积  $A=21.5 \text{ cm}^2$ ，抗弯截面模量  $W_z=102 \text{ cm}^3$ ，材料的许用应力  $[\sigma]=180 \text{ MPa}$ 。圆截面杆  $CD$ ，其直径  $d=20 \text{ mm}$ ，材料的弹性模量  $E=200 \text{ GPa}$ ，比例极限  $\sigma_p=200 \text{ MPa}$ 。  $A$ 、 $C$ 、 $D$  三处均为球铰约束，若已知：  $l_1=1.25 \text{ m}$ ，  $l_2=0.55 \text{ m}$ ，  $F=25 \text{ kN}$ ，稳定安全系数  $[n]_{st}=1.8$ ，试校核此结构是否安全。（15 分）



# 习题分析：10-11期末考试

## 计算题

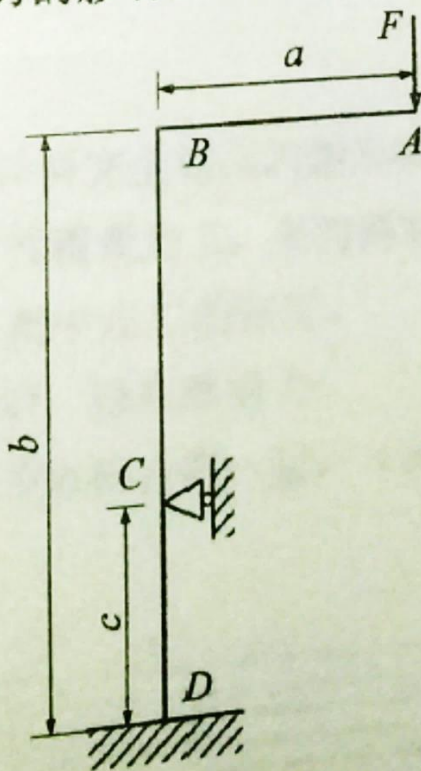
五、如图所示，直径  $d = 100\text{mm}$  的圆形折杆  $ABC$ ， $AB$  杆与  $BC$  杆处在同一水平面上，且相互垂直，材料的许用应力为  $[\sigma] = 160\text{MPa}$ 。在  $C$  点受竖向力  $P = 5\text{kN}$  的作用，试指出最危险的点，画出该点应力单元图，并按第三强度理论校核强度。（15 分）



# 习题分析：10-11期末考试

## 计算题

六、如下图所示  $L$  形框架， $D$  截面处固定， $C$  截面处水平向支撑， $A$  端作用有竖向集中力。各段抗弯刚度均为  $EI$ 。试画出框架弯矩图，并求  $A$  端竖向位移（请用能量法求解，忽略轴力的影响）。（20 分）



**本课程结束**

**衷心感谢大家的支持！**

**祝大家一切顺利！**